

57412

ULUDAĞ ÜNİVERSİTESİ  
FEN BİLİMLERİ ENSTİTÜSÜ

T.C. ULUDAĞ ÜNİVERSİTESİ KURULU  
DOĞRU YÖNLENDİRME VE KURUMSAL İZLENİM  
BÖLÜMÜ

CASSEGRAİN BESLEMELİ VE ODAK DIŐI BESLEMELİ  
PARABOLİK REFLEKTÖR ANTENLER



Yusuf Ziya UMUL

YÜKSEK LİSANS TEZİ  
ELEKTRONİK MÜHENDİSLİĐİ ANABİLİMDALI

ULUDAĞ ÜNİVERSİTESİ  
FEN BİLİMLERİ ENSTİTÜSÜ

ODAK DIŐI BESLEMELİ VE CASSEGRAİN BESLEMELİ  
PARABOLOİDAL REFLEKTÖR ANTENLER

Yusuf Ziya UMUL

YÜKSEK LİSANS TEZİ  
ELEKTRONİK MÜHENDİSLİĐİ ANABİLİMDALI

Bu tez 21/8/1996 tarihinde aŐaĐıdaki jüri tarafından oybirliĐi/oyçokluĐu ile kabul edilmiŐtir.

Prof. Dr. H. Ergun BAYRAKÇI  
(DanıŐman)

*H. S. Bayrakçı*

Prof. Dr. Ali OKTAY

*Ali Oktay*

Yrd. Doç. Dr. ErakĐan DİLÄVEROĐLU

*ErakĐan DilÄveroĐlu*

## ÖZET

Paraboloidal reflektör antenler üç şekilde beslenebilir. Odağa yerleştirilen transmisyon borusu ve hornun bu noktada döndürülmesi, beslemenin odak dışına çıkarılması veya transmisyon borusundan yayılan alanın bir hiperboloidal yüzeyden yansıtılarak, paraboloidal reflektöre iletilmesi gibi. İlk iki besleme biçimi offset, üçüncüsü ise Cassegrain besleme olarak adlandırılabilir.

Offset beslemede, parabolik reflektörün odağına dairesel kesitli transmisyon borusu konabilir. Transmisyon borusu odakta döndürüldüğü zaman, ışılan alanın bulunabilmesi için, elektrik ve magnetik alan ifadelerinde koordinat dönüşümü yapılmalıdır. Aynı şekilde parabolün denkleminde döndürülmüş koordinat sistemi cinsinden yazılabilir. Reflektörden yansıyan alan hesaplanırken, fiziksel optik yaklaşıklığı ile yüzey akımı dağılımı metodu kullanılabilir.

Besleme olarak kullanılan dairesel kesitli transmisyon borusu odak dışına çıkarılabilir. Bu durumda iki koordinat sistemi mevcut olur ve bu tip bir reflektör antenin analiz edilebilmesi için iki sistem birbirine dönüştürülmelidir. Transmisyon borusundan ışılan alan düzleme izdüşürülebilir. Koordinat dönüşümü yapıldıktan sonra faz teriminde Poisson İntegral Dönüşümü kullanılabilir. Parabolden yansıyan alanın bulunması için yine yüzey akımı dağılımı metodundan yararlanılabilir. Köşe kırınımlarının hesabında, Wiener-Hopf tekniği kullanılmıştır. Kırınımın uniform ifadesi çıkarılırken Fresnel integrali elde edilmiştir.

Cassegrain beslemeli antende hiperboloidal alt reflektör ve paraboloidal ana reflektör olmak üzere iki adet yansıtıcı yüzey kullanılır. Besleme ise paraboloidal olan ana reflektörün tepe noktasına konulabilir. Transmisyon borusunda ışılan manyetik ve elektrik alan, orijini parabolün odağında bulunan koordinat sistemi cinsinden ifade edilebilir. Bu dönüşüm yapılırken faz teriminde Poisson İntegral Dönüşümü kullanılabilir. Hiperbolden yansıyan alan hesaplanırken yüzey akımı dağılımı yönteminden yararlanılabilir. Hiperbolden yansıyan alan ana reflektöre gidecektir. Paraboloidal yüzeyden yansıyan elektrik ve magnetik alan hesaplanırken, yüzey akımı dağılımı ve açıklık yöntemleri kullanılabilir. Cassegrain beslemeli reflektör antende köşe kırınımları hiperboloidal yüzey için hesaplanmış, paraboloidal yüzeydeki kırınım ise ihmal edilmiştir.

**ANAHTAR KELİMELER;** Paraboloidal reflektör anten, Hiperboloidal reflektör anten, Cassegrain beslemeli anten, offset beslemeli anten, Yüzey akımı dağılımı metodu, açıklık metodu, Poisson İntegral Dönüşümü, Wiener-Hopf tekniği, Köşe kırınımı, Fresnel integrali.

## ABSTRACT

Three different kinds of feed can be used for paraboloidal reflectors. The rotation of the waveguide or horn used as the feed, at the focus, removing the feed out of the focus or transmitting the field, that reflects from a hyperboloidal, to the paraboloidal surface. The first two feed systems are called as offset and the third is Cassegrain feeding.

In the offset feeding, a cylindrical waveguide can be put at the focus of the paraboloidal reflector. When the waveguide is rotated on the focus, coordinate transforms must be used for calculation of the radiating wave. As a same way, the equation of the parabola can be written in terms of the rotated coordinate system. Induced surface current method can be used for the calculation of the radiated wave from the reflector. The waveguide can be removed out of the focus. On this occasion, there will be two coordinate systems and these two systems must be transformed to each other for the analyses of the reflector antenna. The radiating wave from the wave-guide can be projected to the plane. After the coordinate transformation, Poisson Integral Transform can be used for the phase term. Induced current method can be used for calculating the radiated field, again. In the calculation of the edge diffractions, we can profit from the Weiner-Hopf technique. The uniform expression of the diffraction is found in terms of the Fresnel Integral.

In the Cassegrain fed antenna, two surfaces as hyperboloidal subreflector and paraboloidal main reflector. The electric and magnetic field radiating from the waveguide can be expressed in terms of the coordinate system whose origin is on the same point with the focal point of the parabola. In this transformation, Poisson Integral Transform can be used for the phase term. Induced current method can be applied for the calculation of the reflected wave from the hyperboloidal surface, and the paraboloidal main reflector. In the Cassegrain fed reflector antenna, edge diffraction's are calculated for the hyperboloidal surface and the diffraction's at the paraboloidal surface is neglected.

**KEYWORDS;** Paraboloidal reflector antenna, hyperboloidal reflector antenna, Cassegrain fed antenna, offset fed antenna, Induced current method, Poisson Integral Transform, Weiner-Hopf technique, edge diffraction, Fresnel Integral.

## İÇİNDEKİLER

### BİRİNCİ BÖLÜM

#### BESLEMESİ ODAKTA DÖNDÜRÜLMÜŞ TRANSMİSYON BORUSU OLAN DÖNEL PARABOLOİDAL REFLEKTÖR ANTEN

1. DÖNDÜRÜLMÜŞ DAİRESEL KESİTLİ TRANSMİSYON BORUSUNDAN IŞIMA.....	2
2. BESLEMESİ ODAKTA DÖNDÜRÜLMÜŞ PARABOLOİDAL REFLEKTÖRDEN YANSIYAN DALGA.....	4
3. PARABOLOİDALIN KÖŞESİNDEKİ KIRINIM.....	7
4. SONUÇ.....	16

### İKİNCİ BÖLÜM

#### ODAK DIŞI BESLEMELİ DÖNEL PARABOLOİDAL ANTEN

1. ÖTELENMİŞ VE DÖNDÜRÜLMÜŞ TRANSMİSYON BORUSUNDAN IŞIMA. 17	
1.1 Odak Dışına Çıkarılmış Dairesel Kesitli Transmisyon Borusunun Ağzından Işıma	18
1.2 Poisson İntegral Dönüşümü.....	19
1.3 Öteleme Geometrisi.....	23
1.4 Dönme Geometrisi .....	25
2. ODAK DIŞI BESLEMELİ İÇBÜKEY DÖNEL PARABOLOİDAL YÜZEYDEN YANSIMA.....	27
2.1 Odak Dışı Beslemeli Reflektör Anten Sisteminde Koordinat Sistemlerinin Belirlenmesi .....	28
2.1.1 Transmisyon Borusunun Döndürülmesi ve Ötelenmesi.....	29
2.2 Yüzey Akımı Dağılımı Yöntemi ile Paraboloidal Yüzeyden Yansıyan Alanın Hesaplanması.....	31
3. ODAK DIŞI BESLEMELİ İÇBÜKEY DÖNEL PARABOLOİDAL YÜZEYDE KÖŞE KIRINIMLARI.....	35

3.1 Paraboloidal Reflektörde Köşe Kırınımı.....	35
4. SONUÇLAR.....	42

## ÜÇÜNCÜ BÖLÜM

### CASSEGRAİN BESLEMELİ DÖNEL PARABOLOİDAL ANTEN

1. ODAKTAN BESLEMELİ DIŞBÜKEY HİPERBOLOİDAL YÜZEYDEN YANSIMA.....	44
1.1 Poisson İntegral Dönüşümü ile Faz Teriminin Hesabı.....	45
1.2 Işıma İntegralinin Hesaplanması.....	48
2. CASSEGRAİN ANTENDE PARABOLOİDAL YÜZEYDEN YANSIMA.....	55
2.1 Paraboloidal YüzeYden Yansıyan Alanın YüzeY Akım Dağılımı Yöntemi İle Bulunması.....	55
2.1.1 YüzeY Akımı Dağılımı Yöntemi.....	55
2.1.2 Işıma İntegralinin Hesaplanması.....	56
3. PARABOLOİDAL YÜZEYDEN YANSIYAN ALANIN AÇIKLIK YÖNTEMİ İLE HESAPLANMASI.....	61
3.1 Işıma İntegralinin Hesaplanması.....	62
4. ODAKTAN BESLEMELİ DIŞBÜKEY HİPERBOLOİDAL YÜZEYDE KÖŞE KIRINIMLARI.....	68
4.1 Hiperboloidal Reflektörde Köşe Kırınımının Hesabı.....	68
5. SONUÇ.....	77
TARTIŞMA VE SONUÇLAR.....	79

## EKLERİ

EK 1. DAİRESEL KESİTLİ TRANSMİSYON BORUSUNUN AĞZINDAN İŞIYAN ALAN.....	82
EK 2. KÖŞE KIRINIMI.....	88

**SEMBOLLER**

$\vec{H}$  : Magnetik alan şiddeti [amper/metre]

$\vec{E}$  : Elektrik alan şiddeti [volt/metre]

$\vec{J}_s$  : Yüzeysel akım yoğunluğu [amper/metre<sup>2</sup>]

$\vec{\Pi}_e$  : Elektrik Hertz vektörü

$\vec{\Pi}_m$  : Magnetik Hertz vektörü

$k$  : dalga sayısı [rad/m]

$\omega$  : açısal frekans

$\epsilon$  : dielektrik katsayısı

$\mu$  : magnetik geçirgenlik

$\vec{n}$  : yüzeye dik birim vektör

$\vec{N}$  : Yüzeye dik vektör

$Z_o$  : dalga empedansı

$H_n^{(1)}(x)$  : birinci nevi Hankel fonksiyonu

$h_n^{(1)}(x)$  : birinci nevi küresel Hankel fonksiyonu

$J_n(x)$  : n.'ci nevi derece Bessel fonksiyonu

$j_n(x)$  : n.'ci mertebeden küresel Bessel fonksiyonu

## ŞEKİLLER

### BİRİNCİ BÖLÜM

Şekil 1.1 Odakta döndürülmüş dairesel kesitli transmisyon borusu.....	2
Şekil 1.2 Polar ışınım diyagramı .....	3
Şekil 2.1 Paraboloidal reflektör anten.....	4
Şekil 2.2 Işınım diyagramı .....	7
Şekil 3.1 Paraboloidal Reflektörde Köşe Kırınımı Geometrisinin (y,z) düzlemindeki kesiti.....	7
Şekil 3.2 Paraboloidalın Köşe Kırınımı Geometrisi .....	8
Şekil 3.3 Eksenlerin Öteleme Geometrisi.....	8
Şekil 3.4 Parabolün Köşesindeki Kırınım.....	11
Şekil 3.5 Polar ışınım diyagramı .....	14

### İKİNCİ BÖLÜM

Şekil 1.1 Döndürülmüş ve ötelenmiş transmisyon borusunun geometrisi.....	17
Şekil 1.2 z ekseninde öteleme geometrisi.....	22
Şekil 1.3 $\phi = \frac{\pi}{2}$ düzleminde dönme geometrisi.....	24
Şekil 2.1 Odak dışı beslemeli paraboloidal reflektör.....	27
Şekil 2.2 x ekseninde öteleme hareketi .....	28
Şekil 2.3 Düzlemde dönme geometrisi.....	29
Şekil 2.4 Paraboloidal reflektörün uzak alan geometrisi .....	31
Şekil 2.5 Polar ışınım diyagramı .....	34
Şekil 3.1 Köşe Kırınımında kullanılan koordinat sistemleri.....	35
Şekil 3.2 Sonsuz yarı düzlem geometrisi.....	38
Şekil 3.3 Köşe kırınımında bölgeler .....	39
Şekil 3.4 Paraboloidalın köşe kırınımı geometrisi.....	40
Şekil 3.5 Eksenlerin Öteleme geometrisi.....	40
Şekil 3.6 Eksenlerin Öteleme geometrisi.....	42



## ÜÇÜNCÜ BÖLÜM

Şekil 1.1 Dönel hiperboloidal yüzeyin koordinat sistemi .....	47
Şekil 1.2 Dönel hiperboloidal reflektörden yansıyan ışın .....	48
Şekil 1.3 Dönel hiperboloidal yansıyan alanın geometrisi .....	51
Şekil 1.4 $ E_{\theta} $ 'nin polar ışın diyagramı .....	56
Şekil 2.1 Dönel Paraboloidal Yüzeyin Geometrisi.....	60
Şekil 2.2 Polar ışın diyagramı .....	63
Şekil 3.1 Paraboloidal reflektörün odağındaki dairesel açıklık geometrisi .....	65
Şekil 3.2 Polar ışın diyagramı .....	69
Şekil 4.1 Hiperboloidal reflektörde köşe kırınımına ait koordinat sistemleri.....	71
Şekil 4.2 Kırınım geometrisi .....	74
Şekil 4.3 Dönel Hiperboloidal yüzeyin köşe kırınım geometrisi .....	76
Şekil 4.4 Eksenlerin Ötelenmesi .....	76
Şekil 4.5 Polar ışın diyagramı .....	79

## EKLERİ

EK 1	
Şekil 1.1 Dairesel Kesitli Transmisyon Borusu Geometrisi.....	81
Şekil 1.2 $ E_{\theta} $ 'nin polar ışın diyagramı .....	86
EK 2.	
Şekil 2.1 $\nu$ -kompleks düzlemi .....	88
Şekil 2.2 Kompleks z düzlemi .....	91
Şekil 2.3 Kırınımın geometrisi .....	93
Şekil 2.4 En dik inişli integrasyon çevresi .....	96

## KAYNAK ARAŞTIRMASI

Odağına yerleştirilmiş bir transmisyon borusu veya horn anten ile beslenen paraboloidal reflektör, beslemeden gelen alanın bir kısmını, yine beslemeye geri yansıtacağından, ışıyan alanda yan kulak ışması artacaktır. Bu engelin kaldırılmasının bir yolu beslemenin odakta döndürülmesidir. Paraboloidal reflektörün dairesel kısmı, odak noktasının ana ışın demeti dışında kalacak şekilde kesilebilir. Bu şekilde besleme kaynağının ve bunu destekleyen çubukların saçıcılığı önlenmektedir. Ancak, çapraz polarizasyon ışması da artmaktadır. Diğer taraftan offset reflektörünün ve besleme sisteminin dairesel simetrisi de bozulmaktadır. Dolayısıyla, besleme kaynağı sıfır çapraz polarizasyonla ışma yapmasına rağmen reflektörden kaynaklanan depolarizasyon meydana gelmektedir. [ 7 ]

D, paraboloidal reflektörün odağındaki dairesel açıklığın yarıçapı olmak üzere ilk çapraz polarizasyonlu kulak

$$\theta_0 \sim \frac{2d}{3D}$$

açısında oluşacaktır. Normal odaktan beslemeli bir reflektörden ışıyan alanda aynı açı

$$\theta \sim \frac{2d}{\pi D}$$

ile verilebilir. Bu iki eşitliğin karşılaştırılması ile, lineer x-polarizasyonlu besleme için, çapraz polarizasyonlu ilk kulak, odak eksenini üzerinde beslemeli reflektörden ışıyan alanınkine göre -6dB düzeyinde olur. aynı durum y-polarizasyonu için de geçerlidir. Büyük f/D oranı ve daha küçük  $\theta_0$ , döndürme açısı için, ışıyan alanın şiddeti azalır. [ 9 ]

Literatürde köşe kırınımlarının hesaplanmasında, yarı sonsuz düzlemler için Wiener-Hopf tekniği kullanılmaktadır. [13] Ayrıca geometrik optikten de yararlanılarak, bir paraboloidal reflektörün köşesindeki kırınım hesaplanabilmektedir. [ 10 ], [ 11 ] Kırınım katsayısı bu durumda köşe koordinatları cinsinden yazılmaktadır. Fakat odak ve köşe koordinat sistemleri arasında herhangi bir dönüşüm yapılmamakta, saçılan alan sadece köşe noktasında gözlemlenmektedir.

## BİRİNCİ BÖLÜM

### BESLEMESİ ODAKTA DÖNDÜRÜLMÜŞ TRANSMİSYON BORUSU OLAN DÖNEL PARABOLOİDAL REFLEKTÖR ANTEN

Paraboloidal reflektörde, mikrodalga frekanslarında, besleme olarak transmisyon borularının açık ağzı, E ve H düzlemi sektörel hornlar veya konikal horn antenler kullanılmaktadır. Bu tip antenlerde istenilen özellik, antenin ışınma diagramının ve yöneltiliğinin iyi olmasıdır. Dairesel kesitli transmisyon borusunun ışınma özellikleri belirli bir mod için incelenmiştir. Bunun için ilk önce, borunun açıklığındaki elektrik ve manyetik alanın bileşenleri bulunmuş daha sonra ise ışınan uzak alan ifadeleri hesaplanmıştır. Ayrıca daireysel açıklığın yarıçapının, ışınma diagramı üzerindeki etkileri, bilgisayarda MATLAB simulasyon programı ile incelenmiştir.

$TE_{11}$  modunda uyarılmış dairesel kesitli transmisyon borusundan ışınan alan EK.1'de hesaplandığı gibi yazılabilir. Bu boru, parabolik bir reflektörün beslemesi olarak kullanıldığında, yansıyan alan yüzey akımı dağılımı yöntemi ile bulunabilir. Fakat besleme odakta döndürüldüğü zaman, transmisyon borusu yeni bir koordinat sistemine sahip olacaktır. Paraboloidal reflektör yüzeyi odaktaki sisteme göre tanımlandığı için, beslemenin denklemlerinde bu koordinat dönüşümleri yapılabilir. Koordinat sistemlerinin uygun seçimiyle, bu dönüşümler basitleştirilebilir.

Köşe kırınımı bulunurken paraboloidalın tek bir köşesine gelen alan kaynak terimleri cinsinden ifade edilmiştir. Odak ve köşe koordinatları arasında dönüşüm yapılmış ve gelen alan köşe koordinatı cinsinden yazılmıştır. Paraboloidal reflektörün köşesi yarı sonsuz düzlem gibi düşünülebilir. Böylece, yüzey üzerinde sınır koşulları

yazılarak, Helmholtz denklemi Weiner-Hopf tekniği ile çözülebilir. Elde edilen köşe kırınımı terimi uzak alan için ifade edilebilir. Bu durumda sadece dönme sözkonusudur.

## 1. DÖNDÜRÜLMÜŞ DAİRESEL KESİTLİ TRANSMİSYON BORUSUNDAN IŞIMA

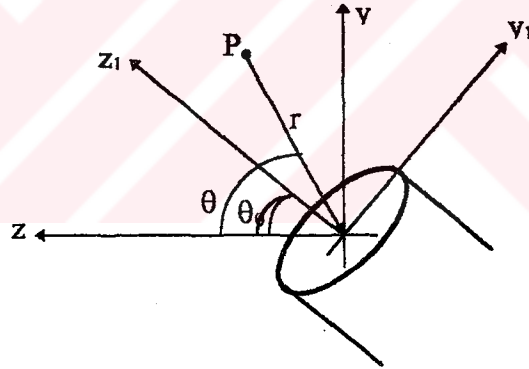
TE<sub>11</sub> modunda uyarılmış dairesel kesitli bir transmisyon borusundan ışıyan magnetik alan

$$H_{\theta} = \frac{ka^4}{2} \frac{e^{-jkr}}{r} \frac{J_0(1,84)}{(1,84)^2 - u^2} J_1^1(u) \cos \phi (\beta + k \cos \theta)$$

$$H_{\phi} = -\frac{ka^4}{2} \frac{1}{(1,84)^2} \frac{e^{-jkr}}{r} J_0(1,84) \frac{J_1(u)}{u} \sin \phi (\beta \cos \theta + k) \quad 1.1$$

denklemleri ile verilebilir. Burada  $u = ka \sin \theta$  dir. Döndürme şekil 1.1'deki gibi

$\phi = \frac{\pi}{2}$  düzleminde yapılabilir.



Şekil 1.1 Döndürülmüş dairesel kesitli transmisyon borusu

Döndürme düzleminde yapıldığı için  $H_{\theta}$  bileşeni sıfır olur. Burada  $\sin \theta_1 = \sin(\theta - \theta_0)$  ve  $\cos \theta_1 = \cos(\theta - \theta_0)$  yazılabilir.  $\vec{e}_{\phi}$  birim vektörü değişmeyecektir. Böylece magnetik alan

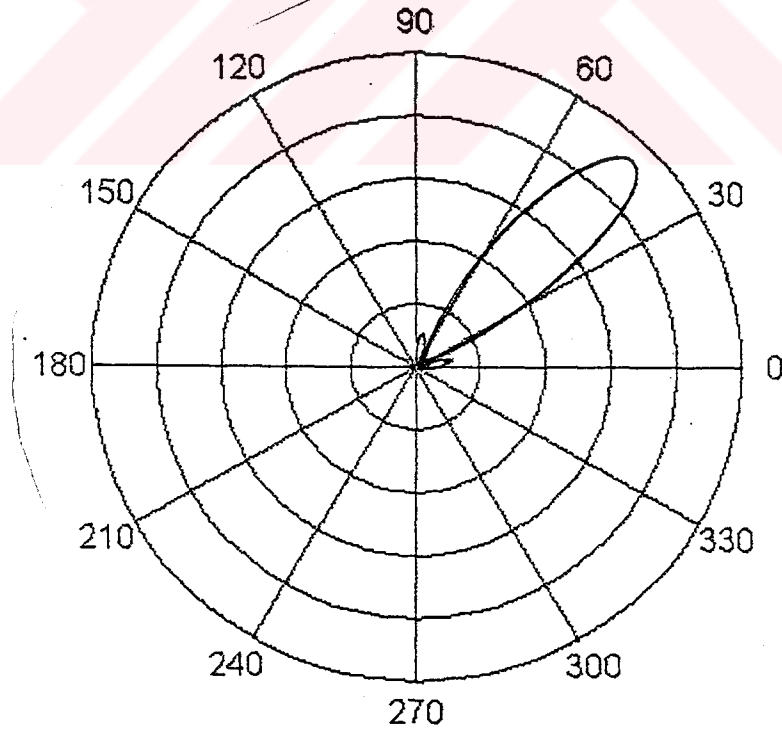
$$\vec{H} = -\frac{ka^4}{2} \frac{1}{(1,84)^2} \frac{e^{-jkr}}{r} J_0(1,84) \frac{J_1[ka \sin(\theta - \theta_0)]}{[ka \sin(\theta - \theta_0)]} [\beta \cos(\theta - \theta_0) + k] \vec{e}_{\phi} \quad 1.2$$

şeklinde elde edilebilir. Buradan ışyan alan polar koordinatlarda şekil 1.2'deki gibi çizdirilebilir.

t açısının değışim aralıđı programın girişinde  $t=0:01:2.*\pi$  ile tanımlanmaktadır. a ve b sabit açuları ise değeri ile program içinde verilebilir. Bu değeri keyfi olarak değıştirilebilir. Çizdirilecek olan fonksiyon alt fonksiyonlara ayrılabilir ve bu alt fonksiyonlar sabit açılardan sonra tanımlanabilir. Polar koordinatlarda çizim yapılabilmesi için polar(...) komutu kullanılabilir. Komut içine ilk olarak, programın başında tanımlanmış olan açı konulabilir. Mutlak değeri için abs(...) komutu kullanılır. Daha sonra ise çizdirilecek olan fonksiyon yazılır. Her satırın sonunda ';' kullanılmalıdır. Netice olarak bu program yazımı:

```
t = 0.:01:2.*pi;
a = 0;
b = besselj(1, abs((3.*pi.*sin(t- 0))+eps)./(3.*pi.*sin(t- 0)));
c = (0,98.*cos(t- 0)+1);
polar(t, abs(b.*c));
```

şeklinde ifade edilebilir.



Şekil 1.2 Polar ışma diagramı

## 2. BESLEMESİ ODAKTA DÖNDÜRÜLMÜŞ PARABOLOİDAL REFLEKTÖRDEN YANSIYAN DALGA

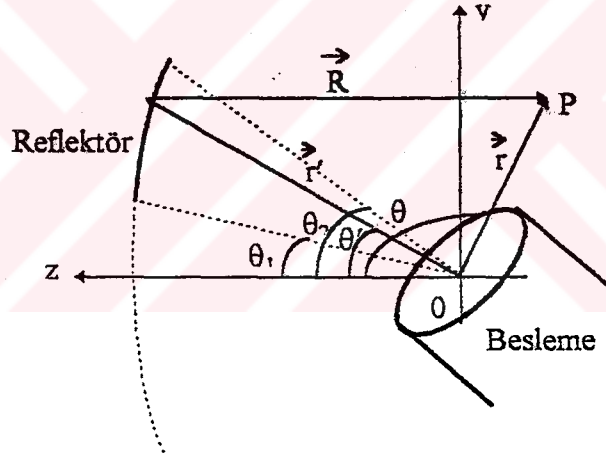
Paraboloidal reflektörün odağında bulunan ve döndürülmüş olan dairesel kesitli transmisyon borusu besleme olan anten sistemi ele alınmaktadır. Şekil 2.1'de görüldüğü gibi paraboloidal reflektör  $\theta_1$  ve  $\theta_2$  açıları arasında olup, dış kısımları kesilmiştir. Dönel paraboloidal yüzeyin birim normal vektörü

$$\vec{n} = \frac{-(1 + \cos\theta)\vec{e}_r + \sin\theta\vec{e}_\theta}{\sqrt{1 + \cos\theta}} \quad 2.1$$

denklemleri ile verilebilir. Birim vektör ile magnetik alanın vektörel çarpımı

$$\vec{n} \times \vec{H} = -\frac{ka^4}{2} \frac{1}{(1,84)^2} \frac{e^{-jkr}}{r} J_0(1,84) \frac{J_1(ka \sin(\theta - \theta_0))}{ka \sin(\theta - \theta_0)} (\beta \cos(\theta - \theta_0) + k) \left[ \frac{\sin\theta\vec{e}_r + (1 + \cos\theta)\vec{e}_\theta}{\sqrt{1 + \cos\theta}} \right]$$

olarak bulunabilir.



Şekil 2.1 Beslemesi döndürülmüş paraboloidal reflektör anten

Elektrik Hertz vektörünün ifadesi

$$\vec{\Pi}_e(\vec{r}) = \frac{1}{4\pi j\omega\epsilon} \iint_{S'} \vec{J}_s(\vec{r}') \frac{e^{-jkR}}{R} dS' \quad 2.2$$

ile verilebilir. Burada R ifadesi uzak alan için genlikte  $r'$ 'ye, fazda ise  $r - r' \cos \psi$  'ye eşittir. Yüzeysel akım dağılım metodunda ise yüzeysel elektrik akım yoğunluğu  $\vec{J}_{es} = 2\vec{n} \times \vec{H}|_{s'}$  'ye eşittir. Neticede elektrik Hertz vektörü uzak alan için

$$\vec{\Pi}_o \approx \frac{1}{2\pi j \omega \epsilon} \frac{e^{-jkr}}{r} \iint_{s'} \vec{n} \times \vec{H}|_{s'} e^{jkr \cos \psi} dS' \quad 2.3$$

ile ifade edilebilir.

Yüzeysel, xy düzlemine izdüşürülebilir. Şekil 2.1'den

$$dS' = \frac{dx' \cdot dy'}{\vec{n} \cdot \vec{e}_z} = \rho' \frac{d\rho' \cdot d\phi'}{\sqrt{1 + \cos \theta'}} \quad 2.4$$

şeklinde yazılabilir. Burada dönele paraboloidal denkleminin  $r' = \frac{2f}{1 + \cos \theta'}$  ve

$\rho' = r' \sin \theta'$  olmak üzere yüzeysel elemanı

$$dS' = \frac{(2f)^2 \sin \theta'}{(1 + \cos \theta')^{5/2}} d\theta' d\phi' \quad 2.5$$

şeklinde ifade edilebilir.  $\cos \Psi$  açısı ise,

$$\vec{e}_r \cdot \vec{e}_{r'} = \sin \theta \sin \phi' \cos(\phi - \phi') + \cos \theta \cos \theta'$$

şeklinde yazılabilir. Böylece elektrik Hertz vektörünün integral ifadesi

$$\begin{aligned} \vec{\Pi}_o \rightarrow &= \frac{-ka^4 \cdot 2f J_0(1,84)}{4\pi j \omega \epsilon (1,84)^2} \frac{e^{-jkr}}{r} \iint_{s'} \frac{J_1(ka \sin(\theta' - \theta_0))}{ka \sin(\theta' - \theta_0)} (\beta(\theta' - \theta_0) + k) \frac{\sin \theta'}{(1 + \cos \theta')^2} \\ & (\vec{e}_x \cos \phi' (1 + \cos \phi') + \vec{e}_y \sin \phi' (1 + \cos \theta') - \sin \theta' \vec{e}_z) \delta\left(\phi' - \frac{\pi}{2}\right) e^{-jk \frac{2f}{1 + \cos \theta'}} \\ & e^{jk \frac{2f(\sin \theta \sin \theta' \cos(\phi - \phi') + \cos \theta \cos \theta')}{1 + \cos \theta'}} d\theta' d\phi' \end{aligned} \quad 2.6$$

olarak elde edilebilir. Delta-Dirac dağılımı,  $\phi' = \frac{\pi}{2}$  (y,z) düzleminde çalışıldığı

için kullanılmıştır. Sonuçta integral

$$\vec{\Pi}_e = \frac{-ka^4 f J_0(1,84)}{2\pi j \omega \epsilon (1,84)^2} \frac{e^{-jkr}}{r} \int_{\theta'=\theta_1}^{\theta_2} \frac{J_1(ka \sin(\theta' - \theta_0))}{ka \sin(\theta' - \theta_0)} (\beta \cos(\theta' - \theta_0) + k) \frac{\sin \theta'}{(1 + \cos \theta')^2} (\vec{e}_y (1 + \cos \theta') - \sin \theta' \vec{e}_y) e^{jk 2r \frac{\cos \theta \cos \theta' - 1}{1 + \cos \theta'}} d\theta' \quad 2.7$$

şeklinde yazılabilir. MATLAB paket programında bu integral ifadesinin yazılabilmesi için seriye açılması gereklidir. Bunun için program içinde 'for' döngüsü kullanılabilir. integral

$$\int_a^b f(x) dx = \lim_{N \rightarrow \infty} \sum_{n=1}^N f(a + \frac{b-a}{N} n) \frac{b-a}{N} \quad 2.8$$

integral tanımı kullanılarak seriye açılabilir. Elektrik Hertz vektörü ifadesinde

$$\frac{b-a}{N} = \frac{\theta_2 - \theta_1}{N}$$

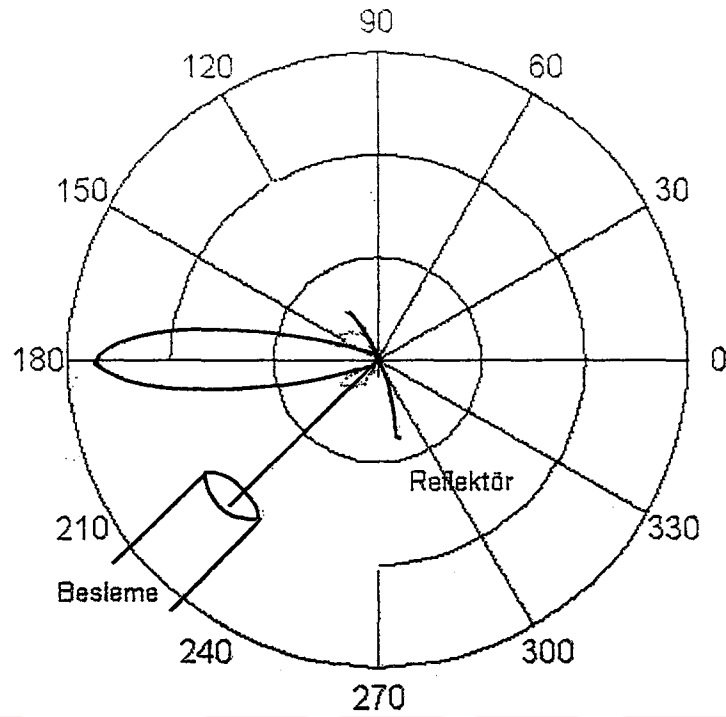
olarak tanımlanabilir.  $\theta'$  değişkeninin yerine seride  $\theta_1 + \frac{\theta_2 - \theta_1}{N} n$  yazılacaktır.

Böylece program yazımı

```
t=0:.01:2.*pi
N = 100;
sum = 0;
for n = 1:N
    a = theta_1 + n.*(theta_2-theta_1)/N;
    b = besselj(1,abs(3.*pi.*sin(a-theta_0)))/(3.*pi.*sin(a-theta_0));
    c = cos t.*(1+cos(a))+sin(a).sin(t)
    d = .98.*cos(a-theta_0)+1;
    e = exp(2.*k.*f.*cos(t-a)/(q+cos(a)));
    f = sin(a)/((1+cos(a)).^2);
    g = b.*c.*d.*e.*f;
    sun = sum + g;
end;
polar(t, abs(sum))
```

olarak yazılabilir.





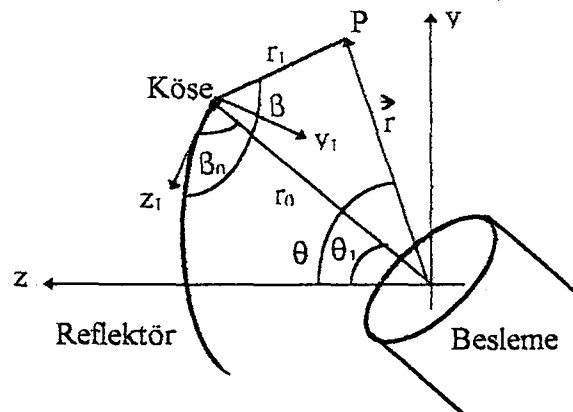
Şekil 2.2 Işıma diyagramı

### 3. PARABOLOİDALİN KÖŞESİNDEKİ KIRINIM

Kesik reflektörün köşesindeki köşe kırınımları ele alınmaktadır.  $TE_{11}$  modunda uyarılmış dairesel kesitli bir transmisyon borusundan ışıyan elektrik alanın  $\phi = \frac{\pi}{2}$  düzlemindeki bileşeni

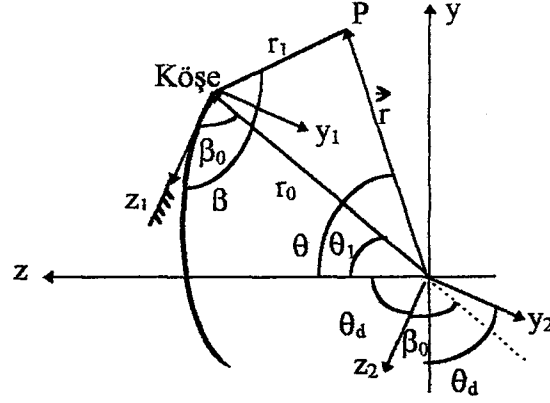
$$E_{\theta} = \frac{a^4 \omega \mu}{2 \cdot (1,84)^2} \frac{e^{-jk r}}{r} J_0(1,84) \frac{J_1[ka \sin(\theta - \theta_0)]}{ka \sin(\theta - \theta_0)} [\beta \cos(\theta - \theta_0) + k] \quad 3.1$$

şeklinde yazılabilir.



Şekil 3.1 Reflektörde köşe kırınımının geometrisi

Şekil 3.1 de  $(y,z)$  ve  $(y_1, z_1)$  olmak üzere iki adet koordinat sistemi tanımlanmıştır. Bunlardan biri odaktaki, diğeri ise  $(r_0, \theta_1)$  koordinatlı köşedeki sistemdir. Bu iki koordinat sistemi arasında bağıntı yazılabilir. Böylece köşedeki kırınım fonksiyonu, odaktaki koordinat cinsinden ifade edilebilir.



Şekil 3.2 Paraboloidalin köşe kırınım geometrisi

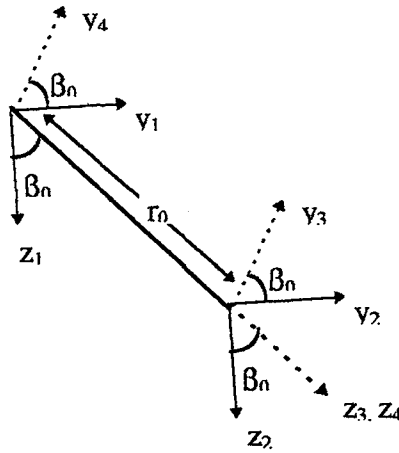
Şekil 3.2 deki geometriden

$$y_2 = -y \cos \theta_d - z \sin \theta_d$$

$$z_2 = -y \sin \theta_d + z \cos \theta_d$$

3.2

yazılabilir. Şekil 3.3'te ötelemenin geometrisi verilmiştir.



Şekil 3.3 Eksenlerin Öteleme Geometrisi

Şekil 3.3 deki geometriden

$$\begin{aligned} z_4 &= y_1 \sin \beta_0 + z_1 \cos \beta_0 \\ y_4 &= -y_1 \cos \beta_0 - z_1 \sin \beta_0 \end{aligned} \quad 3.3$$

$$\begin{aligned} y_2 &= y_3 \cos \beta_0 + z_3 \sin \beta_0 \\ z_2 &= -y_3 \sin \beta_0 + z_1 \cos \beta_0 \end{aligned} \quad 3.4$$

$$\begin{aligned} z_3 &= z_4 - r_0 \\ y_3 &= y_4 \end{aligned} \quad 3.5$$

yazılarak, 3.4 ve 3.2 denklemleri birleştirilirse

$$\begin{aligned} z_3 &= y_1 \sin \beta_0 + z_1 \cos \beta_0 - r_0 \\ y_3 &= y_1 \cos \beta_0 - z_1 \sin \beta_0 \end{aligned} \quad 3.6$$

ifadeleri elde edilebilir. Bu ifadeler 3.3 denklemlerinde yerine konursa  $(y_2, z_2)$  koordinatlar sistemi,  $(y_1, z_1)$  koordinatlar sistemi cinsinden

$$y_2 = y_1 - r_0 \sin \beta_0$$

ve

$$z_2 = z_1 - r_0 \cos \beta_0$$

olarak elde edilebilir. Bu son iki dönüşüm denklemi 3.1'de kullanılarak

$$y_1 = -y \cos \theta_d - z \sin \theta_d + r_0 \sin \beta_0$$

$$z_1 = -y \sin \theta_d + z \cos \theta_d + r_0 \cos \beta_0$$

ifadeleri bulunabilir. Burada küresel koordinatlar sistemine geçilirse

$$r_1 \sin \beta = -r \sin(\theta + \theta_d) + r_0 \sin \beta_0$$

$$r_1 \cos \beta = +r \sin(\theta + \theta_d) + r_0 \cos \beta_0 \quad 3.7$$

denklemleri elde edilebilir. Bu denklemlerden  $r_1$ ,

$$r_1 = \sqrt{r^2 + r_0^2 + 2r r_0 \cos(\theta + \theta_d - \beta_0)} \quad 3.8$$

şeklinde yazılabilir.

Odak ve köşe koordinatları arasındaki dönüşüm matrisi

$$\tilde{T} = \begin{bmatrix} \sin \theta_d & \cos \theta_d \\ -\cos \theta_d & \sin \theta_d \end{bmatrix} \quad 3.9$$

ve  $\vec{e}_{yz} = \tilde{T} \vec{e}_{y_1 z_1}$  olmak üzere,  $\vec{e}_\theta$  birim vektörü

$$\vec{e}_\theta = \cos(\theta_1 - \theta_d) \vec{e}_{y_1} - \sin(\theta_1 - \theta_d) \vec{e}_{z_1} \quad 3.10$$

olarak ifade edilebilir. Şekil 1.1 deki geometri kullanılarak  $\vec{r}_1$  vektörü için

$$\vec{r}_1 = r_0 \vec{e}_{r_0} + r \vec{e}_r$$

yazılabilir. 3.1 ile verilen elektrik alan bileşenindeki küresel dalga faktörü

$$\frac{e^{-jkr}}{r} = \frac{e^{-jk\sqrt{r_1^2 + r_0^2 + 2r_0 r_1 \cos \psi}}}{\sqrt{r_1^2 + r_0^2 + 2r_0 r_1 \cos \psi}} = -j \sum_{n=-\infty}^{\infty} (2n+1) j_n(kr_1) h_n^{(2)}(kr_0) P_n(\cos \psi) \quad 3.11$$

yazılabilir. Küresel Bessel ve Hankel fonksiyonları, Hankel ve Bessel fonksiyonları cinsinden ifade edilebilir. Bessel fonksiyonu yerine yaklaşık olarak birinci nevi Hankel fonksiyonu yazılabilir. Böylece küresel koordinatlar sisteminde Poisson İntegral Dönüşümü, Hankel fonksiyonlarının Debye asimptotik açılımı kullanılarak

$$\frac{e^{-jkr}}{r} = \sqrt{\frac{2}{\pi}} \sum_{n=-\infty}^{\infty} \int_C v \frac{e^{j \left[ \left[ (kr_1)^2 - v^2 \right]^{1/2} - v \cos^{-1} \left( \frac{v}{kr_1} \right) - \left[ (kr_0)^2 - v^2 \right]^{1/2} + v \cos^{-1} \left( \frac{v}{kr_0} \right) - v\psi - \frac{\pi}{4} \right]}}{\sqrt{v \sin \psi} \left[ (kr_1)^2 - v^2 \right]^{1/4} \left[ (kr_0)^2 - v^2 \right]^{1/4}} dv \quad 3.12$$

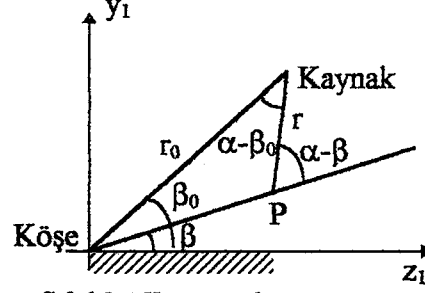
şeklinde ifade edilebilir. Burada genlik fonksiyonu

$$U(v) = \left[ (kr_1)^2 - v^2 \right]^{1/2} - v \cos^{-1} \left( \frac{v}{kr_1} \right) - \left[ (kr_0)^2 - v^2 \right]^{1/2} + v \cos^{-1} \left( \frac{v}{kr_0} \right) - v\psi - \frac{\pi}{4} \quad 3.13$$

olarak yazılabilir. Genlik fonksiyonunun birinci türevi alınıp sıfıra eşitlenirse semer noktası

$$v_s = kr_1 \sin(\alpha - \beta) = kr_0 \sin(\alpha - \beta_0) \quad 3.14$$

şeklinde elde edilebilir.



Şekil 3.4 Köşeye gelen ışının geometrisi

$v$ 'nün semer noktasındaki değeri 3.14 integralinde yerine konarak

$$\frac{e^{-jkr}}{r} = \sqrt{\frac{\pi}{2}} \int_c \sqrt{\frac{kr_0 \sin(\alpha - \beta_0)}{\sin(\beta_0 - \beta)}} e^{jk r_1 \cos(\alpha - \beta)} e^{-jk r_0 \cos(\alpha - \beta_0)} d\alpha$$

ifadesi elde edilebilir. Faz terimlerinde

$$y_1 = r_1 \sin \beta \quad z_1 = r_1 \cos \beta$$

$$y_0 = r_0 \sin \beta_0 \quad z_0 = r_0 \cos \beta_0$$

eşitlikleri kullanılarak genlik terimi

$$G(\alpha) = \sqrt{\frac{\pi}{2}} \sqrt{\frac{kr_0 \sin(\alpha - \beta_0)}{\sin(\beta_0 - \beta)}} e^{-jk(z_0 \cos \alpha + y_0 \sin \alpha)}$$

olmak üzere integral

$$\frac{e^{-jkr}}{r} \sim \int_{-\infty}^{\infty} G(\alpha) e^{jk(z_1 \cos \alpha + y_1 \sin \alpha)} d\alpha \quad 3.15$$

şeklinde yazılabilir. Neticede elektrik alan

$$\vec{E} = \frac{a^4 \omega \mu}{2k(1,84)^2} J_0(1,84) \frac{J_1[ka \sin(\theta_1 - \theta_0)]}{ka \sin(\theta_1 - \theta_0)} [\beta \cos(\theta_1 - \theta_0) + k] \left[ \cos(\theta_1 - \theta_d) \vec{e}_{y_1} - \sin(\theta_1 - \theta_d) \vec{e}_{z_1} \right] \int_{-\infty}^{\infty} G(\alpha) e^{jk(z_1 \cos \alpha + y_1 \sin \alpha)} d\alpha$$

şeklinde ifade edilebilir. Maxwell-Faraday aksiyom denkleminde magnetik alan

$$\vec{H} = -\vec{e}_{x_1} \frac{a^4}{2k(1,84)^2} J_0(1,84) \frac{J_1[ka \sin(\theta_1 - \theta_0)]}{ka \sin(\theta_1 - \theta_0)} [\beta \cos(\theta_1 - \theta_0) + k] \int_{-\infty}^{\infty} G(\alpha) \cos(\alpha + \theta_1 - \theta_d) e^{jk(z_1 \cos \alpha + y_1 \sin \alpha)} d\alpha$$

3.16

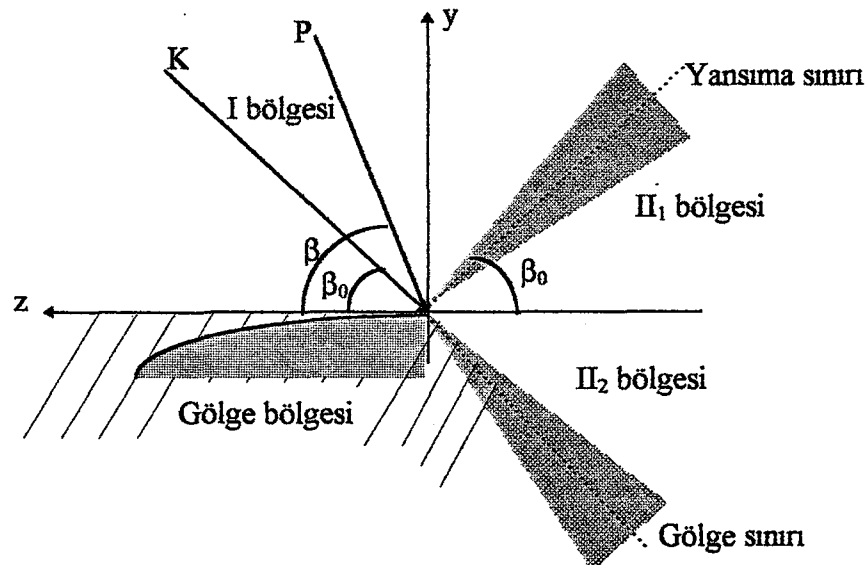
şeklinde bulunabilir. Burada

$$L_{ox} = -\frac{a^4}{2k(1,84)^2} J_0(1,84) \frac{J_1[ka \sin(\theta_1 - \theta_0)]}{ka \sin(\theta_1 - \theta_0)} [\beta \cos(\theta_1 - \theta_0) + k]$$

olmak üzere

$$\vec{H} = \vec{e}_{x_1} L_{ox} \int_{-\infty}^{\infty} G(\alpha) \cos(\alpha + \theta_1 - \theta_d) e^{jk(z_1 \cos \alpha + y_1 \sin \alpha)} d\alpha$$

yazılabilir.



Şekil 3.4 Parabolün Köşesindeki Kırınım

Yarı sonsuz düzlemde sınır koşulları için

$$\frac{\partial H_x(+0, z)}{\partial y} - \frac{\partial H_x(-0, z)}{\partial y} = 0, z > 0$$

$$\frac{\partial H_x(0, z)}{\partial y} - \frac{\partial H_x(0, z)}{\partial y} = 0, z > 0$$

$$H_x(+0, z) - H_x(-0, z) = J_x(z)$$

yazılabilir.

Reflektörün köşe kırınımı için  $\nabla^2 u + k^2 u = 0$  şeklinde Helmholtz denkleminin çözümü söz konusudur. Bu denklem Ek.2'deki şekilde Wiener Hopff tekniği ile çözümlerse, kırınım katsayısı

$$D = \frac{e^{j\frac{\pi}{4}} \sin \beta_0 \sin \beta}{2 \sqrt{2\pi} \sqrt{1 - \cos \beta_0} \sqrt{1 - \cos \beta} (\cos \beta + \cos \beta_0)} \quad 3.17$$

şeklinde elde edilebilir. Neticede

$$\sin \alpha = \sqrt{1 - \cos \alpha} \sqrt{1 + \cos \alpha}$$

trigonometrik özdeşliği 3.2 denkleminde kullanılırsa köşe kırınım katsayısı

$$D = \left[ \frac{1}{\cos\left(\frac{\beta + \beta_0}{2}\right)} + \frac{1}{\cos\left(\frac{\beta - \beta_0}{2}\right)} \right] e^{j\frac{\pi}{4}} \quad 3.18$$

olarak bulunabilir. Parabolün köşesindeki ve odağındaki koordinat sistemlerinin açıları arasında  $\beta = 3\beta_0 - \pi$  ve köşe açısı ile köşeye gelme açısı  $\beta_0$  arasında ise  $\theta_1 = \pi - 2\beta_0$  bağıntıları vardır. Bu bağıntılar difraksiyon katsayısında yerine konursa,

$0 < \beta < \pi - \beta_0$  bölgesindeki alan

$$H_x(r, \beta) \sim H_{0x} \cdot \frac{1}{2} \cdot e^{-jk_1 \sin(\beta - \beta_0)} - H_{0x} \cdot D(\beta) \cdot \frac{e^{-jk_1 r_1}}{\sqrt{k \cdot r_1}} \quad 3.19$$

olarak ifade edilebilir. Yansıma ve gölgesi sınırları arasındaki bölge ikiye ayrılabilir.  
 $\pi - \beta_0 < \beta < \pi$  arasındaki alan

$$H_x(r, \beta) \sim H_{0x} \cdot D(\beta) \cdot \frac{e^{-jk_1 r}}{\sqrt{k_1 r_1}} \quad 3.20$$

ve  $\pi < \beta < \frac{3\pi}{2} - \beta_0$  bölgesindeki alan ise

$$H_x(r, \beta) \sim \frac{1}{2} H_{0x} \cdot e^{-jk_1 r \sin(\beta - \beta_0)} + H_{0x} \cdot D(\beta) \cdot \frac{e^{-jk_1 r}}{\sqrt{k_1 r_1}} \quad 3.21$$

şeklinde elde edilebilir. Üçüncü bölgedeki alan ise

$$H_x(r, \beta) \sim \frac{1}{2} H_{0x} \cdot e^{-jk_1 r \sin(\beta - \beta_0)} \quad 3.22$$

olarak bulunabilir.

Şekil 3.2'deki geometri gözönüne alınarak  $r \gg r_0$  için odak ve köşe koordinatları arasındaki dönüşüm formülleri

$$\begin{aligned} \cos \beta &= \cos(\theta + \theta_d) \\ \sin \beta &= -\sin(\theta + \theta_d) \end{aligned}$$

şeklinde verilebilir.

$$\beta \sim \text{Arctg}(-\text{tg}(\theta + \theta_d)) = -(\theta + \theta_d) \quad 3.23$$

olarak ifade edilebilir. Sonuçta kırınım katsayısı

$$D(\theta) = e^{j\frac{\pi}{4}} \left[ \frac{1}{\cos\left(\frac{-\theta - \theta_d + \beta_0}{2}\right)} + \frac{1}{\cos\left(\frac{-\theta - \theta_d - \beta_0}{2}\right)} \right] \quad 3.24$$

şeklinde yazılabilir. Neticede alan ifadesi



$$H_x(r, \theta) = H_{ox} D(\theta) \frac{e^{-jkr}}{\sqrt{kr}} \quad 3.25$$

olarak elde edilebilir.

### MATLAB Paket programda yazım:

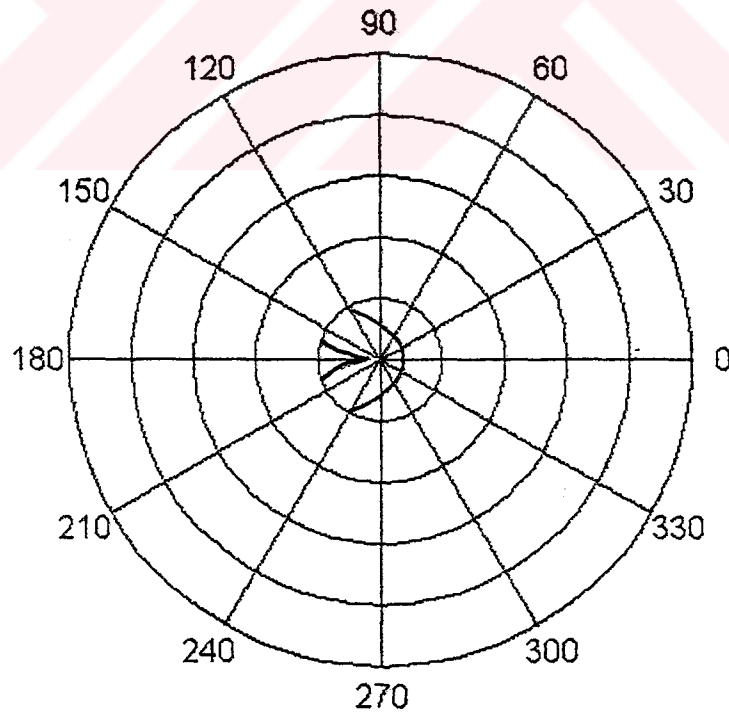
3.24 ile verilen kırınım katsayısının çizdirilebilmesi için MATLAB paket programına uygun olarak ifade edilebilmelidir. Fonksiyonun genlik terimi, şekle etki etmediğinden, kırınım katsayısı normalize edilebilir. Neticede Matlab program yazımı

```

theta = -t
t=0:.01:2.*pi
a = theta_d
b = beta_0
c = cos((t+a+b)/2);
d = cos((t+a-b)/2);
polar(t,abs((1./c)+1./d)));

```

şeklinde ifade edilebilir.



Şekil 3.5 Polar ışıma diyagramı

3.24 ile verilen kırınım katsayısı  $\theta = -\theta_d + \beta_0$  ve  $\theta = -\theta_d - \beta_0$  değerlerinde sonsuza gitmektedir. Katsayının bu geçiş bölgelerinde de geçerli olan çözümü EK.2'de çıkarılmıştır. Buna göre kırınım katsayısı

$$D(r, \theta) = F \left[ \sqrt{2kr} \cos \left( \frac{-\theta - \theta_d - \beta_0}{2} \right) \right] + \operatorname{sgn} \left[ \cos \left( \frac{-\theta - \theta_d + \beta_0}{2} \right) \right] F \left[ \sqrt{2kr} \left| \cos \left( \frac{-\theta - \theta_d + \beta_0}{2} \right) \right| \right]$$

şeklinde yazılabilir.

#### 4. SONUÇ

TE<sub>11</sub> modunda uyarılan dairesel kesitli transmisyon borusunun açık ağzından ışıma polar ışınım diagramı tek kulaklı olabilmektedir. Koordinat başlangıcından öteleme ve dönme yapıldığında bu ana kulak durumunu muhafaza etmektedir. Odakta döndürülmüş dairesel kesitli transmisyon borusu ile beslenen dönel paraboloidal reflektörden yansıyan alanın polar ışınım diagramı çizdirilebilmekte ve yansıma teoremine uygun olarak ana kulak şekli elde edilebilmektedir.

Diğer taraftan paraboloidal köşesindeki kırınım dalgalarının alanına ait polar ışınım diagramı elde edilebilmektedir.

Netice olarak yansıyan ve köşe kırınım alanlarının toplamının polar ışınım diagramı elde edilebilmekte, böylece köşe kırınım dalgalarının etkisi de görülebilmektedir.

## İKİNCİ BÖLÜM

### ODAK DIŞI BESLEMELİ DÖNEL PARABOLOİDAL ANTEN

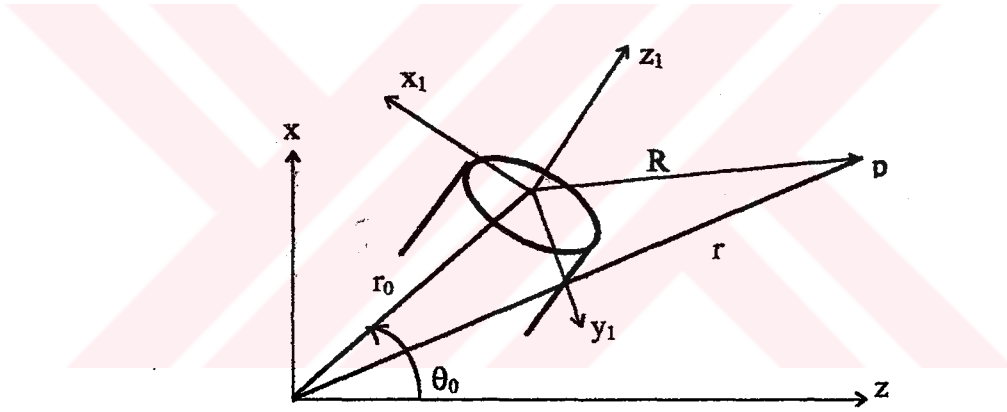
Paraboloidal reflektörlerde besleme kaynağı, parabolün odağına veya odağının dışına konabilir. Koordinatlar sisteminin merkezi reflektörün odağı ile çakıştığı için, besleme kaynağı odak dışına çıkartıldığında, yeni bir koordinat sisteminin tanımlanması gereklidir. Transmisyon borusundan ışılan alan ikinci koordinat sisteminde dönme ve öteleme sonucu oluşan koordinat dönüşümleri hesaplanmıştır. Ayrıca öteleme ve dönme, transmisyon borusundan ışılan alanın birim vektörlerini de değiştirecektir. Odak dışına çıkarılmış  $TE_{11}$  modunda uyarılmış transmisyon borusunun alanı, odaktaki koordinat sistemine göre ifade edilebilir. Faz teriminde Poisson İntegral Dönüşümü kullanılabilir. Reflektörden yansıyan alan ise yüzeysel akım dağılımı metodu ile bulunabilir. Köşe kırınımları için, odak dışına çıkarılmış transmisyon borusundan ışılan alandan köşeye giden ışın kaynak terimi cinsinden ifade edilebilir. Köşe yine yarı sonsuz düzlem gibi düşünülerek, Wiener-Hopf tekniği ile köşe kırınımı katsayısı bulunabilir.

#### 1. ÖTELENMİŞ VE DÖNDÜRÜLMÜŞ TRANSMİSYON BORUSUNDAN IŞIMA

Paraboloidal reflektör, odağının dışına çıkarılmış dairesel kesitli transmisyon borusu ile beslenebilir. Bu sebeple odak dışı beslemeli içbükey paraboloidal antenden yansıyan alanın teorik hesabında kullanılacağı için, orijinde döndürülmüş ve ötelenmiş dairesel kesitli transmisyon borusunun ışılan uzak alanının ifadesi çıkarılmıştır. Bu amaçla faz terimine kürede Poisson integral dönüşümü uygulanmıştır. Yapılan bu yaklaşığın derecesi ileride tartışılacaktır. Alanın  $\theta$  ve  $\phi$ 'ye bağlı terimlerinde ise koordinat dönüşümü yapılmıştır.

### 1.1 Odak Dışına Çıkarılmış Dairesel Kesitli Transmisyon Borusunun Ağzından Işıma

Dairesel kesitli transmisyon borusu odakta döndürüldüğü ve odak dışına çıkarıldığında, yeni bir koordinat sistemine sahip olacaktır. Transmisyon borusu, besleme olarak kullanıldığında bu yeni koordinat sistemi, reflektörün odağındaki sisteme göre tanımlanmalıdır. Böylece odak dışı beslemeli paraboloidal reflektörden yansıyan alan, odaktaki koordinat sistemi cinsinden ifade edilebilir. Koordinat değişikliği yapıldığı için, elektrik alanın birim vektörleri değişecek ve alan, eski koordinat eksenlerine göre yeni bileşenlere sahip olacaktır. Transmisyon borusunun dönel paraboloidal reflektörün beslemesi olarak kullanılacağı ve bu sistemin geometrisinde,  $\phi'$  ye göre simetri olduğu gözönüne alınırsa, basitlik sağlamak amacı ile öteleme ve dönmenin düzlemde olduğu varsayılmıştır.



Şekil 1.1 Döndürülmüş ve ötelenmiş transmisyon borusunun geometrisi

Şekil 1.1'deki geometri kullanılarak, EK 1 ile verilen eşitlikleri  $r$  yerine  $R$ ,  $u$  yerine  $u_1$  ve  $\theta$  yerine  $\theta_1$  konarak  $(x_1, y_1, z_1)$  koordinat sisteminde  $\vec{E}, \vec{H}$  alanları

$$E_{\theta_1} = -\frac{a^4 \omega \mu e^{-jkR}}{2(1,84)^2 R} J_0(1,84) \sin \phi_1 \frac{J_1(u_1)}{u_1} (\beta \cos \theta_1 + k)$$

$$E_{\phi_1} = -\frac{a^4 \omega \mu e^{-jkR}}{2 R} \frac{J_0(1,84)}{[(1,84)^2 - u_1^2]} \cos \phi_1 \frac{dJ_1(u_1)}{du_1} (\beta + k \cos \theta_1) \quad 1.1$$

$$H_{\theta_1} = \frac{ka^4 e^{-jkR}}{2R} \frac{J_0(1,84)}{[(1,84)^2 - u_1^2]} \cos \phi_1 \frac{dJ_1(u_1)}{du_1} (\beta + k \cos \theta_1)$$

$$H_{\phi_1} = -\frac{ka^4 e^{-jkR}}{2 \cdot (1,84)^2 R} J_0(1,84) \sin \phi_1 \frac{J_1(u_1)}{u_1} (\beta \cos \theta_1 + k)$$

olarak yazılabilir. Burada  $R = \sqrt{r^2 + r_0^2 + 2r r_0 \cos \psi}$  ve  $u_1 = ka \sin \theta_1$  dir.  $\cos \psi$   $\vec{r}$  ve  $\vec{r}_0$  arasındaki açı olup,  $\vec{e}_r \cdot \vec{e}_{r_0} = \cos \psi$  dir.  $\vec{r}_0, \phi = 0$  düzleminde olduğu için;

$$\vec{e}_{r_0} = \sin \theta_0 \vec{e}_x + \cos \theta_0 \vec{e}_z$$

şeklinde yazılabilir. Böylece;

$$\cos \psi = \vec{e}_r \cdot \vec{e}_{r_0} = \sin \theta \sin \theta_0 \cos \phi + \cos \theta \cos \theta_0$$

olarak elde edilebilir.

## 1.2 Poisson İntegral Dönüşümü

1.1 ile verilen  $\vec{E}, \vec{H}$  uzak alan ifadelerinde  $e^{-jkR}/R$  yöresel düzlemsel dalga faktörü kullanılarak düzlemsel dalga yaklaşıklığı gerçekleştirilebilir. Bu amaçla 1.2 özdeşliğinden yararlanılabilir. Böylece  $e^{-jkR}/R$  ifadesi küresel Hankel ve Bessel fonksiyonları cinsinden bir seri toplamı şeklinde yazılabilir. Faz terimi

$$\frac{e^{-jkR}}{R} = h_0^{(2)}(kR) = h_0^{(2)}\left(k\sqrt{r^2 + r_0^2 + 2r r_0 \cos \psi}\right) \quad 1.2$$

olarak ifade edilebilir. Aşağıdaki özdeşlik kullanılarak

$$h_0^{(2)}\left(k\sqrt{r^2 + r_0^2 + 2r r_0 \cos \psi}\right) = -j \sum_{n=0}^{\infty} \begin{cases} (2n+1) J_n(kr_0) h_n^{(2)}(kr) P_n(\cos \psi) & , r_0 < r \text{ için} \\ (2n+1) j_n(kr) h_n^{(2)}(kr_0) P_n(\cos \psi) & , r_0 > r \text{ için} \end{cases}$$

seri toplamına geçilebilir.

Orijinden gözlem noktasına olan  $r$  uzaklığı,  $r_0$  dan büyük olduğu için; birinci seri toplamı kullanılır. Buradan küresel koordinat sisteminde Poisson integral dönüşümü

$$I = \sum_{n=-\infty}^{\infty} (2n+1) f(n) P_n(\cos\theta) = j \sqrt{\frac{2}{\pi}} \left[ \sum_{n=-\infty}^{\infty} \int_{c_1+c_2}^{\infty} \nu \xi(\nu) \frac{e^{-j\nu\psi + j2\nu n + jn\pi - j\frac{\pi}{4}}}{\sqrt{\nu \sin\theta}} d\nu \right] \quad 1.3$$

şeklinde ifade edilebilir. [2],[4]

Burada  $f(n) = -j j_{\nu-1}(kr_0) h_{\nu}^{(2)}(kr)$  'dır.  $f\left(\nu - \frac{1}{2}\right) = \xi(\nu)$  ve  $\xi(\nu)$  fonksiyonu  $\nu$  'ye göre çift olmak üzere  $[\xi(-\nu) = \xi(\nu)]$ , aşağıdaki özdeşlikleri kullanarak, küresel Bessel fonksiyonlarından, Bessel fonksiyonlarına geçilebilir, zira  $\xi(\nu)$  fonksiyonu Bessel ve Hankel fonksiyonlarını temsil etmektedir. Burada

$$f\left(\nu - \frac{1}{2}\right) = -j j_{\nu-\frac{1}{2}}(kr_0) h_{\nu-\frac{1}{2}}^{(2)}(kr)$$

olup kesirli küresel Bessel ve küresel Hankel fonksiyonları Bessel ve Hankel fonksiyonlar cinsinden

$$j_{\nu-\frac{1}{2}}(kr_0) = \sqrt{\frac{\pi}{2kr_0}} J_{\nu}(kr_0)$$

$$h_{\nu-\frac{1}{2}}^{(2)}(kr) = \sqrt{\frac{\pi}{2kr}} H_{\nu}^{(2)}(kr) \quad 1.4$$

şeklinde ifade edilebilir. Sonuçta  $\xi(\nu)$  fonksiyonu

$$\xi(\nu) = -j \frac{\pi}{2} \frac{1}{k\sqrt{r}r_0} J_{\nu}(kr_0) H_{\nu}^{(2)}(kr) \quad 1.5$$

olarak tayin edilebilir. Bessel fonksiyonu Hankel fonksiyonları cinsinden

$$J_{\nu}(kr_0) = \frac{1}{2} [H_{\nu}^{(1)}(kr_0) + H_{\nu}^{(2)}(kr_0)] \quad 1.6$$

$kr_0 \gg \nu$  ise, ikinci nevi Hankel fonksiyonu, birinci nevi Hankel fonksiyonunun yanında ihmal edilebilir. Neticede Poisson integral dönüşümü için

$$I = \sqrt{\frac{2}{\pi}} \int_{-\infty}^{\infty} \sum_{n=-\infty}^{\infty} \nu \frac{\pi}{2k\sqrt{r \cdot r_0}} H_{\nu}^{(1)}(kr_0) H_{\nu}^{(2)}(kr) \frac{e^{-i\nu\psi + jn\pi - j\frac{\pi}{4} - j2m\nu}}{\sqrt{\nu \sin \psi}} d\nu \quad 1.7$$

yazılabilir. Bu seri  $n = 0$  için yakınsaktır. Birinci nevi Hankel fonksiyonunun Debye asimptotik açılımı

$$H_{\nu}^{(1)}(kr_0) \sim \sqrt{\frac{2}{\pi}} \frac{e^{j\left[\left((kr_0)^2 - \nu^2\right) - \nu \cos^{-1} \frac{\nu}{kr_0} + \frac{\pi}{4}\right]}}{\left[\left(kr_0\right)^2 - \nu^2\right]^{1/4}} \quad 1.8$$

ve ikinci nevi Hankel fonksiyonu  $kr \gg \nu$  için uzak alan yaklaşıklığı için asimptotik açılımı

$$H_{\nu}^{(2)}(kr) \sim \sqrt{\frac{2}{\pi}} \frac{e^{jkr + j\frac{2\nu+1}{4}}}{\sqrt{kr}} \quad 1.9$$

olarak yazılabilir. Bu asimptotik açınımlar integralde yerine konarak

$$I = \frac{1}{\sqrt{2\pi k r_0} kr} \int_{-\infty}^{\infty} \frac{\nu}{\left[\left(kr_0\right)^2 - \nu^2\right]^{1/4}} \frac{e^{j\left[\left((kr_0)^2 - \nu^2\right)^{1/2} - \nu \cos^{-1} \frac{\nu}{kr_0} - \nu\psi - kr + \frac{2\nu+1}{4}\right]}}{\sqrt{\nu \sin \psi}} d\nu \quad 1.10$$

ifadesi elde edilebilir. Bu integral stasyoner faz yöntemi ile hesaplanabilir. Burada faz fonksiyonu;

$$u(\nu) = \left[\left(kr_0\right)^2 - \nu^2\right]^{1/2} - \nu \cos^{-1} \frac{\nu}{kr_0} - \nu\psi + \frac{2\nu+1}{4} \quad 1.11$$

şeklindedir.  $\nu$ 'nün semer noktasındaki değerini bulmak için  $u(\nu)$ 'nün  $\nu$ 'ye göre türevi alınarak, sıfıra eşitlenir. Neticede

$$\cos^{-1} \frac{\nu_s}{kr_0} = \frac{\pi}{2} - \psi$$

ifadesi elde edilebilir. Bu denklemden  $v$ 'nin semer noktasındaki değeri olan  $v_s$ 'in  $kr_0 \sin \psi$ 'ye eşit olduğu görülebilir. Faz fonksiyonunun  $v = v_s$  için ikinci dereceden türevi alınrsa;

$$\left. \frac{d^2 u}{dv^2} \right|_{v=v_s} = \frac{1}{kr_0 \cos \psi} \quad 1.12$$

bulunabilir. Faz fonksiyonu semer noktası civarında Taylor serisine açılıp, ilk üç terimi ile yetinilirse;

$$u(v) \sim u(v_s) + \frac{1}{2!} \left. \frac{d^2 u}{dv^2} \right|_{v=v_s} (v - v_s)^2 \quad 1.13$$

şeklinde yazılabilir. Böylece yaklaşık olarak faz fonksiyonu için

$$u(v) \sim kr_0 \cos \psi + \frac{\pi}{4} + \frac{1}{2} \frac{(v - v_s)^2}{kr_0 \cos \psi} \quad 1.14$$

elde edilebilir. Sonuçta I integrali

$$I = \frac{1}{\sqrt{2\pi kr_0 \cos \psi}} \frac{e^{-jkr}}{r} e^{-jkr_0 \cos \psi + j\frac{\pi}{4}} \int_{-\infty}^{+\infty} e^{j\frac{1}{2} \frac{(v-v_s)^2}{kr_0 \cos \psi}} \cdot dv$$

şeklini alır. Genlik fonksiyonunda da  $v$  yerine  $v_s$  konulmuş ve genlik  $\frac{1}{\cos \psi}$  olarak bulunmuştur. Bu integrali hesaplamak için normal dağılımın integralinden yararlanılabilir. Böylece  $\frac{e^{-jkr}}{R}$  ifadesi,

$$I = j e^{-jkr_0 \cos \psi} \frac{e^{-jkr}}{kr}$$

olarak bulunabilir. Faz terimi yerine konursa,  $r > r_0$  için elektrik alan denklemleri;

$$E_{\theta_1} = \frac{jZ_0 a^4}{2(1,84)^2} e^{-jkr_0 \cos \psi} \frac{e^{-jkr}}{r} J_0(1,84) \sin \phi_1 \frac{J_1(u_1)}{u_1} (\beta \cos \theta_1 + k)$$

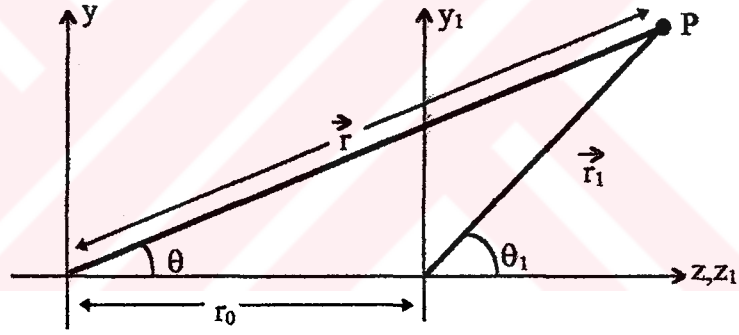


$$E_{\phi_1} = \frac{jZ_0 a^4}{2} e^{-jk r_0 \cos \psi} \frac{e^{-jkr}}{r} \frac{J_0(1,84)}{[(1,84)^2 - u^2]} \cos \phi_1 \frac{dJ_1(u_1)}{du_1} (\beta + k \cos \theta_1) \quad 1.15$$

şeklinde ifade edilebilir. Yukarıdaki formüllerde görülen  $\theta_1$  ve  $\phi_1$  ifadeleri,  $(x_1, y_1, z_1)$  koordinat sistemine göredir. Bu ifadeler  $(x, y, z)$  koordinat sistemi cinsinden yazılabilmelidir. Koordinat dönüşümünde basitlik sağlamak amacı ile ilk önce,  $\phi = \frac{\pi}{2}$  düzleminde ve z ekseninde  $r_0$  kadarlık bir ötelemenin yapıldığı varsayılabilir.

### 1.3 Öteleme Geometrisi

Ötelemenin z ekseninde yapılmasının amacı,  $\phi$ 'ye göre simetrisinin korunabilmesidir. Böylece dönüşüm formüllerinde ve birim vektörlerde basitlik sağlanabilmiştir.



Şekil 1.2 z ekseninde öteleme geometrisi

Şekil 1.2'deki geometriden faydalanılarak,

$$y_1 = y \quad z_1 = z - r_0$$

ifadeleri yazılabılır. Bu ifadelerden kutupsal koordinatlara geçilirse

$$r_1 \sin \theta_1 = r \sin \theta$$

$$r_1 \cos \theta_1 = r \cos \theta - r_0 \quad 1.16$$

eşitlikleri elde edilebilir. Bu iki lineer bağımsız denklemden,  $r_1$  ve  $\theta_1$  çözümlerse

$$r_1 = \sqrt{r^2 + r_0^2 - 2r r_0 \cos\theta}$$

$$\sin\theta_1 = \frac{r \sin\theta}{\sqrt{r^2 + r_0^2 - 2r r_0 \cos\theta}} \quad \cos\theta_1 = \frac{r \cos\theta - r_0}{\sqrt{r^2 + r_0^2 - 2r r_0 \cos\theta}} \quad 1.17$$

ifadeleri bulunabilir.

Öteleme, birim vektörlerinde değişmesine sebep olacaktır. Yeni birim vektörleri orijindeki koordinat sistemindekiler cinsinden bulmak için

$$\vec{r} = x \vec{e}_x + y \vec{e}_y + z \vec{e}_z$$

yer vektörü ifadesinde 1.7 denklemleri yerine konursa

$$\vec{r} = r_1 \sin\theta_1 \vec{e}_y + (r_1 \cos\theta_1 + r_0) \vec{e}_z$$

ifadesi elde edilebilir. Burada ilk önce  $r_1$  ve  $\theta_1$ 'in metrik katsayıları

$$h_{r_1} = \left\| \frac{\partial \vec{r}}{\partial r_1} \right\| = 1 \quad h_{\theta_1} = \left\| \frac{\partial \vec{r}}{\partial \theta_1} \right\| = r_1$$

olarak hesaplanabilir. Bu katsayılar kullanılarak  $(x_1, y_1, z_1)$  koordinat sisteminin birim vektörleri

$$\vec{e}_{r_1} = \sin\theta_1 \vec{e}_y + \cos\theta_1 \vec{e}_z, \quad \vec{e}_{\theta_1} = \cos\theta_1 \vec{e}_y - \sin\theta_1 \vec{e}_z$$

şeklinde bulunabilir. Küresel koordinat sisteminin birim vektörleri ve 1.8 denklemleri olarak kullanılarak

$$\vec{e}_{r_1} = \frac{\vec{e}_r [r - r_0 \cos\theta] + r_0 \sin\theta \vec{e}_\theta}{\sqrt{r^2 + r_0^2 - 2r r_0 \cos\theta}}$$

$$\vec{e}_{\theta_1} = \frac{-\vec{e}_r r_0 \sin\theta + (r - r_0 \cos\theta) \vec{e}_\theta}{\sqrt{r^2 + r_0^2 - 2r r_0 \cos\theta}} \quad 1.18$$

$$\vec{e}_{\phi_1} = \vec{e}_\phi$$

eşitlikleri elde edilebilir. Yukarıda bulunan  $(x_1, y_1, z_1)$  koordinat sisteminin birim vektörleri ve 1.8 denklemleri elektrik alan ifadesinde yerine konursa;

$$u = ka \frac{r \sin \theta}{\sqrt{r^2 + r_0^2 - 2r r_0 \cos \theta}}$$

olmak üzere;

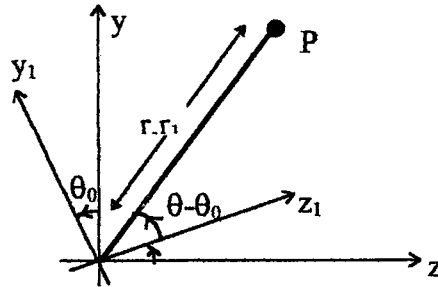
$$E_\theta = \frac{-jZ_0 a^4 J_0(1,84) e^{jk r_0 \cos \theta}}{2(1,84)^2 \sqrt{r^2 + r_0^2 - 2r r_0 \cos \theta}} \frac{e^{-jkr}}{r} (r - r_0 \cos \theta) \sin \phi \frac{J_1(u_1)}{u_1} \left( \beta \frac{r \cos \theta - r_0}{\sqrt{r^2 + r_0^2 - 2r r_0 \cos \theta}} + k \right)$$

$$E_\phi = -\frac{jZ_0 a^4}{2} \frac{e^{-jkr}}{r} e^{jk r_0 \cos \theta} \frac{J_0(1,84)}{[(1,84)^2 - u^2]} \cos \phi \frac{dJ_1(u_1)}{du_1} \left( \beta + k \frac{r \cos \theta - r_0}{\sqrt{r^2 + r_0^2 - 2r r_0 \cos \theta}} \right) \quad 1.19$$

ifadeleri bulunabilir. Bu eşitliklerden görülebileceği gibi elektrik alanın,  $(x, y, z)$  koordinat sistemine göre  $r, \theta$  ve  $\phi$  bileşenleri ortaya çıkmaktadır. Ayrıca alan ifadesi  $\theta$  ile beraber  $r$ 'nin de fonksiyonu olacaktır. Bu bağımlılık koordinat dönüşümünden ileri gelmektedir.

#### 1.4 Dönme Geometrisi

İşlemlerde basitlik sağlamak amacıyla, dönme hareketinin sadece  $\phi = \frac{\pi}{2}$  düzleminde olduğu varsayılabilir. Bu durumda  $x$  eksenini değişmeyecektir.



Şekil 1.3  $\phi = \frac{\pi}{2}$  düzleminde dönme geometrisi

Şekil 1.3'deki geometri göz önüne alınarak,  $(x_1, y_1, z_1)$  koordinat sisteminin  $(x, y, z)$  cinsinden ifadesi

$$\begin{aligned}x_1 &= x \\y_1 &= y \cos \theta_0 - z \sin \theta_0 \\z_1 &= y \sin \theta_0 + z \cos \theta_0\end{aligned} \quad 1.20$$

şeklinde yazılabilir. Bu denklemlerin küresel koordinatlarda yazılıp, çözülmesi ile  $r_1, \theta_1$  ve  $\phi_1$ ,  $r, \theta$  ve  $\phi$  cinsinden bulunabilir.

$$f(\theta, \phi) = \sqrt{\sin^2 \theta (\cos^2 \phi + \sin^2 \phi \cos^2 \theta_0) + \cos^2 \theta \sin^2 \theta_0 - 2 \sin \theta \cos \theta \sin \theta_0 \cos \theta_0 \sin \phi} \quad 1.21$$

olmak üzere

$$\begin{aligned}r_1 &= r \\ \sin \theta_1 &= f(\theta, \phi) \\ \cos \theta_1 &= \sin \theta \sin \theta_0 \sin \phi + \cos \theta \cos \theta_0 \\ \sin \phi_1 &= \frac{\sin \theta \sin \phi \cos \theta_0 - \cos \theta \sin \theta_0}{f(\theta, \phi)} \\ \cos \phi_1 &= \frac{\sin \theta \cos \phi}{f(\theta, \phi)}\end{aligned} \quad 1.22$$

ifadeleri bulunabilir. Yer vektörünün ifadesinde, bu eşitliklerin kullanılması ile, öteleme kısmında yapıldığı gibi birim vektörler,

$$\begin{aligned}\bar{e}_{r_1} &= \bar{e}_r \\ \bar{e}_{\theta_1} &= \frac{(\sin \theta \cos \theta_0 - \cos \theta \sin \phi \sin \theta_0) \bar{e}_\theta - \sin \theta_0 \cos \phi \bar{e}_\phi}{f(\theta, \phi)}\end{aligned} \quad 1.23$$

$$\bar{e}_{\phi_1} = \frac{\cos \phi \sin \theta_0 \bar{e}_\theta + (\sin \theta \cos \theta_0 - \cos \theta \sin \phi \sin \theta_0) \bar{e}_\phi}{f(\theta, \phi)}$$

şeklinde hesaplanabilir.

Sonuç olarak hem dönme, hem de öteleme hareketi birim vektörlerde değişikliğe sebep olmaktadır.  $\phi = \frac{\pi}{2}$  düzlemi için elektrik ve magnetik alan

$$\begin{aligned} \bar{E} &= -\frac{a^4 \omega \mu}{2(1,84)^2} \frac{e^{-jkr}}{r} J_0(1,84) \frac{J_1(ka \sin(\theta - \theta_0))}{ka \sin(\theta - \theta_0)} [\beta \cos(\theta - \theta_0) + k] \bar{e}_\theta \\ \bar{H} &= -\frac{ka^4}{2(1,84)^2} \frac{e^{-jkr}}{r} J_0(1,84) \frac{J_1(ka \sin(\theta - \theta_0))}{ka \sin(\theta - \theta_0)} [\beta \cos(\theta - \theta_0) + k] \bar{e}_\phi \end{aligned} \quad 1.24$$

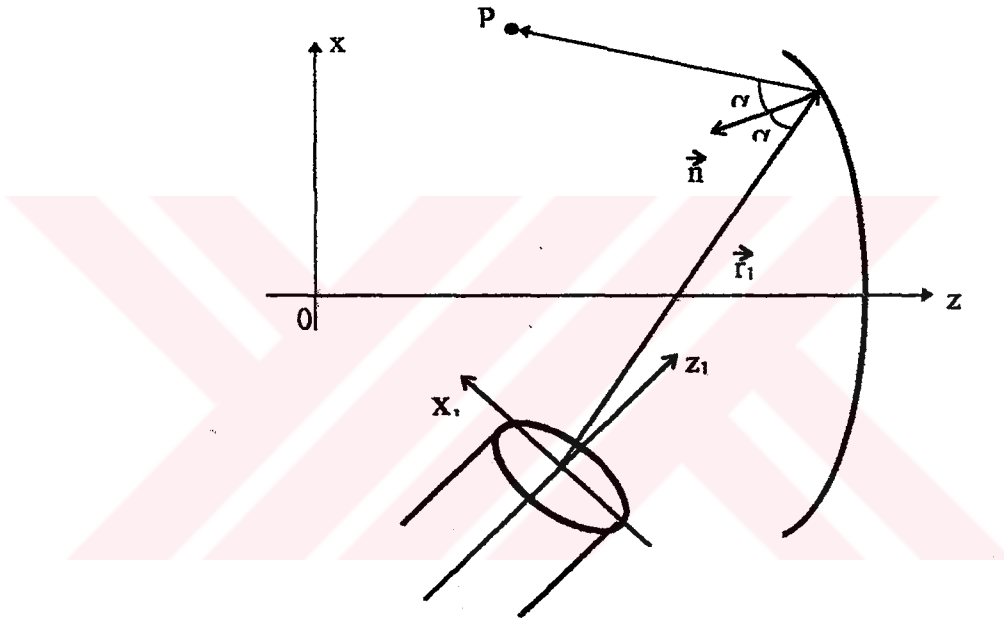
denklemleri ile verilebilir.

## 2. ODAK DIŞI BESLEMELİ İÇBÜKEY DÖNEL PARABOLOİDAL YÜZEYDEN YANSIMA

Dönel paraboloidal reflektör antenler, paraboloidin odağının dışına konulmuş transmisyon borusu ile beslenebilir. Bu durumda iki ayrı koordinat sistemi tanımlanabilir. Birinci sistem parabolün odağı, ikincisi ise transmisyon borusunun bulunduğu noktadadır. Işıma integralini hesaplayabilmek için bu iki sistemden birini tercih etmek gerekir. Bu tercihte önemli olan, işlem basitliğini sağlayacak olan koordinat sisteminin seçilmesidir. Koordinat dönüşümü yapılırken, Birinci Bölüm'de kullanılan Poisson İntegral Dönüşümü'nden yararlanılabilir. Bu dönüşüm faz terimine uygulanacaktır. Paraboloidal reflektörden yansıyan alan ise fiziksel optik yaklaşıklığı kullanılarak, yüzey akımı dağılımı yöntemi ile hesaplanabilir. Sonuçta elde edilecek olan alanın, reflektörün odak eksenini dışında olması, geometrik optiğin ışın yolunu veren sonuç ile aynı olması gerekmektedir.

## 2.1 Odak Dışı Beslemeli Reflektör Anten Sisteminde Koordinat Sistemlerinin Belirlenmesi

Besleme olarak kullanılan dairesel kesitli transmisyon borusu dönele paraboloidal reflektörün odağının dışına çıkartıldığı zaman, iki ayrı koordinat sisteminin tanımlanması gerekmektedir. Birinci sistem paraboloidin odak noktası, ikincisi ise transmisyon borusunun açık ağzının bulunduğu noktadır. Bu koordinat sistemlerinden birincisinde paraboloidal yüzeyin denklemi, ikincisinde ise, transmisyon borusundan ışyan alanın ifadesi tanımlıdır. Işıma integralinin hesaplanabilmesi için, bu iki koordinat sisteminin aynı cinsten ifade edilebilmeleri gereklidir.



Şekil 2.1 Odak dışı beslemeli paraboloidal reflektör

Paraboloidal reflektör dönele olduğundan  $(x,y)$  düzleminde  $\phi$ 'ye göre simetrisi vardır. Transmisyon borusunun açık ağzı döndürülüp, ötelendiği zaman elde edilen denklemler, aynı boru tek düzlemde döndürülüp ötelendiği zaman bulunan eşitliklerin bir genel hali olacaktır. Bu sebeple  $\phi = \frac{\pi}{2}$  düzleminde çalışmak, denklemlerin basitliği için kafi gelmektedir.  $\theta$  koordinatı  $\theta_0$  kadar döndürülmüş ve  $r'$ 'de  $r_0$  kadar ötelenmiştir.

Koordinat dönüşümleri yapılırken, gözönünde bulundurulması gereken en önemli nokta,  $\phi$ 'ye göre simetrisinin korunmasıdır. Bir koordinat sistemi, diğeri cinsinde tanımlanırken

$$x = r \sin \theta \cos \phi$$

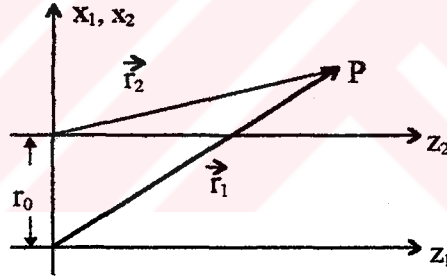
$$y = r \sin \theta \sin \phi$$

$$z = r \cos \theta$$

denklemleri kullanılabilir.

### 2.1.1 Transmisyon Borusunun Döndürülmesi ve Ötelenmesi

Öteleme hareketinin amacı, transmisyon borusunun bulunduğu  $(x_1, y_1, z_1)$  koordinat sisteminin, odakta bulunan döndürülmüş sistem cinsinden tanımlanabilmesidir. Bir başka deyişle, transmisyon borusunun açık ağzı, paraboloidal reflektörün odağına getirilmektedir.

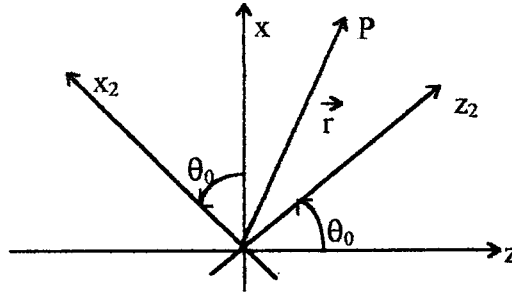


Şekil 2.2 x ekseninde öteleme hareketi

Şekil 2.2'deki geometri kullanılarak,

$$x_2 = x_1 - r_0, \quad z_2 = z_1$$

yazılabilir. Öteleme  $\phi = 0$  düzleminde yapıldığından, y bileşeni sabit kalmıştır. Ötelenerek, paraboloidal reflektörün odağına getirilen transmisyon borusunun koordinat sistemi odak eksenine ile çakışması için döndürülmelidir.  $\phi = 0$  düzleminde çalışıldığı için dönme  $\theta$  açısında olur.



Şekil 2.3 Düzlemde dönme geometrisi

Şekil 2.3'teki geometri kullanılarak,

$$x_2 = x \cos \theta_0 - z \sin \theta_0$$

$$z_2 = x \sin \theta_0 + z \cos \theta_0 \quad 2.1$$

denklemleri yazılabilir. 1.2 ifadelerinin bu denklemlerde yerine konması ile

$$x_1 = x \cos \theta_0 - z \sin \theta_0 + r_0$$

$$z_1 = x \sin \theta_0 + z \cos \theta_0 \quad 2.2$$

eşitlikleri bulunabilir. 1.1 dönüşüm formülleri, 1.3 ifadelerinde  $r \gg r_0$  için kullanılırsa

$$\sin \theta_1 = \lim_{r \rightarrow \infty} \frac{r \sin(\theta - \theta_0) + r_0}{\sqrt{r^2 + r_0^2 + 2r r_0 \sin(\theta - \theta_0)}} = \sin(\theta - \theta_0)$$

$$\cos \theta_1 = \lim_{r \rightarrow \infty} \frac{r \cos(\theta - \theta_0)}{\sqrt{r^2 + r_0^2 + 2r r_0 \sin(\theta - \theta_0)}} = \cos(\theta - \theta_0) \quad 2.3$$

denklemleri bulunabilir. Birim vektörler, Birinci Bölüm'deki yol ile hesaplanabilir.

$\phi = 0$  düzleminde çalışıldığı için, manyetik alanın sadece  $\theta_1$  bileşeni olacaktır.  $\phi_1$  bileşeni ise  $\sin \phi_1$ , terimi nedeniyle sıfırdır. Böylece

$$\vec{H} = \frac{e^{-jkr}}{r} e^{jkr_0 \sin(\theta - \theta_0)} \frac{J_1' [ka \sin(\theta - \theta_0)]}{\left[ (1,84)^2 - (ka \sin(\theta - \theta_0))^2 \right]} \left[ \beta + k \cos(\theta - \theta_0) \right] (\cos \theta \vec{e}_x - \sin \theta \vec{e}_z) \quad 2.4$$

ifadesi yazılabilir.



## 2.2 Yüzey Akımı Dağılımı Yöntemi ile Paraboloidal Yüzeyden Yansıyan Alanın Hesaplanması

Mükemmel iletken bir yüzeyin üzerindeki sınır koşullarından, bu yüzeyden akacak olan akım yoğunluğu

$$\vec{J}_s = 2 (\vec{n} \times \vec{H})|_s$$

şeklinde gelen manyetik alana bağlı olarak bulunabilir. Bu akım yoğunluğu kaynak olarak düşünülebilir. Böylece bu yüzeyden bir ışın olacaktır. Işıma ait alanın elektrik Hertz vektörünün integral ifadesi

$$\vec{\Pi}_e \sim \frac{1}{2\pi j \omega \epsilon} \iint_{s'} (\vec{n} \times \vec{H}_1)|_{s'} \frac{e^{-jkR}}{R} dS' \quad 2.5$$

ile verilebilir. Burada uzak alan için genlikte  $R \sim r$  ve fazda  $R \sim r - r' \cos \psi$  olarak yazılabilir.  $\cos \psi$ ,  $r$  ve  $r'$ 'nin birim vektörlerinin arasındaki açıdır ve  $\cos \psi = \vec{e}_r \cdot \vec{e}_{r'}$

ile hesaplanabilir.  $\vec{n}$  yüzeyin birim dik vektördür ve döne paraboloidal yüzeyin küresel koordinatlardaki ifadesi

$$r = \frac{2f}{1 + \cos \theta}$$

ile verilebilir. Yüzeye dik normal vektör  $\vec{N} = \nabla \cdot (r + r \cos \theta - 2f)$  şeklinde hesaplanabilir. Böylece paraboloidal yüzeyin birim dik vektörü

$$\vec{n} = \frac{\vec{N}}{\|\vec{N}\|} = -\frac{\sin \theta \vec{e}_x + (1 + \cos \theta) \vec{e}_z}{\sqrt{1 + \cos \theta}}$$

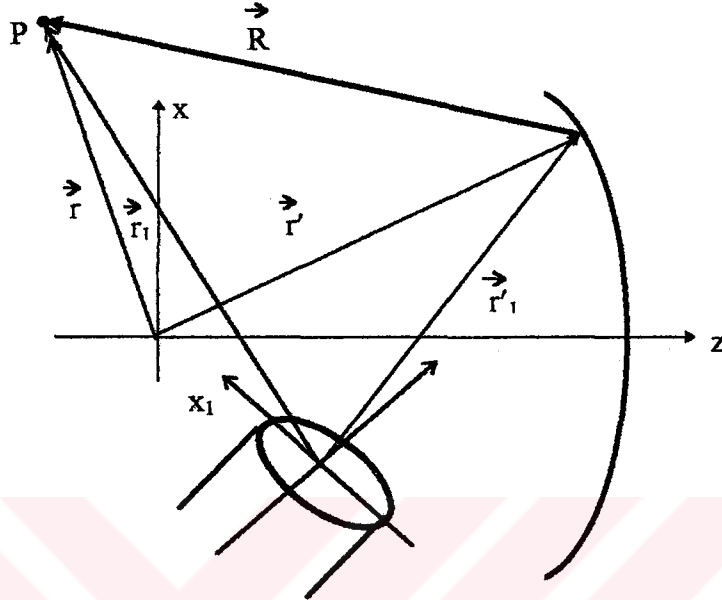
ile ifade edilebilir. Birim vektör 1.5 ifadesi ile verilen, manyetik alan ile vektörel olarak çarpılırsa

$$\vec{n} \times \vec{H} = \frac{e^{-jkr'}}{r'} e^{jk r_0 \sin(\theta - \theta_0)} \frac{J_1'(u)}{[(1,84)^2 - u^2]} [\beta + k \cos(\theta - \theta_0)] \frac{[r' (1 + \cos \theta) + r_0 (\sin(\theta - \theta_0) - \sin \theta)]}{\sqrt{r'^2 + r_0^2 + 2r r_0 \sin(\theta - \theta_0)} \sqrt{1 + \cos \theta}} \vec{e}_y$$

olarak bulunabilir. Yüzey elemanı şekil 2.4'den

$$dS' = \frac{dx'dy'}{\vec{n} \cdot \vec{e}_z} = \rho' \frac{d\rho'd\phi'}{\vec{n} \cdot \vec{e}_z}$$

şeklinde yazılabilir. Dönel paraboloidal yüzey  $(x,y)$  düzlemine izdüşürülmüş, böylece yüzey elemanı bilinen parametreler cinsinden yazılabilmektedir.



Şekil 2.4 Paraboloidal reflektörün uzak alan geometrisi

$\rho'$  ve  $r'$  arasında

$$\rho' = r' \sin \theta'$$

gibi bir bağıntı vardır.  $r'$  yerine dönel paraboloidal reflektörün denklemi konulabilir. Çünkü elektrik Hertz vektörünün integral ifadesine kaynak bölgesi, paraboloidal yüzeydir. Böylece yüzey elemanı

$$dS' = \frac{(2f)^2}{(1 + \cos \theta')^{5/2}} \cdot d\theta' d\phi'$$

olarak bulunabilir.  $\cos \psi$  açısı ise

$$\vec{e}_r \cdot \vec{e}_{r'} = \sin \theta \sin \theta' \cos(\phi - \phi') + \cos \theta \cos \theta'$$

şeklinde yazılabilir. Bütün bu ifadeler elektrik Hertz vektörünün integral ifadesine taşınırsa  $u = ka \sin(\theta' - \theta_0)$  için

$$\bar{\Pi}_e \sim \frac{1}{2\pi j \omega \epsilon} \frac{e^{-jkr}}{r} \bar{e}_y \int_{\theta'=0}^{\theta_0} \int_{\phi'=0}^{2\pi} \delta(\phi') \frac{J_1'(u)}{[(1,84)^2 - u^2]} \left[ \beta + k \cos(\theta' - \theta_0) \right] \left\{ 2f + r_0 [\sin(\theta' - \theta_0) - \sin\theta_0] \right\} \\ \frac{\sin\theta'}{(1 + \cos\theta')} \frac{e^{jk \frac{2f}{1 + \cos\theta'} (\sin\theta \sin\theta' \cos(\phi - \phi') + \cos\theta \cos\theta' - 1)}}{\sqrt{4f^2 + r_0^2 (1 + \cos\theta')^2 + 4fr_0 \sin(\theta' - \theta_0) (1 + \cos\theta')}} e^{jkr_0 \sin(\theta' - \theta_0)} d\theta' d\phi' \quad 2.6$$

elde edilebilir.  $\phi = 0$  düzleminde ifade edildiği için,  $\phi$  yerine sıfır konulmalıdır. İntegralin  $\phi'$  katı için de, Delta Dirac distribüsyonu kullanılmıştır. Böylece, ışınma integrali sadece  $\theta'$ 'ne bağlı olur. Küresel koordinatların kartezyen koordinatlar cinsinden ifade edilmesiyle elde edilen

$$\Pi_{e\theta} = \Pi_{ey} \cos\theta \sin\phi$$

$$\Pi_{e\phi} = \Pi_{ey} \cos\phi$$

eşitliklerinden görülebileceği üzere elektrik Hertz vektörünün  $\phi = 0$  düzleminde sadece  $\phi$  bileşeni vardır. Böylece

$$E_\theta = k^2 \Pi_{e\theta}$$

özdeşliğinden de elektrik alan hesaplanabilir.

Elektrik Hertz vektörünün MATLAB simülasyon programında yazılabilmesi için 'for' döngüsü kurulmalıdır. Ayrıca integral, birinci bölümdeki gibi seri şeklinde açılabilir.

Burada  $\frac{b-a}{N}$  ifadesi  $\frac{\theta_0}{N}$  olarak yazılabilir.

$$t=0:.01:2.*pi;$$

$$N=1000;$$

$$\text{sum} = 0;$$

$$\text{for } n=1:N;$$

$$a = n.*\theta_0./N;$$

```

b = besselj(0,abs(3.*pi.*sin(a - theta_0))) - besselj(1,abs(3.*pi.*sin(a - theta_0)) /
(3.*pi.*sin(a - theta_0)));

c = (1,84.^2) - (3.*pi.*sin(a - theta_0).^2);

m = sqrt(4.(f^2)+(r.*(1+cos(a)).^2)+4.*f.*r.*sin(a - theta_0).*(1+cos(a)));

d = .98+2.*f.*cos(a - theta_0)./m;

e = exp(j.*k.*(2.*f.*(cos(t-a)-1)/(1+cos(a))+ r_0.*sin(a-theta_0)));

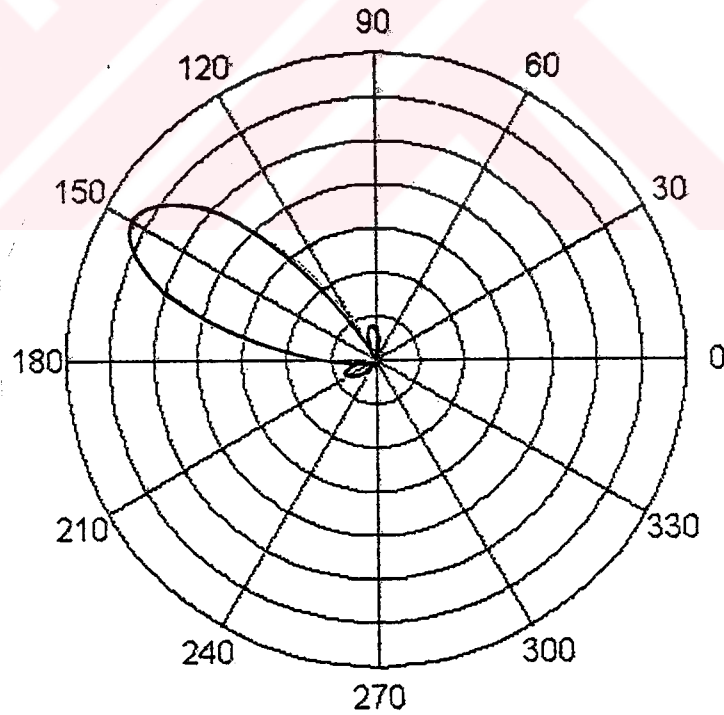
f = b.*d.*sin(a).*e.*(sin(a-theta_0)-sin(theta_0))/((1+cos(a)).*c);

sum = sum + f;

end;

polar(t,abs(sum));

```



Şekil 2.5 Polar ışıma diagramı

### 3. ODAK DIŐI BESLEMELİ İÇBÜKEY DÖNEL PARABOLOİDAL YÜZEYDE KÖŐE KIRINIMLARI

Üçüncü Bölüm'de odak dışına çıkartılmış dairesel kesitli transmisyon borusunun açık ağız ile beslenen içbükey döne paraboloidal yüzeyden yansıyan alan yüzey akımı dağılımı yöntemi ile hesap edilmiştir. Paraboloidal yüzeyin açıklığını belirleyen  $\theta_0$  açısı keyfi alınmış, burada oluşacak olan köőe kırınimleri gözönüne alınmamıştır. Fakat gerçekte, tam  $\theta_0$  koordinatlı köőe noktasına gelen ışın, burada bir köőe kırınımına sebep olur ve parabolden yansıyan alanın değerlendirilmesi yapılırken, bu noktadaki köőe kırınımında hesaba katılması gereklidir. Böylece anten tasarımı yapılırken, besleme seçiminde ve reflektörün hangi noktalardan kesileceği hesaplanırken, optimum bir sonuç elde edebilmek için bu noktalardan yararlanılabilir.

Köőe kırınımı Dördüncü Bölüm'deki gibi hesaplanabilir.  $\theta_0$  noktasına gelen ışın kaynak alanından yararlanılarak bulunabilir. Burada yine faz terimi hesap edilirken Poisson integral dönüşümü kullanılabilir. Daha sonra, aynı şekilde odak koordinatı, kırınım noktasındaki koordinat sistemine dönüőtürölür, kırınım noktası ve paraboloidal yüzey yarı sonsuz düzlem gibi düşünölerek, Wiener-Hopf tekniğı ile kırınan alan hesaplanabilir.

#### 3.1 Paraboloidal Reflektörde Köőe Kırınımı

Üçüncü Bölüm'de odak dışına çıkartılmış transmisyon borusundan ışıyan magnetik alan bileşeninin, paraboloidal reflektörün odağındaki koordinat sistemine göre ifadesi aőağıdaki şekilde bulunmuőtur.

$\phi = 0$  düzleminde  $TE_{11}$  modunda uyarılmış bir dairesel kesitli transmisyon borusundan ışıyan magnetik alan

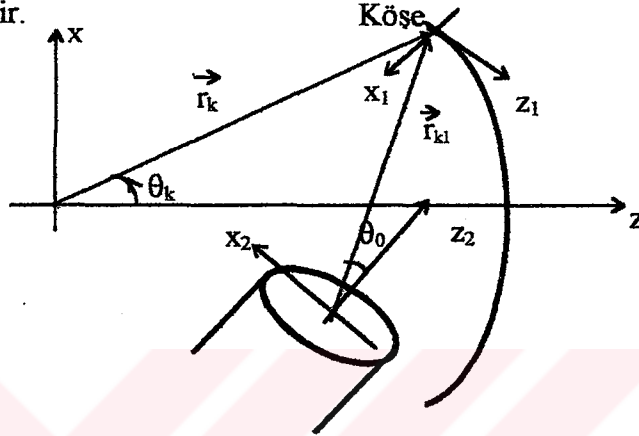
$$\vec{H} = \frac{e^{-jkr}}{r} e^{jkr_0 \sin(\theta - \theta_0)} \frac{J_1'(u)}{[(1,84)^2 - u^2]} \left( \beta + \frac{r \cos(\theta - \theta_0)}{\sqrt{r^2 + r_0^2 + 2r r_0 \sin(\theta - \theta_0)}} \right)$$

$$\frac{[(r \cos \theta + r_0 \sin \theta_0) \vec{e}_x - (r \sin \theta + r_0 \cos \theta_0) \vec{e}_z]}{\sqrt{r^2 + r_0^2 + 2r r_0 \sin(\theta - \theta_0)}} \quad 3.1$$

ve

$$u = \frac{ka(r \sin \theta + r_0)}{\sqrt{r^2 + r_0^2 + 2r r_0 \sin(\theta - \theta_0)}}$$

şeklinde yazılabilir. Kırınımın olduğu köşeye gelen ışını bulmak için, bu köşenin koordinatları 1.1 ifadesinde yerine konur. Paraboloidalin denkleminde de,  $r_k = r_k(\theta_0)$  şeklinde yazılabilir.



Şekil 3.1 Köşe Kırınımında kullanılan koordinat sistemleri

Genlikte  $r = r_k$  ve fazda  $\sqrt{r_1^2 + r_k^2 - 2r_1 r_k \cos \psi}$  yazılabilir. 3.1 ile verilen elektrik alan bileşenindeki küresel dalga faktörü

$$\frac{e^{-jkr}}{r} = \frac{e^{-jk\sqrt{r_1^2 + r_k^2 - 2r_1 r_k \cos \psi}}}{\sqrt{r_1^2 + r_k^2 - 2r_1 r_k \cos \psi}} = -j \sum_{n=-\infty}^{\infty} (2n+1) j_n(kr_1) h_n^{(2)}(kr_k) P_n(\cos \psi)$$

yazılabilir. Küresel Bessel ve Hankel fonksiyonları, Hankel ve Bessel fonksiyonları cinsinden ifade edilebilir. Bessel fonksiyonu yerine yaklaşık olarak birinci nevi Hankel fonksiyonu yazılabilir. Böylece küresel koordinatlar sisteminde Poisson İntegral Dönüşümü, Hankel fonksiyonlarının Debye asimptotik açılımı kullanılarak

$$\frac{e^{-jkr}}{r} = \sqrt{\frac{2}{\pi}} \sum_{n=-\infty}^{\infty} \int_C u \frac{e^{j \left[ \left[ (kr_1)^2 - u^2 \right]^{1/2} - u \cos^{-1} \left( \frac{u}{kr_1} \right) - \left[ (kr_k)^2 - u^2 \right]^{1/2} + u \cos^{-1} \left( \frac{u}{kr_k} \right) - u \psi - \frac{\pi}{4} \right]}}{\sqrt{u \sin \psi} \left[ (kr_1)^2 - u^2 \right]^{1/4} \left[ (kr_k)^2 - u^2 \right]^{1/4}} du \quad 3.2$$

şeklinde ifade edilebilir. Birinci bölümün üçüncü kısmında 3.13 ile verilen faz fonksiyonunun birinci türevi alınarak elde edilen

$$v_s = kr_1 \sin(\alpha - \beta) = kr_0 \sin(\alpha - \beta_0)$$

dönüşümleri ile 3.2 integrali

$$G(\alpha) = \sqrt{\frac{\pi}{2}} \sqrt{\frac{kr_k \sin(\alpha - \beta_0)}{\sin(\beta_0 - \beta)}} e^{-jk(z_k \cos \alpha + y_k \sin \alpha)}$$

olmak üzere

$$\frac{e^{-jkr}}{r} \sim \int_{-\infty}^{\infty} G(\alpha) e^{jk(z_1 \cos \alpha + y_1 \sin \alpha)} d\alpha \quad 3.3$$

şeklinde ifade edilebilir (Ek 2). Böylece 3.1 ile verilen magnetik alan bileşeni küresel dalgaların spektrum integrali olarak

$$\begin{aligned} \vec{H} = e^{jkr_0 \sin(\theta_1 - \theta_0)} \frac{J_1'(u)}{[(1,84)^2 - u^2]} \left[ \beta + \frac{r_k \cos(\theta_k - \theta_0)}{\sqrt{r_k^2 + r_0^2 + 2r_k r_0 \sin(\theta_k - \theta_0)}} \right] \\ \frac{[r_k \sin(\theta_k + \theta_{01}) + r_0 \cos(\theta_0 - \theta_{01})] \vec{e}_{x_1} + [r_k \cos(\theta_k + \theta_{01}) + r_0 \sin(\theta_0 - \theta_{01})] \vec{e}_{z_1}}{\sqrt{r_k^2 + r_0^2 + 2r_k r_0 \sin(\theta_k - \theta_0)}} \quad 3.4 \\ \int_{-\infty}^{\infty} G(\alpha) e^{jk(z_1 \cos \alpha + y_1 \sin \alpha)} d\alpha \end{aligned}$$

şeklinde ifade edilebilir. Burada

$$u = \frac{r_k \sin(\theta_k - \theta_0) + r_0}{\sqrt{r_k^2 + r_0^2 + 2r_k r_0 \sin(\theta_k - \theta_0)}}$$

ile verilebilir. Maxwell-Ampere aksiyom denkleminde elektrik alan

$$L_{oy} = e^{jkr_0 \sin(\theta_1 - \theta_0)} \frac{J_1'(u)}{[(1,84)^2 - u^2]} \left[ \beta + \frac{r_k \cos(\theta_k - \theta_0)}{\sqrt{r_k^2 + r_0^2 + 2r_k r_0 \sin(\theta_k - \theta_0)}} \right]$$

olmak üzere

$$\vec{E}_0 = \vec{e}_y L_{0y} \int_{-\infty}^{\infty} G(\alpha) \left[ r_k \cos(\theta_k + \theta_{01} - \alpha) + r_0 \sin(\theta_k - \theta_{01} + \alpha) \right] e^{jk(z_1 \cos \alpha + y_1 \sin \alpha)} d\alpha \quad 3.5$$

yazılabilir.

Sonsuz yarıdüzlem için sınır koşulları

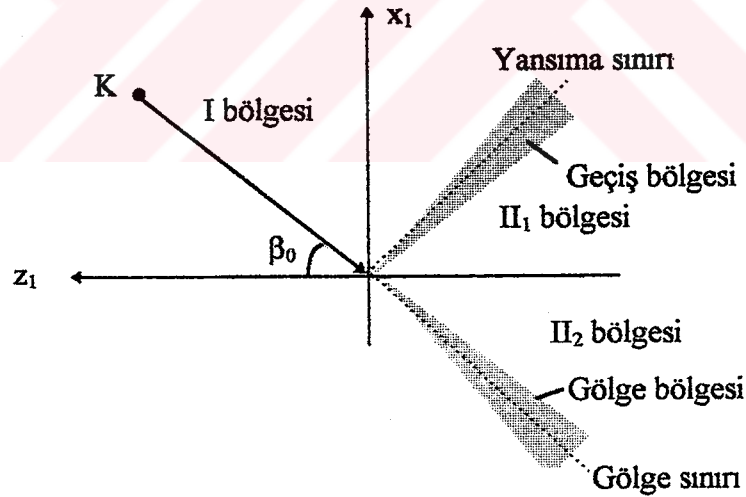
$$v(+0, z_1) - v(-0, z_1) = 0 \quad z_1 \in (-\infty, +\infty)$$

$$v(0, z_1) + v_i(0, z_1) = 0 \quad z_1 \in (0, \infty) \quad 3.6$$

$$\frac{1}{jkZ_0} \left[ \frac{\partial v(+0, z_1)}{\partial x_1} - \frac{\partial v(-0, z_1)}{\partial x_1} \right] = \begin{cases} 0, & z_1 < 0 \\ J'_{r_1}, & z_1 > 0 \end{cases}$$

$$v(0, z_1) = 0 \quad z \rightarrow \infty$$

şeklinde yazılabilir.



Şekil 3.3 Köşe kırınımında bölgeler

$0 < \beta < \pi - \beta_0$  bölgesinde

$$v(r_1, \beta) = -e^{jk r_1 \cos(\beta + \beta_0)} + D(\beta) \frac{e^{-jk r_1}}{\sqrt{r_1}} L_{0y}$$



$\pi - \beta_0 < \beta < \pi + \beta_0$  bölgesinde

$$v(r, \beta) = D(\beta) \frac{e^{-jk_1 r_1}}{\sqrt{r_1}} L_{0y}$$

$\pi + \beta_0 < \beta < 2\pi$  bölgesinde ise;

$$v(r_1, \beta) = +e^{jk_1 r_1 \cos(\beta + \beta_0)} + D(\beta) \frac{e^{-jk_1 r_1}}{\sqrt{r_1}} L_{0y}$$

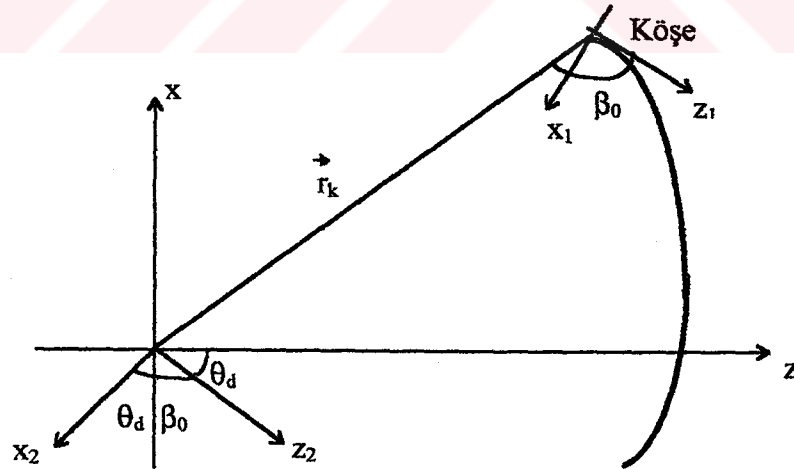
olarak bulunabilir. Burada

$$D(\beta) = \frac{e^{-j\frac{\pi}{4}} \sqrt{1 - \cos \beta_0} \sqrt{1 - \cos \beta}}{\sqrt{2\pi} (\cos \beta_0 + \cos \beta)}$$

olarak verilebilir. Gerekli trigonometrik dönüşümler yapılırsa kırınım katsayısı

$$D(\beta) = \frac{e^{-j\frac{\pi}{4}}}{\sqrt{2\pi}} \left[ \frac{1}{\cos\left(\frac{\beta + \beta_0}{2}\right)} + \frac{1}{\cos\left(\frac{\beta - \beta_0}{2}\right)} \right] \quad 3.7$$

olarak bulunabilir.

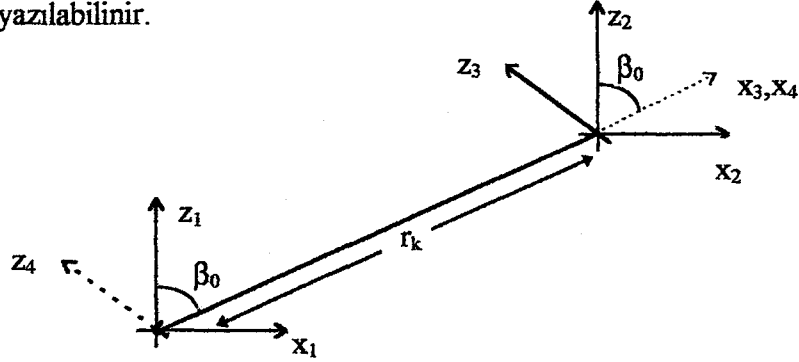


Şekil 3.4 Paraboloidalın köşe kırınımı geometrisi

Şekil 3.4 deki geometriden

$$\begin{aligned}x_2 &= -x \cdot \cos \theta_d - z \cdot \sin \theta_d \\z_2 &= -x \cdot \sin \theta_d + z \cdot \cos \theta_d\end{aligned}\quad 3.8$$

ifadeleri yazılabilir.



Şekil 3.5 Eksenlerin Öteleme geometrisi

$(x_1, z_1)$  ve  $(x_4, z_4)$  koordinat sistemleri arasında

$$\begin{aligned}x_4 &= x_1 \cdot \sin \beta_0 + z_1 \cdot \cos \beta_0 \\z_4 &= -x_1 \cdot \cos \beta_0 + z_1 \cdot \sin \beta_0\end{aligned}\quad 3.9$$

bağıntıları vardır.  $(x_3, z_3)$  ve  $(x_2, z_2)$  arasında

$$\begin{aligned}x_2 &= x_3 \cdot \sin \beta_0 - z_3 \cdot \cos \beta_0 \\z_2 &= x_3 \cdot \cos \beta_0 + z_3 \cdot \sin \beta_0\end{aligned}\quad 3.9$$

bağıntıları vardır.  $(x_3, z_3)$  ve  $(x_4, z_4)$  arasında

$$\begin{aligned}x_3 &= x_4 - r_0 \\z_3 &= z_4\end{aligned}\quad 3.10$$

eşitlikleri ifade edilebilir. 3.10 ve 3.8 denklemleri birleştirilirse

$$\begin{aligned}x_3 &= x_1 \sin \beta_0 + z_1 \cos \beta_0 - r_0 \\z_3 &= -x_1 \cos \beta_0 + z_1 \sin \beta_0\end{aligned}$$

ifadeleri elde edilebilir. Bu ifadeler 3.9'da yerine konursa

$$\begin{aligned}x_2 &= x_1 - r_0 \sin \beta_0 \\z_2 &= z_1 - r_0 \cos \beta_0\end{aligned}$$

denklemleri bulunabilir. Bu denklemler 3.7 ile birleştirilirse

$$\begin{aligned}x_1 &= -x \cos \theta_d - z \sin \theta_d + r_0 \sin \beta_0 \\z_1 &= -x \sin \theta_d + z \cos \theta_d + r_0 \cos \beta_0\end{aligned} \quad 3.11$$

eşitlikleri bulunabilir. Küresel koordinatlara geçilirse

$$\begin{aligned}r_1 \sin \beta &= -r \sin(\theta + \theta_d) + r_0 \sin \beta_0 \\r_1 \cos \beta &= r \cos(\theta + \theta_d) + r_0 \cos \beta_0\end{aligned} \quad 3.12$$

ifadeleri yazılabilir.  $\beta$  açısı bu iki denklemi birbirine bölünmesi ile

$$\beta = \text{Arctg} \left( \frac{-r \sin(\theta + \theta_d) + r_0 \sin \beta_0}{r \cos(\theta + \theta_d) + r_0 \cos \beta_0} \right)$$

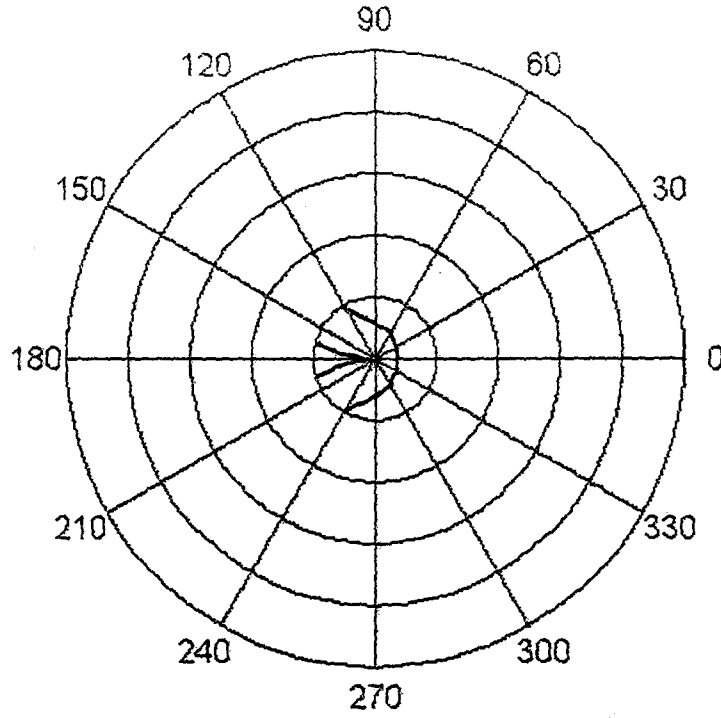
şeklinde elde edilebilir. Bu ifade difraksiyon katsayısında yerine konursa Uzak alanda,  $\beta \sim -(\theta + \theta_d)$  yaklaşıklığı ile kırınım katsayısı

$$D(\theta) \sim \frac{e^{-j\frac{\pi}{4}}}{\sqrt{2\pi}} \left[ \frac{1}{\cos\left(\frac{\theta + \theta_d - \beta_0}{2}\right)} + \frac{1}{\cos\left(\frac{\theta + \theta_d + \beta_0}{2}\right)} \right] \quad 3.13$$

şeklinde ifade edilebilir. Bu ifade MATLAB simülasyon programında çizdirilmek için normalize edilebilir. Böylece program

```
t = 0:.01:2.*pi;
a = cos((t+theta_d-beta_0)./2);
b = cos((t+theta_d+beta_0)./2);
polar(t,abs((1./a)+(1./b)));
```

şeklinde yazılabilir.



Şekil 3.6 Polar ışınım diagramı

Kırınım katsayısının, yansıma ve gölge sınırlarında da geçerli olan bir ifadesi

$$D(r, \theta) = F \left[ \sqrt{2kr} \cos \left( \frac{-\theta - \theta_d - \beta_0}{2} \right) \right] + \text{sgn} \left[ \cos \left( \frac{-\theta - \theta_d + \beta_0}{2} \right) \right] F \left[ \sqrt{2kr} \cos \left( \frac{-\theta - \theta_d + \beta_0}{2} \right) \right]$$

ile verilebilir.

#### 4. SONUÇLAR

TE<sub>11</sub> modunda uyarılmış dairesel kesitli transmisyon borusu odakta döndürüldüğü ve odak dışına çıkarıldığı zaman polar ışınım diagramı şeklini muhafaza etmektedir. Ötelemenin etkisi, uzak alan için elektrik ve manyetik alan ifadelerinin genliklerinde ihmal edilebilmekte,  $\frac{e^{-jkr}}{R}$  teriminde ise Poisson İntegral Dönüşümü sebebi ile görülmektedir.

Odak dışı beslemeli paraboloidal reflektörden yansıyan alanın polar ışınım diagramı, başta haiz olduğu şekli korumakta fakat yansıma teoremine göre yönü değişmektedir.

Köşe kırınımını sonucu oluşan alanın polar ışınım diagramı çizdirilebilmekte, yansıyan dalgaya etkisi gözlenebilmektedir.

## ÜÇÜNCÜ BÖLÜM

### CASSEGRAİN BESLEMELİ DÖNEL PARABOLOİDAL ANTEN

Cassegrain beslemeli antenlerde iki reflektör kullanılmaktadır. Alt reflektör dışbükey dönel hiperboloidal yüzey, ana reflektör ise içbükey dönel paraboloidal yüzey olarak alınmaktadır. Kaynak ise paraboloidal yüzey ile aynı yere yerleştirilmiştir. Böylece kaynaktan ışılan alan hiperboloidal yüzeyden yansımaktadır. İkinci yansıma ise paraboloidal yüzeyden olmaktadır.

Hiperboloidal yüzeyden yansıyan alanı bulmak için yüzey akımı dağılımı yöntemi kullanılmıştır. Kaynak koordinat sistemi hiperbolün ikinci odağına getirilmiş ve z ekseninde sağa kaydırılmıştır. Genlik teriminde koordinat dönüşümü yapılmıştır. Faz terimine ise Poisson İntegral Dönüşümü uygulanmıştır. Böylece faz terimi ifadesi hiperbolün ikinci odağındaki koordinat sistemi cinsinden ifade edilebilmiştir. Bu nokta aynı zamanda ana reflektöründe odak noktasıdır.

Paraboloidal reflektörden yansıyan alan bulunurken iki ayrı metod kullanılmıştır. Birinci metod yüzey akımı dağılımı yöntemidir. Buna göre hiperboloidal yüzeyden yansıyan alan, paraboloidal yüzey üzerinde bir yüzey akımı oluşturmaktadır. Bu yüzeysel akım yoğunluğu yüzeye gelen magnetik alanın ve yüzeyin birim dik vektörünün, vektörel çarpımı ile bulunabilir. Yüzeysel akım yoğunluğunun dönel paraboloidal yüzey üzerinden integrali alınarak elektrik Hertz vektörü hesaplanmaktadır.

İkinci metod açıklık yöntemidir. Bu metoda göre, paraboloidal yüzeyin odağındaki dairesel açıklıktaki alanlar, kaynak alanından faydalanılarak bulunabilir. Reflektörden ışılan uzak alan, magnetik ve elektrik Hertz vektörünün integral ifadelerinde, açıklık alanları kullanılarak bulunabilir.

Köşe kırınımları sadece hiperboloidal yüzey için hesaplanmış, ana reflektördekiler ihmal edilmiştir. Hiperboloidal yüzeyin köşesine gelen ışın kaynak alanı cinsinden ifade edilmiştir. Köşe yarı sonsuz düzlemmiş gibi düşünülmüş ve buradaki mükemmel iletken yüzey için sınır koşulları çıkarılmıştır. Helmholtz denklemlerinin bu sınır koşullarından faydalanılarak integral çözümü yapılmıştır. Bu amaçla Weiner-Hopf tekniği kullanılmıştır. Hiperboloidal yüzeyin köşesi üç bölgeye ayrılmış ve alan ifadesi bu üç bölge için ayrı ayrı yazılmıştır. Difraksiyon katsayısı bilgisayar ile program yazılımı yapılarak polar kordinatlarda çizdirilmiştir.

## 1. ODAKTAN BESLEMELİ DIŞBÜKEY HİPERBOLOİDAL YÜZEYDEN YANSIMA

Dışbükey dönel hiperboloidal yüzey, bu yüzeyin odağına yerleştirilmiş bulunan dairesel kesitli transmisyon borusunun açık ağzından ışılan alan ile beslenebilir. Transmisyon borusunun dairesel açıklığının yarıçapı, Birinci Bölüm'de gösterildiği üzere ışılan alanın en optimum biçimi elde edilecek şekilde seçilmektedir. Böylece hiperboloidal yüzeyden yansıyan alanın ışımaya diagramı istenilen biçimde olacaktır. Ayrıca enerji kaybına neden olan yan kulaklardan da kurtulabilecektir.

Dönel dışbükey hiperboloidal reflektörler, genellikle cassegrain beslemeli antenlerde, alt reflektör olarak kullanılırlar. Üst veya ana reflektör ise içbükey dönel paraboloidal yüzey olarak seçilebilir. Alt yansıtıcı olan dönel hiperboloidal reflektör, paraoloidal reflektörün odağına yerleştirilir. Böylece, alt reflektörden yansıyan alan, paraboloidal reflektörün odağına yerleştirilmiş bir kaynaktan yayılan alana eşdeğer olur. Kaynak olarak kullanılan dairesel kesitli transmisyon borusu, hiperboloidal reflektörden iki odak uzaklığına, yani ana reflektörle aynı yere yerleştirilir.

Dairesel kesitli transmisyon borusunun açık ağzından ışılan alan ile beslenen, dönel hiperboloidal yüzeyden yansıyan alanı bulmak için yüzey akım dağılımı yöntemi kullanılmıştır. Faz teriminde sadelik sağlamak amacı ile koordinat eksenini  $z$  üzerinde  $r_0$  kadar sağa kaydırılmış, ayrıca koordinat dönüşümü yapılırken, bu terime Poisson İntegral Dönüşümü uygulanmıştır.

### 1.1 Poisson İntegral Dönüşümü ile Faz Teriminin Hesabı

Dairesel kesitli transmisyon burusunun açık ağzından ışıyan magnetik alan ifadesi,  $u = ka \sin \theta$  olmak üzere;

$$H_{\theta} = \frac{ka^4 e^{-jkr}}{2r} \frac{J_0(1,84)}{[(1,84)^2 - u^2]} \frac{dJ_1(u)}{du} (\beta + k \cos \theta) \cos \phi$$

$$H_{\phi} = -\frac{ka^4}{2(1,84)^2} J_0(1,84) \frac{e^{-jkr}}{r} \frac{J_1(u)}{u} (\beta \cos \theta + k) \sin \phi \quad 1.1$$

şeklindedir. (1.1) denklemleri ile verilen  $\vec{H}$  magnetik alanın faz terimine Poisson İntegral Dönüşümü uygulanacaktır. Bu sebeple koordinat sistemi hiperbolün odağına kaydırılmıştır. Şekil 1.1'deki geometriden;

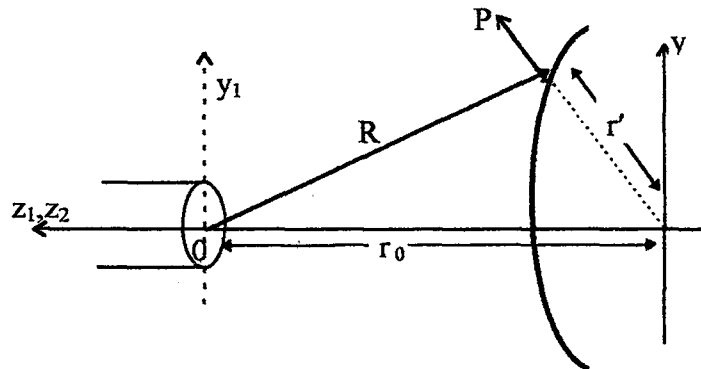
$$f(\theta_1) = \frac{1}{[(1,84)^2 - u_1^2]} \frac{dJ_1(u_1)}{du_1} (\beta + k \cos \theta_1)$$

$$g(\theta_1) = \frac{J_1(u_1) (\beta \cos \theta_1 + k)}{u_1 (1,84)^2}$$

ve  $u_1 = ka \sin \theta_1$ ,  $R = \sqrt{r^2 + r_0^2 + 2r r_0 \cos \theta}$  olmak üzere

$$\vec{H} = \frac{ka^4}{2} J_0(1,84) \frac{e^{-jkr}}{R} \left[ f(\theta_1) \cos \phi_1 \vec{e}_{\theta_1} - g(\theta_1) \sin \phi_1 \vec{e}_{\phi_1} \right]$$

yazılabilir.



Şekil 1.1 Dönel hiperboloidal yüzeyin koordinat sistemi

$r < r_0$  için

$$\frac{e^{-jkR}}{R} = -j \sum_{n=0}^{\infty} (2n+1) J_n(kr') h_n^{(2)}(kr_0) P_n(\cos\theta) \quad 1.2$$

$kr \gg 1$  için

$$J_n(kr') \sim \frac{1}{2} h_n^{(1)}(kr')$$

özdeşlikleri yazılabilir. Bu ifadeler kullanılarak, küresel Bessel fonksiyonları Bessel fonksiyonlarına dönüştürülebilir. Birinci ve ikinci nevi Bessel fonksiyonları yerine 1.3 Debye asimptotik açılımları

$$H_\nu^{(1)}(kr) \sim \sqrt{\frac{2}{\pi}} \frac{e^{j \left[ (kr)^2 - \nu^2 \right]^{1/2} - \nu \cos^{-1} \left( \frac{\nu}{kr} \right) + \frac{\pi}{4}}}{\left[ (kr)^2 - \nu^2 \right]^{1/4}} \quad H_\nu^{(2)}(kr_0) \sim \sqrt{\frac{2}{\pi}} \frac{e^{-j \left[ (kr_0)^2 - \nu^2 \right]^{1/2} - \nu \cos^{-1} \left( \frac{\nu}{kr_0} \right) + \frac{\pi}{4}}}{\left[ (kr_0)^2 - \nu^2 \right]^{1/4}} \quad 1.3$$

yazılabilir.

1.2 seri toplamı ifadesine  $\nu$  kompleks düzleminde Poisson integrali uygulanır ve birinci bölüm birinci kısımdaki 1.3 ifadesi yazılabilir. Bu ifadede  $n=0$  için integral yakınsak olacağından

$$I = \sqrt{\frac{2}{\pi}} \int_{-\infty}^{\infty} \nu \frac{\pi}{4k\sqrt{r}r_0} H_\nu^{(1)}(kr) H_\nu^{(2)}(kr_0) \frac{e^{-j\nu\theta - j\frac{\pi}{4}}}{\sqrt{\nu \sin\theta}} d\nu$$

elde edilebilir. Bu integral stasyonær faz yöntemi ile hesaplanabilir. 1.3 asimptotik açınımları yerine konursa,

$$I = \frac{1}{\sqrt{2\pi k\sqrt{r}r_0}} \int_{-\infty}^{\infty} \nu \frac{e^{j \left[ \left[ (kr')^2 - \nu^2 \right]^{1/2} - \nu \cos^{-1} \left( \frac{\nu}{kr'} \right) - \left[ (kr_0)^2 - \nu^2 \right]^{1/2} + \nu \cos^{-1} \left( \frac{\nu}{kr_0} \right) - \nu\theta - \frac{\pi}{4} \right]}}{\sqrt{\nu \sin\theta} \left[ (kr')^2 - \nu^2 \right]^{1/4} \left[ (kr_0)^2 - \nu^2 \right]^{1/4}} d\nu$$

ifadesi yazılabilir. Bu integralin faz fonksiyonu;



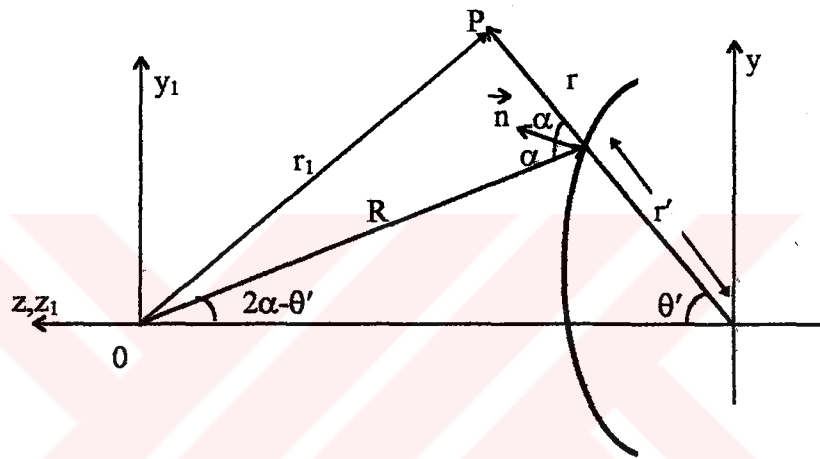
$$\psi(u) = \left[ (kr')^2 - u^2 \right]^{1/2} - u \cos^{-1} \left( \frac{u}{kr'} \right) - \left[ (kr_0)^2 - u^2 \right]^{1/2} + u \cos^{-1} \left( \frac{u}{kr_0} \right) - u\theta - \frac{\pi}{4}$$

şeklindedir. Bu ifadenin  $u$ 'ye göre türevi alınıp, sıfıra eşitlenirse, semer noktası

$$u_s = r' \sin 2\alpha = r_0 \sin(2\alpha - \theta')$$

olarak bulunabilir.

Yukarıdaki ifadede de görülen  $2\alpha$  açısı, hiperboloidal yüzeyden yansıma açısının iki katıdır.



Şekil 1.2 Dönel hiperboloidal reflektörden yansıyan ışın

Faz fonksiyonu Taylor serisine açılıp, ilk üç terimi ile yetinilirse

$$\psi(u) = \psi(u_s) + \frac{1}{2!} \frac{d^2\psi(u)}{du^2} \Big|_{u=u_s} (u - u_s)^2 \quad 1.4$$

ifadesi elde edilebilir.

$\psi(u)$ ' nün  $u$ 'ye göre ikinci dereceden türevi alınıp,  $u$  yerine semer noktasındaki değeri konulursa

$$\frac{d^2\psi}{du^2} \Big|_{u=u_s} = \frac{1}{kr \cos 2\alpha} - \frac{1}{kr_0 \cos(2\alpha - \theta')}$$

ifadesi bulunabilir.  $\psi(u)$ ' nün semer noktasındaki değeri

$$\psi(u_s) = kr \cos 2\alpha - kr_0 \cos(2\alpha - \theta) - \frac{\pi}{4}$$

olarak yazılabilir. Bu ifadeler 1.1' de yerine konursa;

$$\psi(u) \sim kr \cos 2\alpha - kr_0 \cos(2\alpha - \theta) - \frac{\pi}{4} + \frac{1}{2} \left( \frac{1}{kr \cos 2\alpha} - \frac{1}{kr_0 \cos(2\alpha - \theta)} \right) (u - u_s)^2$$

ifadesi elde edilebilir. Faz fonksiyonundan sonra, genlikte de  $u$  yerine semer noktasındaki değeri konup integral birinci bölümdeki gibi

$$I = \frac{e^{jkr \frac{\sin \theta}{\sin(2\alpha - \theta)}}}{kr \sin \theta} \sin(2\alpha - \theta) \quad 1.5$$

şeklinde hesaplanabilir. Dairesel kesitli transmisyon borusunun ağzından ışıyan alanın, hiperbolün odağındaki koordinat sistemine göre yazılmasının sebebi, faz teriminde, dolayısı ile ışınma integralinde basitlik sağlanmasıdır. Poisson integral dönüşümü uygulanırken iki yaklaşıklık yapılmıştır. Birinci yaklaşıklık silindirik Hankel fonksiyonları yerine, asimptotik açılımlarının kullanılması ve ikincisi ise faz fonksiyonunun Taylor serisine açılıp ilk iki terimi ile yetinilmesidir.

## 1.2 Işınma İntegralinin Hesaplanması

Koordinat değişikliği yapıldığı için 1.1 denklemleri ile verilen magnetik alanın  $\theta$  ve  $\phi$ 'ye bağlı terimleri ayrıca birim vektörleri değişecektir. Bu terimleri hiperbolün odağındaki sisteme göre yazabilmek için

$$\sin \theta_1 = \frac{r \sin \theta}{\sqrt{r^2 + r_0^2 + 2r r_0^2 \cos \theta}}$$

$$\cos \theta_1 = \frac{r \cos \theta + r_0}{\sqrt{r^2 + r_0^2 + 2r r_0^2 \cos \theta}}$$

$$\vec{e}_{\theta_1} = \frac{r_0 \sin \theta \vec{e}_r + [r + r_0 \cos \theta] \vec{e}_\theta}{\sqrt{r^2 + r_0^2 + 2r r_0 \cos \theta}}$$

$$\vec{e}_{\phi_1} = \vec{e}_\phi$$

dönüşümleri kullanılabilir. Bu formüllerin ve 1.5 ifadesinin denkleminde yerine konması ile

$$f(r, \theta) = \frac{1}{[(1,84)^2 - u^2]} \frac{dJ_1(u)}{du} \left[ \beta + k \frac{r \cos \theta}{\sqrt{r^2 + r_0^2 + 2r r_0 \cos \theta}} \right]$$

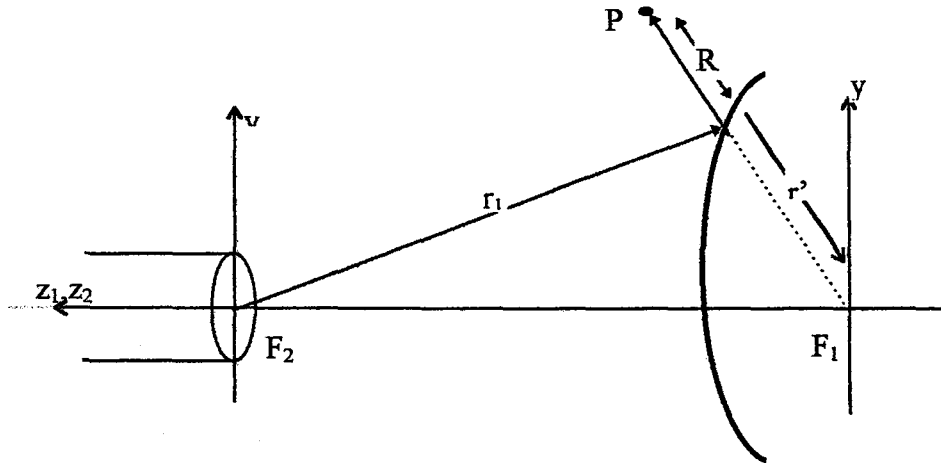
$$g(r, \theta) = \frac{J_1(u)}{u} \frac{\left[ \beta \frac{r \cos \theta}{\sqrt{r^2 + r_0^2 + 2r r_0 \cos \theta}} + k \right]}{(1,84)^2}$$

$$u = ka \frac{r \sin \theta}{\sqrt{r^2 + r_0^2 + 2r r_0 \cos \theta}}$$

olmak üzere;

$$\vec{H} = \frac{ka^4}{2} e^{-jkr} \frac{\sin \theta}{\sin(2\alpha - \theta)} \sin(2\alpha - \theta) J_0(1,84) \left[ f(r, \theta) \cos \phi \frac{r \sin \theta \vec{e}_r + (r + r_0 \cos \theta) \vec{e}_\theta}{\sqrt{r^2 + r_0^2 + 2r r_0 \cos \theta}} - g(r, \theta) \sin \phi \vec{e}_\phi \right] \quad 1.6$$

yazılabilir.



Şekil 1.3 Dönel hiperboloidalden yansıyan alanın geometrisi

Dönel hiperboloidal reflektörden yansıyan alan, 1.6 denkleminin Hertz vektörünün integral ifadesinde yerine konması ile hesaplanabilir. Bu yöntem, yüzey akım dağılımı metodu olarak adlandırılmaktadır. İlgili geometri Şekil 1.3'te verilmiştir. Elektrik Hertz vektörünün integral ifadesi

$$\vec{\Pi}_e = \frac{1}{4\pi j \omega \epsilon} \iint_{S'} 2 \left( \vec{n} \times \vec{H}_1 \right) \Big|_{S'} \frac{e^{-jkR}}{R} dS'$$

şeklinde yazılabilir.

İntegralde görülmekte olan  $\vec{H}_1$ , yüzeye gelen magnetik alanı göstermektedir. Yüzeyin birim vektörü ile çarpılması ise, bu yüzeye teğet olan alanı ifade etmektedir.  $(x, y, z)$  koordinat sisteminden  $z$  eksenini üzerinde  $r_0$  kadar ötelenmiş  $(x_1, y_1, z_1)$  koordinatları cinsinden, hiperboloidal denklemini hesaplayabilmek için  $z$  yerine denkleminde  $z+2f$  konulmalıdır. Böylece

$$\frac{(z+f)^2}{a_1^2} - \frac{x^2 + y^2}{b^2} = 1$$

denklemini yazılabilir.

Buradan kartezyen koordinat sisteminden küresel koordinat sistemine geçilebilir. Elde edilen denklem  $\cos\theta$  'ya göre çözülürse;

$$r = \frac{b^2}{a_1 - f \cos\theta}$$

ifadesi elde edilebilir. Bu denklemden yüzeyin birim vektörünü bulmak için

$$\psi = a_1 r - f r \cos\theta - b^2 \quad \text{ve} \quad \vec{N} = \nabla\psi = \vec{e}_r \frac{\partial\psi}{\partial r} + \vec{e}_\theta \frac{1}{r} \frac{\partial\psi}{\partial\theta}$$

yazılabilir. Buradan da hiperboloidal yüzeyin birim dik vektörü

$$\vec{n} = \frac{\vec{N}}{\|\vec{N}\|} = \frac{\vec{e}_r (a_1 - f \cos\theta) + \vec{e}_\theta f \sin\theta}{(a_1^2 + f^2 - 2af \cos\theta)^{1/2}}$$

olarak bulunabilir. Hertz vektörünün integral ifadesinde bulunan birim vektör ve magnetik alanın vektörel çarpımı

$$\begin{aligned} \vec{n} \times \vec{H}_1 = & \frac{ka^4}{2} e^{-jkr \frac{\sin \theta}{\sin(2\alpha-\theta)}} \frac{\sin(2\alpha-\theta) J_0(1,84)}{(a_1^2 + f^2 - 2af \cos \theta)^{1/2}} (-g(\theta) \sin \phi f \sin \theta \vec{e}_r + (a_1 - f \cos \theta) g(\theta) \sin \phi \vec{e}_\theta \\ & + f(\theta) \cos \phi \left[ \frac{(r + r_0 \cos \theta)(a_1 - f \cos \theta) - rf \cdot \sin^2 \theta}{\sqrt{r^2 + r_0^2 + 2r r_0^2 \cos \theta}} \right] \vec{e}_\phi) \end{aligned} \quad 1.7$$

olarak ifade edilebilir. Hertz vektörünün integral ifadesinde Lorentz koşulunun sağlanabilmesi için, bu çarpımda, küresel koordinatlardan, kartezyen koordinatlara geçilmelidir. Bu amaçla

$$\vec{e}_r = \sin \theta \cos \phi \vec{e}_x + \sin \theta \sin \phi \vec{e}_y + \cos \theta \vec{e}_z$$

$$\vec{e}_\theta = \cos \theta \cos \phi \vec{e}_x + \cos \theta \sin \phi \vec{e}_y - \sin \theta \vec{e}_z$$

$$\vec{e}_\phi = -\sin \phi \vec{e}_x + \cos \phi \vec{e}_y$$

dönüşüm formülleri kullanılabilir.

Böylece

$$\vec{n} \times \vec{H}_1 = \frac{ka^4}{2} e^{-jkr \frac{\sin \theta}{\sin(2\alpha-\theta)}} \frac{\sin(2\alpha-\theta) J_0(1,84)}{(a_1^2 + f^2 - 2af \cos \theta)^{1/2}} \left[ f(\theta, \phi) \vec{e}_x + g(\theta, \phi) \vec{e}_y - h(\theta, \phi) \vec{e}_z \right]$$

olarak yazılabilir. Burada

$$\begin{aligned} f(\theta, \phi) = & \sin \phi \cos \phi (-g(\theta) f \sin^2 \theta + (a_1 - f \cos \theta) g(\theta) \cos \theta \\ & - \frac{f(\theta) [(r + r_0 \cos \theta)(a_1 - f \cos \theta) - rf \sin^2 \theta]}{\sqrt{r^2 + r_0^2 + 2r r_0^2 \cos \theta}}) \end{aligned}$$

$$g(\theta, \phi) = -g(\theta)f \sin^2 \theta \sin^2 \phi + (a_1 - f \cos \theta)g(\theta) \cos \theta \sin^2 \phi \\ + \frac{f(\theta) \cos^2 \phi \left[ (r + r_0 \cos \theta)(a_1 - f \cos \theta) - rf \sin^2 \theta \right]}{\sqrt{r^2 + r_0^2 + 2r r_0 \cos \theta}}$$

$$h(\theta, \phi) = g(\theta)f \sin \theta \sin \phi \cos \theta + (a_1 - f \cos \theta)g(\theta) \sin \theta \sin \phi \\ = a_1 g(\theta) f \sin \theta \sin \phi$$

yazılmalıdır. Bunun nedeni,  $\theta'$  ve  $\phi'$  değiştiğinde,  $r'$  büyüklüğünün hiperbol yüzeyini çizmesidir. Neticede hiperbol yüzeyi kaynak gibi davranır ve yine bu yüzey kaynak bölgesi olarak kabul edilebilir. Şekil 2.1' deki geometriden,  $R = r - r'$  olduğu görülebilir. Birim yüzey elemanı bulabilmek için

$$ds' = dx' \cdot dy' = \rho' d\theta' d\phi'$$

eşitliğinden faydalanılabilir. Bu ifadede,

$$\rho' = r' \sin \theta' = \frac{b^2 \sin \theta'}{(a_1 - f \cos \theta')}$$

olarak yazılabilir.  $d\rho'$  birim elemanını hesaplamak için yukarıdaki ifadenin iki tarafında türevi alınırsa

$$d\rho' = \frac{b^2 (a_1 \cos \theta' - f)}{(a_1 - f \cos \theta')^2} d\theta'$$

bulunabilir. Hiperboloidal yüzey ( $xy$ ) düzlemine izdüşürülürse, yüzey elemanı

$$dS' = \frac{dx' dy'}{\vec{n} \cdot \vec{e}_z} = \frac{(a_1^2 + f^2 - 2a_1 f \cos \theta') \cdot b^2}{(a_1 - f \cos \theta')^2} d\theta' d\phi'$$

şeklinde hesaplanabilir. Ayrıca magnetik alan ifadesinde görülen  $\alpha$ ,  $\vec{e}_r$  ve hiperboloidal yüzeyin birim gik vektörünün skaler çarpımı ile bulunabilir. Sonuçta

$$\alpha = \cos^{-1}(a_1 - f \cos \theta')$$

elde edilebilir.

Böylece Hertz vektörünün integral ifadesi

$$\vec{\Pi}_o = \frac{a^4 J_0(1,84) e^{-jkr}}{4\pi j \omega \epsilon} \int_{\theta'=-\theta_0}^{\theta_0} \int_{\phi'=0}^{2\pi} e^{jk \left( \frac{b^2}{a_1 - f \cos \theta'} \frac{b^2 \sin \theta'}{\sin(2\alpha - \theta')(a_1 - f \cos \theta')} \right)} \frac{\sin(2\alpha - \theta')}{\sin \theta'} \left[ f(\theta, \phi) \vec{e}_x + g(\theta, \phi) \vec{e}_y - h(\theta, \phi) \vec{e}_z \right] \frac{d\theta' d\phi'}{(a_1 - f \cos \theta')} \quad 1.8$$

şekline dönüşecektir.  $\phi'$  katı için

$$\int_0^{2\pi} \sin^2 \phi d\phi = \int_0^{2\pi} \cos^2 \phi d\phi = \pi, \quad \int_0^{2\pi} \sin \phi \cos \phi d\phi = 0, \quad \int_0^{2\pi} \sin \phi d\phi = 0$$

integralleri gözönüne alırsa, ışın integrallerinin bu kısmı kolayca alınabilir. Neticede

$$\vec{\Pi}_e = \vec{e}_y \frac{a^4 J_0(1,84) e^{-jkr}}{4\pi j \omega \epsilon} \int_{\theta'=-\theta_0}^{\theta_0} e^{jk \left( \frac{b^2}{a_1 - f \cos \theta'} \frac{b^2 \sin \theta'}{\sin(2\alpha - \theta')(a_1 - f \cos \theta')} \right)} \sin(2\alpha - \theta') g(\theta') \frac{d\theta'}{(a_1 - f \cos \theta')^2} \quad 1.9$$

integral içindeki tek değişken  $\theta'$  olduğuna göre ve bu integral de bu değişkene göre hesaplandığı için, elektrik Hertz vektörü  $\theta_0$ ' a bağlı bir sabite eşit olacaktır. Böylece

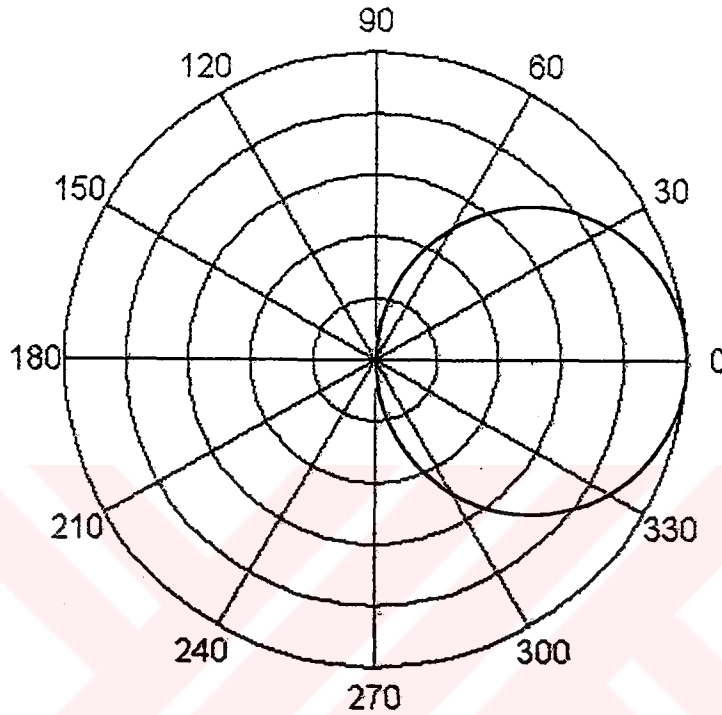
$$\vec{\Pi}_o = \frac{a^4 J_0(1,84) e^{-jkr}}{4\pi j \omega \epsilon} A(\theta_0) \vec{e}_y \quad 1.10$$

ifadesi yazılabilir.  $\vec{e}_y$  birim vektörü küresel koordinatlardaki bileşenlerine ayrılırsa elektrik alanı

$$E_\theta = k^2 \Pi_{e\theta} = \frac{a^4 \omega \mu J_0(1,84) e^{-jkr}}{4j} \frac{A(\theta_0) \cos \theta \sin \phi}{r} \quad 1.11$$

$$E_\phi = k^2 \Pi_{e\phi} = \frac{a^4 \omega \mu J_0(1,84) e^{-jkr}}{4j} \frac{A(\theta_0) \cos \phi}{r}$$

olarak hesaplanabilir. Elektrik Hertz vektörünün küresel koordinatlarda yazılması ile, elektrik alanın ifadesine  $\theta$  ve  $\phi$ 'ye bağlı terimler gelecektir. 2.4 denkleminde görülebileceği üzere, elektrik alanın  $\vec{e}_\theta$  bileşeni,  $\cos\theta$ 'ya bağlı olarak değişir.



Şekil 1.4  $|E_\theta|$ 'nin polar ışıma diyagramı

$E_\theta$  alan bileşeninin MATLAB'da çizdirilmesi için, mutlak değeri alınarak normalize edilir. Program yazılımı

```
t=0:.01:2.*pi;
```

```
polar(t,abs(cos(t)));
```

şeklindedir. Elde edilen ışıma diyagramı şekil 1.4'te gösterilmiştir.

Bu yaklaşık sonuç, geometrik optiğin hiperboloidal yüzeye uyarlanması ile bulunacak olan sonuç ile uyumludur. Elektrik alanın  $\vec{e}_\theta$  bileşeni  $\theta$ 'ya göre sabittir.



Sadece  $\phi = \frac{\pi}{2}$  düzleminde  $\theta$ 'ya göre değişir. Kaynağın koordinat dönüşümü işlemlerin basitleşmesine sebep olmuştur. Böylece sonuçlar sade olarak elde edilebilir.

## 2. CASSEGRAİN ANTENDE PARABOLOİDAL YÜZEYDEN YANSIMA

Cassegrain beslemeli antenlerde iki reflektör kullanılmaktadır. Alt reflektör dışbükey dönel hiperboloidal yüzey, ana reflektör ise içbükey dönel paraboloidal yüzey olarak alınmaktadır. Hiperboloidal yüzey, paraboloidal yüzeyin odağına yerleştirilmiş olup, yine paraboloidal ile aynı noktada bulunan kaynaktan yani dairesel kesitli transmisyon borusundan gelen alanı ana reflektöre yansıtma görevini görmektedir. Böylece kaynak alanı kuvvetlendirilerek, paraboloidal yüzey iletilmektedir. Ana reflektörden yansıyan alan iki yolla hesap edilebilir.

1. Yüzey akımı dağılımı yöntemi
2. Açıklık yöntemi

Her iki yöntemde de, ışınım interallerinin  $\phi'$  katı kolayca alınabilir. Diğer kat ise  $\theta'$  veya  $\rho'$  göre hesap edilecek olup, integralin alınması fonksiyonun karmaşıklığı nedeni ile oldukça zordur. Bu sebeple, ışınım diagramı çizdirilirken, bilgisayar kullanılabilir.

### 2.1 Paraboloidal Yüzeyden Yansıyan Alanın Yüzey Akım Dağılımı Yöntemi İle Bulunması

#### 2.1.1 Yüzey Akımı Dağılımı Yöntemi

İletken bir yüzeye gelen ve yansıyan yöresel düzlemsel dalgaların magnetik alanları için

$$\vec{n} \times \vec{H}_1 \Big|_s = \vec{n} \times \vec{H}_2 \Big|_s$$

sınır koşulları yazılabilir. Ayrıca bu yüzeydeki yüzeysel akım yoğunluğu;

$$\vec{J}_s = \vec{n} \times (\vec{H}_1 + \vec{H}_2)$$

sınır koşulu ile verilebilir. Bu ifadeler elektrik Hertz vektörünün integral ifadesinde yerine konursa;

$$\vec{\Pi}_0 \sim \frac{1}{2\pi j\omega\epsilon} \frac{e^{-jkr}}{r} \iint_{S'} \vec{n} \times \vec{H}_1 \Big|_S e^{jkr' \vec{e}_r} dS'$$

eşitliği elde edilebilir. 1.1 eşitliğinde fiziksel optik yaklaşıklığı kullanılmıştır. Buna göre gelen alan yüzeyde bir yüzeysel akım yoğunluğu oluşturur. Bu akım ise yüzeyden sanki bir ışın varmış gibi bir etki oluşturur. Bu yaklaşıklık köşelerde ve alanın dalgaboyuna kıyaslandığında hızlı bir değişim gösteren yüzeylerde sağlıklı sonuçlar vermeyebilir.

### 2.1.2 Işıma İntegralinin Hesaplanması

İkinci Bölüm'de hiperboloidal yüzeyden yansıyan alanın elektrik Hertz vektörü

$$\vec{\Pi}_0 = \frac{a^4 J_0(1,84)}{4\pi j\omega\epsilon} A(\theta_0) \frac{e^{-jkr}}{r} (\sin\theta \sin\phi \vec{e}_r + \cos\theta \sin\phi \vec{e}_\theta + \cos\phi \vec{e}_\phi) \quad 2.1$$

şeklinde bulunmuştur.

Magnetik alan ile elektrik Hertz vektörü arasında

$$\vec{H} = -j\omega\epsilon \nabla \times \vec{\Pi}_0$$

denklemini yazılabilir. Bu denklem küresel koordinatlarda hesaplanırsa

$$\vec{H} \sim \frac{ka^4 J_0(1,84)}{4j} A(\theta_0) \frac{e^{-jkr}}{r} (\cos\phi \vec{e}_\theta - \cos\theta \sin\phi \vec{e}_\phi) \quad 2.2$$

olarak bulunabilir. Magnetik alan ifadesinde  $\frac{1}{r}$ 'li terimler uzak alan için ihmal edilmişlerdir. Paraboloidal yüzeyin denklemi

$$r = \frac{2f}{1 + \cos\theta}$$

şeklinde yazılabilir. Bu ifadeden yüzeyin denklemi elde edilebilir. Yine bu denklem kullanılıp, yüzeyin normal vektörü,  $\vec{N}$ , hesaplanabilir. Böylece yüzeyin normal birim vektörü,  $\vec{n}$ ,

$$\vec{n} = \frac{\vec{N}}{\|\vec{N}\|} = \frac{-(1 + \cos\theta)\vec{e}_r + \sin\theta\vec{e}_\theta}{\sqrt{2}(1 + \cos\theta)^{1/2}}$$

şeklinde bulunabilir.

Yüzeysel akım yoğunluğu magnetik alan ve paraboloidal yüzeyin birim dik vektörünün, vektörel çarpımı ile bulunabilir. Bu işlem yapıldığında;

$\vec{n} \times \vec{H} = [\sin\theta \cos\theta \sin\phi\vec{e}_r + \cos\theta(1 + \cos\theta) \sin\phi\vec{e}_\theta + (1 + \cos\theta) \cos\phi\vec{e}_\phi] \frac{e^{-jkr}}{r} A(\theta_0) \frac{ka^4 J_0(1,84)}{4j\sqrt{1 + \cos\theta}}$  ifadesi elde edilebilir.  $dS$  yüzey elemanı, paraboloidal yüzey, aşağıdaki eşitlik kullanılarak,  $(x,y)$  düzlemine izdüşürülerek

$$\iint_{s'} \vec{A} \cdot \vec{n} dS = \iint_{s'} \vec{A} \cdot \vec{n} \frac{dS}{\vec{n} \cdot \vec{e}_z}$$

şeklinde hesaplanabilir.

İntegre edilecek fonksiyon küresel koordinatlardadır. Yüzey elemanı

$$dS' = dx'dy' = \rho' d\rho' d\phi'$$

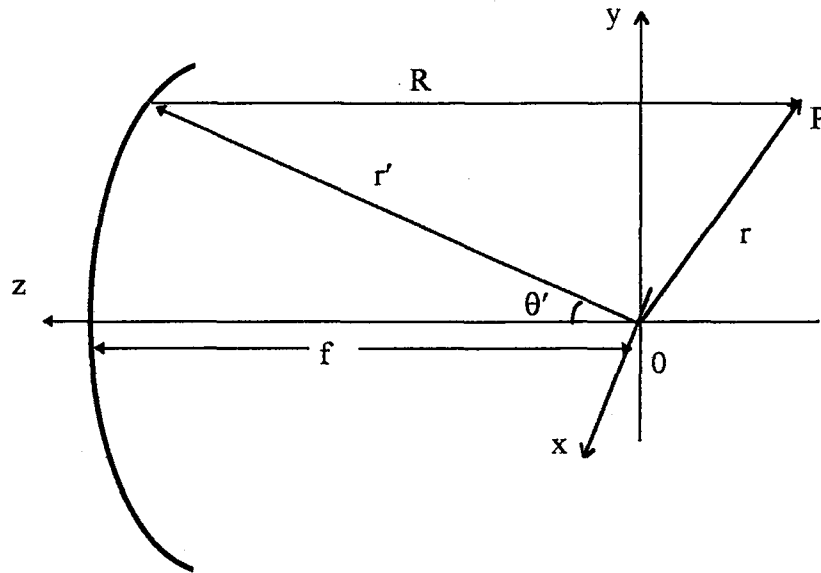
şeklinde ifade edilebilir. Burada

$$\rho' = r' \sin\theta'$$

yazılıp,  $r'$  yerine paraboloidal yüzeyin denklemi konursa

$$\rho' = \frac{2f \sin\theta'}{1 + \cos\theta'}$$

olarak elde edilebilir.



Şekil 2.1 Dönel Paraboloidal Yüzeyin Geometrisi

Böylece yüzey elemanı

$$dS' = \frac{4f^2 \sin \theta'}{(1 + \cos \theta')^{3/2}} d\theta' d\phi'$$

şeklinde ifade edilebilir. 1.1 denklemindeki faz teriminde  $r'$  yerine paraboloidal yüzeyin denklemi konmalıdır.  $\vec{e}_r \cdot \vec{e}_{r'}$  skaler çarpımı ile belirlenen terim ise şekil 1.1'deki geometri kullanılarak;

$$\vec{e}_r \cdot \vec{e}_{r'} = \sin \theta \sin \phi' \cos(\phi - \phi') + \cos \theta \cos \theta'$$

şeklinde bulunabilir. Bütün bu ifadeleri 1.1 denkleminde yerine konursa, ışınma integrali;

$$\vec{\Pi}_0 \sim \frac{-kfa^4 J_0(1,84) A(\theta_0) e^{-jkr}}{4\sqrt{2}\pi j \omega \epsilon} \int_{\theta'=-\theta_0}^{\theta_0} \int_{\phi'=0}^{2\pi} e^{jk \frac{2f}{1+\cos \theta'} (\sin \theta \sin \phi' \cos(\phi - \phi') + \cos \theta \cos \theta' - 1)}$$

$$\cdot \left[ \sin^2 \theta' \sin \phi' \cos \phi' \vec{e}_x - \frac{1}{2} [(1 + \cos \theta')^2 + \sin^2 \theta' \cos 2\phi'] \vec{e}_y + \sin \theta' \cos \theta' \sin \phi' \vec{e}_z \right] \quad 2.3$$

$$\cdot \frac{\sin \theta'}{(1 + \cos \theta')^3} d\theta' d\phi'$$

olarak yazılabilir. Burada Lorentz koşulunun sağlanabilmesi için, Kartezyen koordinatlara geçilmiştir.  $\phi'$  katları için

$$\int_0^{2\pi} \sin 2\phi' e^{jx \cos(\phi - \phi')} d\phi' = 2\pi(-1)J_2(x) \sin 2\phi$$

$$\int_0^{2\pi} e^{jx \cos(\phi - \phi')} d\phi' = 2\pi J_0(x)$$

$$\int_0^{2\pi} \cos 2\phi' e^{jx \cos(\phi - \phi')} d\phi' = -2\pi J_2(x) \cos 2\phi$$

$$\int_0^{2\pi} \sin \phi' e^{jx \cos(\phi - \phi')} d\phi' = 2\pi j J_1(x) \sin \phi$$

ifadeleri yazılabilir.

Yukarıdaki integraller gözönüne alınarak, ışınma integralinin  $\phi'$  katı kolayca hesaplanabilir. Böylece integral;

$$\Pi_{\text{ex}} = \int_{\theta' = -\theta_0}^{\theta_0} (-\pi) \sin 2\phi \sin \theta e^{jk \frac{2f}{1 + \cos \theta'} (\cos \theta \cos \theta' - 1)} J_2 \left( \frac{2kf}{1 + \cos \theta'} \sin \theta \sin \theta' \right) \frac{\sin^2 \theta'}{(1 + \cos \theta')^3} d\theta'$$

$$\Pi_{\text{ey}} = \int_{\theta' = -\theta_0}^{\theta_0} \left[ (1 + \cos \theta')^2 J_0 \left( \frac{2kf}{1 + \cos \theta'} \sin \theta \sin \theta' \right) + \sin^2 \theta' \cos 2\phi J_2 \left( \frac{2kf}{1 + \cos \theta'} \sin \theta \sin \theta' \right) \right]$$

$$e^{jk \frac{2f}{1 + \cos \theta'} (\cos \theta \cos \theta' - 1)} \frac{\sin \theta'}{(1 + \cos \theta')^3} d\theta'$$

$$\Pi_{\text{ez}} = \int_{\theta' = -\theta_0}^{\theta_0} \pi e^{jk \frac{2f}{1 + \cos \theta'} (\cos \theta \cos \theta' - 1)} 2 \sin \phi j J_1 \left( \frac{2kf}{1 + \cos \theta'} \sin \theta \sin \theta' \right) \frac{\sin^2 \theta' \cos \theta'}{(1 + \cos \theta')^3} d\theta'$$

olmak üzere

$$\Pi_e \sim \frac{-\pi k f a^4 J_0(1,84) A(\theta_0) e^{-jkr}}{4\sqrt{2}\pi\omega\epsilon} \frac{1}{r} \left[ -\Pi_{\text{ex}} \bar{e}_x - \Pi_{\text{ey}} \bar{e}_y + \Pi_{\text{ez}} \bar{e}_z \right] \quad 2.4$$

şeklinde yazılabilir.

2.4 ifadesinde küresel koordinatlara geçilirse, elektrik Hertz vektörü;

$$\begin{aligned}\Pi_{er} &\sim \Pi_{ex} \sin \theta \cos \phi + \Pi_{ey} \sin \theta \sin \phi - \Pi_{ez} \cos \theta \\ \Pi_{e\theta} &\sim \Pi_{ex} \cos \theta \cos \phi + \Pi_{ey} \cos \theta \sin \phi + \Pi_{ez} \sin \theta \\ \Pi_{e\phi} &\sim -\Pi_{ex} \sin \phi + \Pi_{ey} \cos \phi\end{aligned}\quad 2.5$$

şeklinde yazılabilir. Elektrik alan bileşenleri ise

$$\begin{aligned}E_{\theta} &= k^2 \Pi_{e\theta} = k^2 \left[ \Pi_{ex} \cos \theta \cos \phi + \Pi_{ey} \cos \theta \sin \phi + \Pi_{ez} \sin \theta \right] \\ E_{\phi} &= k^2 \Pi_{e\phi} = k^2 \left[ -\Pi_{ex} \sin \phi + \Pi_{ey} \cos \phi \right]\end{aligned}\quad 2.6$$

olarak bulunabilir.  $\Pi_{ex}$ ,  $\Pi_{ey}$  ve  $\Pi_{ez}$  integrallerinin hesaplanıp, elektrik alan ifadelerinde yerine konması ile, alanın  $\theta$  ve  $\phi$  bileşenlerinin polar ışınım diagramları çizdirilebilir.

$\phi = 0$  düzleminde 2.5 ve 2.6 denklemlerinden görülebileceği gibi  $E_{\phi} = k^2 \Pi_{ey}$  olmaktadır. İntegralin seri tanımı

$$\int_a^b f(x) dx = \lim_{N \rightarrow \infty} \sum_{n=1}^N f\left(a + n \frac{b-a}{N}\right) \cdot \frac{b-a}{N}$$

kullanılarak  $\Pi_{ey}$  seriyeye açılabilir. Burada  $a + n \frac{b-a}{N}$  ifadesi  $-\theta_0 + \frac{2\theta_0 n}{N}$  olmaktadır.

Böylece program yazımı

```
t=0:.01:2.*pi;
sum=0;
for n=1:N;
a=-theta_0+(2.*theta_0.*n)/N;
b=((1+cos(a).^2).*besselj(0,abs(2.*k.*f.*sin(t).*sin(a))./(1+cos(a)))));
c=(sin(a).^2).*besselj(2,abs(2.*f.*sin(t).*sin(a))./(1+cos(a)))));
```

```

d=exp( j.*k.*2.*(cos(t).*cos(a)-1) ./ (1+cos(a)));

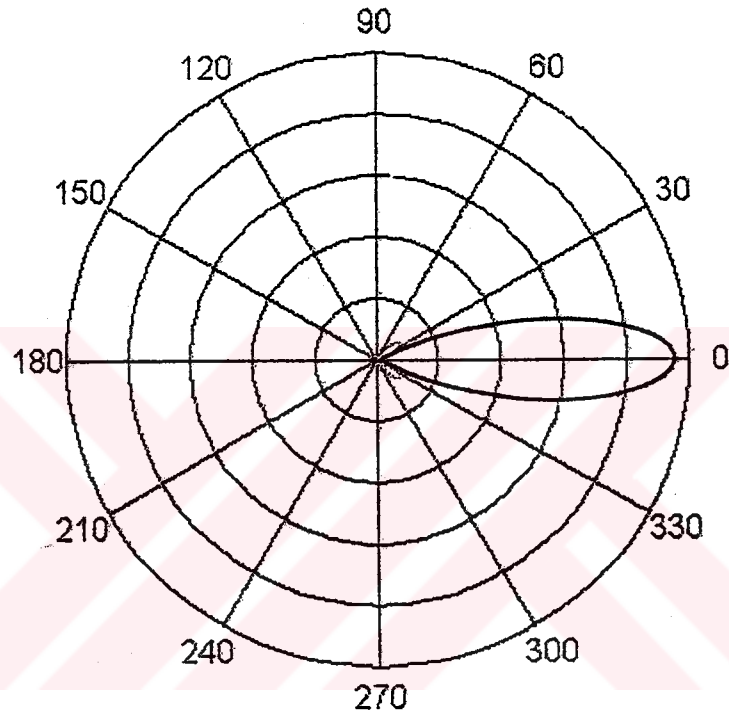
f=d.* [b+c].*sin(a)./((1+cos(a)).^3);

sum = sum+f;

end;

polar(t,abs(f))

```



Şekil 2.2 Polar ışıma diyagramı

### 3. PARABOLOİDAL YÜZEYDEN YANSIYAN ALANIN AÇIKLIK YÖNTEMİ İLE HESAPLANMASI

Paraboloidal reflektörlerde, yüzeydeki sınır koşullarından faydalanılarak, bir açıklık düzleminde  $(\vec{E}_s, \vec{H}_s)$  alanları bulunabilir. Açıklık düzlemi olarak, parabolün odak noktasındaki, parabol eksenine dik doğrultuda olan düzlem seçilebilir. Bu dairesel açıklıktaki  $(\vec{E}_s, \vec{H}_s)$  alanları ele alınarak, magnetik ve elektrik Hertz vektörlerinin integral ifadeleri yardımı ile, ışıyan uzak alan bileşenleri bulunabilir.

### 3.1 Işıma İntegralinin Hesaplanması

Dönel hiperboloidal yüzeyden yansıyan magnetik alan 1.2 denklemi ile verilmiştir. Elektrik alan bileşeni ise

$$\bar{a}_1 = \sin\theta \sin\phi \bar{e}_r + \cos\theta \sin\phi \bar{e}_\theta + \cos\phi \bar{e}_\phi$$

olmak üzere

$$\bar{E} = \frac{\omega\mu a^4 J_0(1,84)A(\theta_0)}{4j} \frac{e^{-jkr}}{r} \bar{a}_1 \quad 3.1$$

eşitliği ile verilebilir. Paraboloidal yüzeyden yansıyan alanların birim vektörlerini bulmak için, yüzey üzerindeki;

$$\bar{J}_s = 2(\bar{n} \times \bar{H}_1)|_s = 2(\bar{n} \times \bar{H}_2)|_s$$

sınır koşullarından yararlanılabilir. Bu koşuldan,

$$\bar{n} \times [\bar{e}_r \times \bar{a}_1] = \bar{n} \times [-\bar{e}_2 \times \bar{a}_2]$$

eşitliği elde edilebilir. Bu eşitlikte  $\bar{a}_2$ , yansıyan elektrik alanın birim vektörüdür.  $\bar{n}$  ise dönel paraboloidal yüzeyin dik birim vektörüdür.

$$\bar{n} = -\cos\frac{\theta'}{2} \bar{e}_r + \sin\frac{\theta'}{2} \bar{e}_\theta$$

ile verilebilir.

2.1 eşitliğinde bilinenler yerine konup vektörel denklem çözülürse,

$$\bar{a}_2 = -\sin\phi \bar{e}_\theta - \cos\phi \bar{e}_\phi$$

olarak bulunabilir. Sonuçta, odaktan geçen açıklık düzlemindeki elektrik alan için, yansıma noktasının açıklık yüzeyi üzerindeki bir noktaya uzaklığı  $r' \cdot \cos\theta'$  olmak üzere şekil 2.1'den de görülebileceği üzere,  $r'$  yerine  $r'(1 + \cos\theta')$  konarak



$$\vec{E}_a \sim \frac{\omega\mu a^4 J_0(1,84) A(\theta_0)}{4j} \frac{e^{-jkr'(1+\cos\theta')}}{r'(1+\cos\theta')} \vec{a}_2$$

yazılabilir. Aynı şekilde magnetik alanda,

$$\vec{H}_a \sim \frac{-ka^4 J_0(1,84) A(\theta_0)}{4j} \frac{e^{-jkr'(1+\cos\theta')}}{r'(1+\cos\theta')} (\sin\theta' \cos\phi' \vec{e}_r + \cos\theta' \cos\phi' \vec{e}_\theta - \cos\theta' \sin\phi' \vec{e}_\phi) \quad 3.2$$

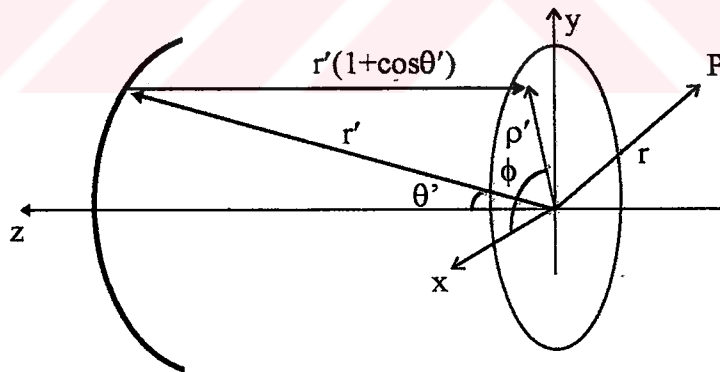
olarak bulunabilir.

Dairesel açıklıktan ışyan alanın elektrik ve magnetik Hertz vektörlerinin integral ifadeleri

$$\vec{\Pi}_e(\vec{r}) \sim \frac{1}{4\pi j \omega \epsilon} \frac{e^{-jkr}}{r} \iint_{S_a} [\vec{n} \times \vec{H}_a(\vec{r}')]_{S'} e^{jkr' \cdot \vec{e}_r \cdot \vec{e}_{r'}} dS'$$

$$\vec{\Pi}_m(\vec{r}) \sim \frac{-1}{4\pi j \omega \mu} \frac{e^{-jkr}}{r} \iint_{S_a} [\vec{n} \times \vec{E}_a(\vec{r}')]_{S'} e^{jkr' \cdot \vec{e}_r \cdot \vec{e}_{r'}} dS'$$

şeklinde yazılabilir. Faz terimindeki  $r'$  ifadesi Şekil 3.1'den görülebileceği üzere  $\rho'$ 'ye eşittir.



Şekil 3.1 Paraboloidal reflektörün odağındaki dairesel açıklık geometrisi

İntegrallerdeki vektörel çarpımlar yapılırsa

$$\vec{n} = -\vec{e}_z$$

olmak üzere

$$\begin{aligned}\bar{n} \times \bar{H}_a|_{s'} &\sim \frac{ka^4 J_0(1,84)A(\theta_0)}{4j} \frac{e^{-jk2f}}{2f} (\sin\theta' \cos\theta' \sin\phi' \bar{e}_r + \cos^2\theta' \sin\phi' \bar{e}_\theta + \cos\phi' \bar{e}_\phi) \\ \bar{n} \times \bar{E}_a|_{s'} &\sim \frac{-\omega\mu a^4 J_0(1,84)A(\theta_0)}{4j} \frac{e^{-jk2f}}{2f} (\sin\theta' \cos\phi' \bar{e}_r + \cos\theta' \cos\phi' \bar{e}_\theta - \cos\theta' \sin\phi' \bar{e}_\phi)\end{aligned}\quad 3.3$$

ifadeleri elde edilebilir. Burada  $r'$  yerine parabolün denklemi konulmuştur. Her ne kadar  $S'$  alanı dairesel açıklık olsada,  $\rho'$  ve  $r'$  arasında

$$\rho' = r' \sin\theta'$$

gibi bir bağıntı vardır. Işıma integrallerinin faz terimi ise,

$$\bar{e}_r \cdot \bar{e}_r = \sin\theta \cos(\phi - \phi')$$

olarak hesaplanabilir. Dairesel açıklık yüzey elemanı ise

$$dS' = \rho' d\rho' d\phi'$$

şeklinde yazılabilir. İntegral  $\rho'$  ve  $\phi'$  'ne göre hesap edileceğinden,  $\theta'$  de  $\rho'$  cinsinden

$$\sin\theta' = \frac{8f\rho'^2}{\rho'^2 + 16f^2}$$

$$\cos\theta' = \frac{16f^2 - \rho'^2}{\rho'^2 + 16f^2}$$

ifade edilebilir.

Işıma integralinde Lorentz koşulunun sağlanması için, küresel koordinatlardan, kartezyen koordinatlara geçilmelidir. Neticede, integraller

$$\bar{\Pi}_e \sim \frac{ka^4 J_0(1,84)A(\theta_0)}{32\pi\omega\epsilon} \frac{e^{-jk2f}}{2f} \frac{e^{-jkr}}{r} \int_{\rho'=0}^a \int_{\phi'=0}^{2\pi} [\bar{e}_x \sin\phi' \cos\phi' 2\rho'^2 - \bar{e}_y [16f^2 + \rho'^2 \cos 2\phi']]$$

3.4

$$e^{jk\rho' \sin\theta \cos(\phi - \phi')} \frac{\rho'}{\rho'^2 + 16f^2} d\rho' d\phi'$$

$$\vec{\Pi}_m \sim \frac{-a^4 J_0(1,84) A(\theta_0)}{32\pi} \frac{e^{-jk2f}}{2f} \frac{e^{-jkr}}{r} \int_{\rho'=0}^a \int_{\phi'=0}^{2\pi} [\vec{e}_x [16f^2 + \rho'^2 \cos 2\phi'] + \vec{e}_y 2 \sin \phi' \cos \phi' \rho'^2] e^{jk\rho' \sin \theta \cos(\phi-\phi')} \frac{\rho'}{\rho'^2 + 16f^2} d\rho' d\phi'$$

olarak yazılabılır. Işıma integrallerinin  $\phi'$  katları

$$\int_0^{2\pi} \sin 2\phi' e^{jkx \cos(\phi-\phi')} d\phi' = -2\pi J_2(x) \sin 2\phi$$

$$\int_0^{2\pi} \cos 2\phi' e^{jkx \cos(\phi-\phi')} d\phi' = -2\pi J_2(x) \cos 2\phi$$

integralleri kullanılarak hesap edilebilir. Böylece

$$L_{ex} = - \int_{\rho'=0}^a \frac{\rho'^3 \cdot 2\pi}{16f^2 + \rho'^2} J_2(k\rho' \sin \theta) \sin 2\phi d\rho'$$

$$L_{ey} = \int_{\rho'=0}^a [16f^2 J_0(k\rho' \sin \theta) 2\pi - 2\pi J_2(k\rho' \sin \theta) \rho'^2 \cos 2\phi] \frac{\rho'}{\rho'^2 + 16f^2} d\rho'$$

$$\frac{\rho'}{\rho'^2 + 16f^2} d\rho'$$

$$L_{mx} = \int_{\rho'=0}^a [16f^2 2\pi J_0(k\rho' \sin \theta) - 2\pi J_2(k\rho' \sin \theta) \rho'^2 \cos 2\phi] \frac{\rho'}{\rho'^2 + 16f^2} d\rho' \quad 3.5$$

$$\frac{\rho'}{\rho'^2 + 16f^2} d\rho'$$

$$L_{my} = - \int_{\rho'=0}^a \frac{2\pi \cdot \rho'^3}{16f^2 + \rho'^2} J_2(k\rho' \sin \theta) \sin 2\phi d\rho'$$

olmak üzere

$$\bar{\Pi}_o \sim \frac{ka^4 J_0(1,84) A(\theta_0) e^{-jk2f} e^{-jkr}}{32\pi\omega\epsilon} \frac{1}{2f} \frac{1}{r} \left[ L_{ex} \bar{e}_x - L_{ey} \bar{e}_y \right] \quad 3.6$$

$$\bar{\Pi}_m \sim \frac{-a^4 J_0(1,84) A(\theta_0) e^{-jk2f} e^{-jkr}}{32\pi} \frac{1}{2f} \frac{1}{r} \left[ L_{mx} \bar{e}_x + L_{my} \bar{e}_y \right]$$

şeklinde yazılabilir.

$\phi = 0$  düzleminde  $E_\phi$  alan bileşeni  $E_\phi = k^2 \Pi_{e\phi} - k^2 Z_0 \Pi_{m\phi}$  'ya eşit olur. Buna göre ışınma integrali seriye açılabilir. Program yazımı

```
t=0:.01:2.*pi;
```

```
N=1000;
```

```
sum=0;
```

```
for n=1:N;
```

```
  a = n.*a./N;
```

```
  b = 16.*(f.^2).* besselj(0,abs(k.*a.*f.*sin(t)))-(a.^2).*
```

```
    besselj(2,abs(k.*a.*f.*sin(t)));
```

```
  c = a./((4.*f.^2)+(a.^2));
```

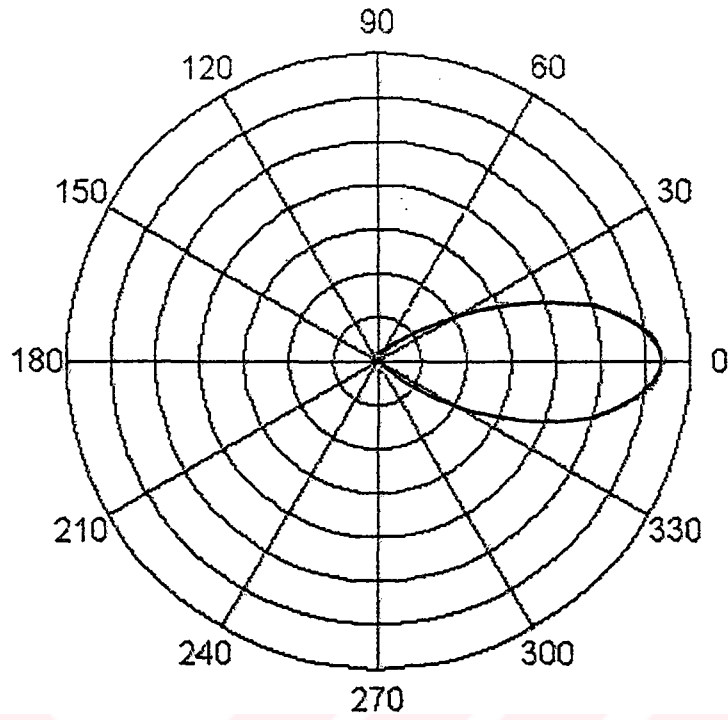
```
  f=b.* c.*(1-2c.c(t));
```

```
  sum = sum+f;
```

```
end;
```

```
polar(t,abs(f))
```

şeklinde ifade edilebilir.



Şekil 3.2 Polar ışıma diyagramı

Kartezyen koordinatlardan, küresel koordinatlara geçilirse, elektrik ve magnetik Hertz vektörleri;

$$\Pi_{e\theta} = \Pi_{ex} \cos\theta \cos\phi + \Pi_{ey} \cos\theta \sin\phi$$

$$\Pi_{e\phi} = -\Pi_{ex} \sin\phi + \Pi_{ey} \cos\phi \quad 3.7$$

$$\Pi_{m\theta} = \Pi_{mx} \cos\theta \cos\phi + \Pi_{my} \cos\theta \sin\phi$$

$$\Pi_{m\phi} = -\Pi_{mx} \sin\phi + \Pi_{my} \cos\phi$$

olarak ifade edilebilir. Buradan elektrik alan bileşenleri

$$E_{\theta} = k^2 \Pi_{e\theta} + k^2 Z_0 \Pi_{m\phi}$$

$$E_{\phi} = k^2 \Pi_{e\phi} - k^2 Z_0 \Pi_{m\theta} \quad 3.8$$

bu denklemleri kullanılarak elde edilebilir.

Sonuçlardan görülebileceği gibi, açıklık yöntemi ile, yüzey akımı dağılımı metodundan daha sade ifadeleri elde edilmiştir. Buna rağmen ışınma integralleri aynı formdadır. Bu integraller bilgisayar yardımı ile hesaplanabilir ve bulunacak alan ifadeleri polar koordinatlarda çizilebilir.

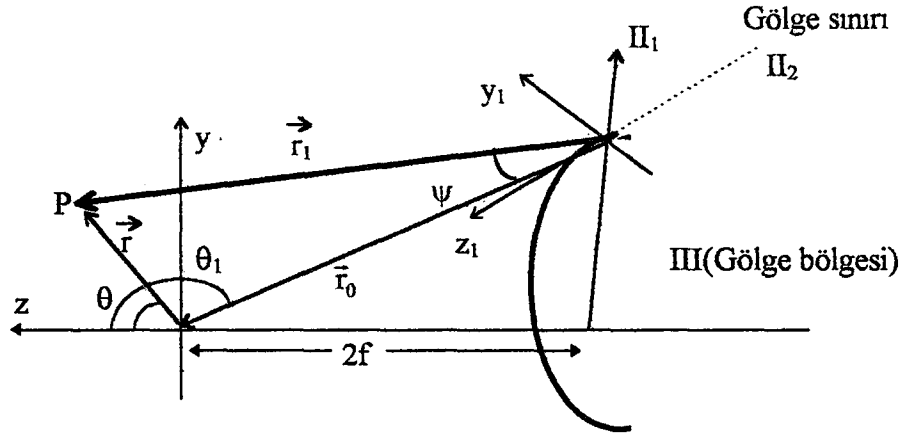
#### 4. ODAKTAN BESLEMELİ DIŞBÜKEY HİPERBOLOİDAL YÜZEYDE KÖŞE KIRINIMLARI

İkinci bölümde odaktaki dairesel kesitli transmisyon borusunun açık ağzı ile beslenen hiperboloidal yüzeyden yansıyan alan yüzey akımı dağılımı yöntemi ile hesap edilmişti. Hiperbolik yüzeyin açıklığını belirleyen  $\theta_0$  açısı keyfi alınmış, burada oluşacak olan köşe kırınımları gözönüne alınmamıştı. Fakat gerçekte, tam  $\theta = \theta_0$  koordinatlı köşe noktasına gelen ışın, burada bir köşe kırınımına uğrar ve hiperboloidal yüzeyden yansıyan alanın değerlendirilmesi yapılırken, bu noktada ki köşe kırınımında hesaba katılması gereklidir. Böylece anten tasarımı yapılırken, besleme seçiminde ve reflektörün hangi noktalardan kesileceği hesaplanırken, optimum bir sonuca erişebilmek için bu noktalardan faydalanılır.

Köşe kırınımı hesabı yapılırken, o noktaya gelen ışın, kaynak alanından yararlanılarak bulunabilir. Burada faz terimi hesap edilirken Poisson integral dönüşümü kullanılabilir. Daha sonra, odak ve kırınım koordinatları birbirine dönüştürülür. Kırınım noktası ve hiperboloidal yüzey, yarı sonsuz düzlemmiş gibi düşünülerek, Winer-Hoppf tekniği ile kırınan alan hesaplanabilir.

##### 4.1 Hiperboloidal Reflektörde Köşe Kırınımlarının Hesabı

Dönel hiperboloidal reflektörlerde köşe kırınımına, hiperboloidal  $(r_0, \theta_0)$  koordinatlı köşesine gelen tek bir ışın sebep olur.



Şekil 4.1 Hiperboloidal reflektörde köşe kırınımlarına ait koordinat sistemleri

İşlemlerde kolaylık sağlamak amacı ile, şekil 4.1'de gösterilen  $(x,y,z)$  koordinat sisteminden,  $(x_1,y_1,z_1)$  koordinat sistemine geçmek gerekmektedir. İki sistem arasındaki dönüşüm matrisi

$$\tilde{T} = \begin{bmatrix} \sin\theta_d & \cos\theta_d \\ -\cos\theta_d & \sin\theta_d \end{bmatrix}$$

ve

$$\vec{e}_{\tilde{y}z} = \tilde{T} \cdot \vec{e}_{\tilde{y}_1z_1}$$

ile verilebilir.

Besleme olarak dairesel kesitli transmisyon borusunun açık ağzı kullanılırsa, ışıyan uzak alanın elektrik bileşeni için

$$E_\theta = \frac{a^4 \omega \mu}{2(1,84)^2} \frac{e^{-jkr}}{r} J_0(1,84) \sin\phi \frac{J_1(ka \sin\theta)}{ka \sin\theta} (\beta \cos\theta + k)$$

$$E_\phi = -\frac{a^4 \omega \mu}{2} \frac{e^{-jkr}}{r} \frac{J_0(1,84)}{[(1,84)^2 - (ka \sin\theta)^2]} \cos\phi J_1'(ka \sin\theta) (\beta + k \cos\theta) \quad 4.1$$

yazılabilir. Hiperboloidal dönel olduğu için  $\phi'$ 'ye göre simetriktir. Bu özelliğe göre tek bir köşedeki kırınımı bulmak yeterli olur.  $\theta = \theta_1$  ve  $\phi = \frac{\pi}{2}$  koordinatlı köşe

seçilebilir. Böylece elektrik alanın  $\phi$  bileşeni sıfır olacaktır. Koordinat dönüşüm matrisi kullanılarak

$$\vec{e}_\theta = \cos(\theta_1 - \theta_d) \vec{e}_{y_1} - \sin(\theta_1 - \theta_d) \vec{e}_{z_1}$$

bulunabilir. Şekil 4.1'deki geometri kullanılarak

$$\vec{r}_1 = r_0 \vec{e}_{r_0} - r \vec{e}_r$$

vektörel eşitliği yazılabilir. Birim vektörler için

$$\vec{e}_{r_0} = \sin \theta_1 \vec{e}_y + \cos \theta_1 \vec{e}_z$$

$$\|\vec{r}\| = \sqrt{r_1^2 + r_0^2 - 2r_1 r_0 \cos \psi}$$

eşitlikleri kullanılarak 4.1 ile verilen elektrik alan bileşenindeki küresel dalga faktörü

$$\frac{e^{-jkr}}{r} = \frac{e^{-jk\sqrt{r_1^2 + r_0^2 - 2r_1 r_0 \cos \psi}}}{\sqrt{r_1^2 + r_0^2 - 2r_1 r_0 \cos \psi}} = -j \sum_{n=-\infty}^{\infty} (2n+1) j_n(kr_1) h_n^{(2)}(kr_0) P_n(\cos \psi) \quad 4.2$$

yazılabilir. Küresel Bessel ve Hankel fonksiyonları, Hankel ve Bessel fonksiyonları cinsinden ifade edilebilir. Bessel fonksiyonu yerine yaklaşık olarak birinci nevi Hankel fonksiyonu yazılabilir. Böylece küresel koordinatlar sisteminde Poisson İntegral Dönüşümü, Hankel fonksiyonlarının Debye asimptotik açılımı kullanılarak

$$\frac{e^{-jkr}}{r} = \sqrt{\frac{2}{\pi}} \sum_{n=-\infty}^{\infty} \int_c^\infty \nu \frac{e^{j \left[ \left[ (kr_1)^2 - \nu^2 \right]^{1/2} - \nu \cos^{-1} \left( \frac{\nu}{kr_1} \right) - \left[ (kr_0)^2 - \nu^2 \right]^{1/2} + \nu \cos^{-1} \left( \frac{\nu}{kr_0} \right) - \nu \psi - \frac{\pi}{4} \right]}}{\sqrt{\nu \sin \psi} \left[ (kr_1)^2 - \nu^2 \right]^{1/4} \left[ (kr_0)^2 - \nu^2 \right]^{1/4}} d\nu \quad 4.3$$

şeklinde ifade edilebilir. Birinci bölümün üçüncü kısmında 3.13 ile verilen faz fonksiyonunun birinci türevi alınarak elde edilen

$$\nu_s = kr_1 \sin(\alpha - \beta) = kr_0 \sin(\alpha - \beta_0)$$

dönüşümleri ile 4.3 integrali



$$G(\alpha) = \sqrt{\frac{\pi}{2}} \sqrt{\frac{kr_k \sin(\alpha - \beta_0)}{\sin(\beta_0 - \beta)}} e^{-jk(z_k \cos \alpha + y_k \sin \alpha)}$$

olmak üzere

$$\frac{e^{-jkr}}{r} \sim \int_{-\infty}^{\infty} G(\alpha) e^{jk(z_1 \cos \alpha + y_1 \sin \alpha)} d\alpha \quad 4.4$$

şeklinde ifade edilebilir (Ek 2). Böylece 4.1 ile verilen magnetik alan bileşeni küresel dalgaların spektrum integrali olarak

$$E_\theta = \frac{ja^4 \omega \mu}{2(1,84)^2} \frac{e^{-jk r_0}}{r_0} J_0(1,84) \frac{J_1(ka \sin \theta_1)}{ka \sin \theta_1} (\beta \cos \theta_1 + k)$$

olmak üzere

$$\vec{E} = E_\theta \left[ \cos(\theta_1 - \theta_d) \vec{e}_{y_1} - \sin(\theta_1 - \theta_d) \vec{e}_{z_1} \right] \int_{-\infty}^{\infty} G(\alpha) e^{jk(z_1 \cos \alpha + y_1 \sin \alpha)} d\alpha$$

şeklinde ifade edilebilir. Maxwell-Faraday aksiyom denkleminde magnetik alan

$$\vec{H} = \vec{e}_{x_1} E_\theta \int_{-\infty}^{\infty} G(\alpha) e^{jk(z_1 \cos \alpha + y_1 \sin \alpha)} \sin(\alpha + \theta_1 - \theta_d) d\alpha \quad 4.5$$

olarak yazılabilir.

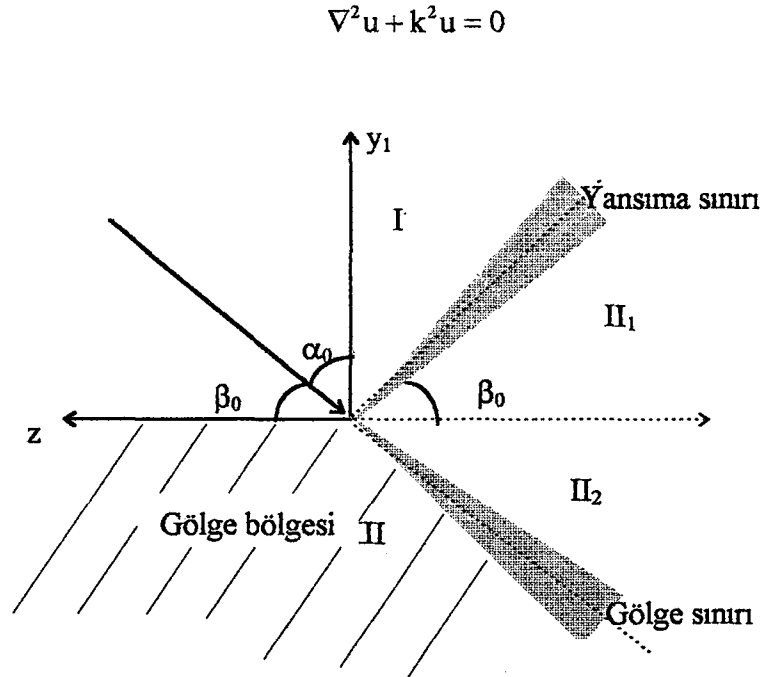
Yarı sonsuz düzlemde sınır koşulları için

$$\frac{\partial u(z, +0)}{\partial y} - \frac{\partial u(z, -0)}{\partial y} = 0 \quad z > 0$$

$$\frac{\partial u(0, z)}{\partial y} - \frac{\partial u_i(0, z)}{\partial y} = 0 \quad z > 0 \quad 4.6$$

$$u(+0, z) - u(-0, z) = \vec{J}_s(z) \quad z > 0$$

yazılabilir. Reflektörün köşesinde Helmholtz denklemi geçerlidir.



Şekil 4.2 Kırınım geometrisi

$$u(r, \theta) = \frac{1}{2} e^{-jkr \sin(\theta - \alpha_0)} - \frac{e^{j\frac{\pi}{4}} \cos \alpha_0 \sin \theta}{2\sqrt{2\pi} \sqrt{1 - \sin \alpha_0} \sqrt{1 - \cos \theta} (\cos \theta + \sin \alpha_0)} \frac{e^{-jkr}}{\sqrt{kr}} \quad 4.7$$

ifadesi bulunabilir. Burada birinci terin yansıyan alanı, ikinci terin ise saçılan alanı vermektedir.

İkinci bölgede, 1.7'nin ilk denklemini  $\Pi_1$  ve ikinci denklemini de  $\Pi_2$  bölgesi için kullanılabilir. Bölgesinde kutup olmadığından, sadece semer noktasında en dik inişli integrasyon çevresi hesabı yapılır.  $\Pi_2$  bölgesinde ise buna ilaveten  $\frac{3\pi}{2} - \alpha_0$  noktasındaki kutupta hesaba katılabilir. Bu bölgeler için

$$\alpha_0 + \frac{\pi}{2} < \theta < \pi$$

$$u(r, \theta) \sim - \frac{e^{j\frac{\pi}{4}} \cos \alpha_0 \sin \theta}{2\sqrt{2\pi} \sqrt{1 - \sin \alpha_0} \sqrt{1 - \cos \theta} (\cos \theta + \sin \alpha_0)} \frac{e^{-jkr}}{\sqrt{kr}}$$

ve

$\pi < \theta < \frac{3\pi}{2} - \alpha_0$  için

$$u(r, \theta) \sim \frac{1}{2} e^{-jkr \cos(\theta - \alpha_0)} + \frac{e^{j\frac{\pi}{4}} \cos \alpha_0 \sin \theta}{2\sqrt{2\pi} \sqrt{1 - \sin \alpha_0} \sqrt{1 - \cos \theta} (\cos \theta + \sin \alpha_0)} \frac{e^{-jkr}}{\sqrt{kr}}$$

ifadeleri elde edilebilir. Üçüncü bölgede ise sadece semer noktasında integral hesabı yapılabilir. Böylece

$$u(r, \theta) \sim \frac{e^{j\frac{\pi}{4}} \cos \alpha_0 \sin \theta}{2\sqrt{2\pi} \sqrt{1 - \sin \alpha_0} \sqrt{1 - \cos \theta} (\cos \theta + \sin \alpha_0)} \frac{e^{-jkr}}{\sqrt{kr}}$$

ifadesi yazılabilir.

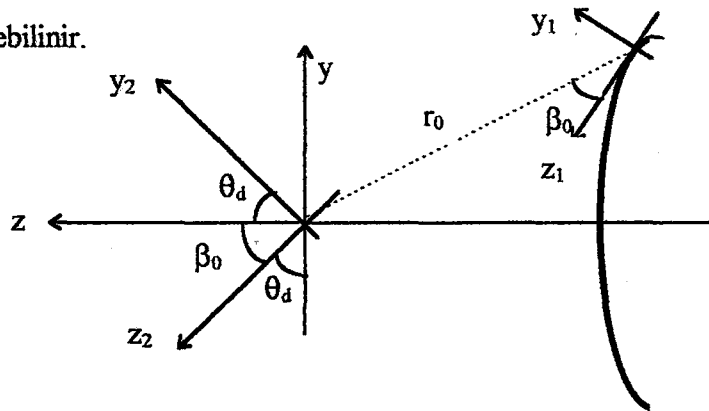
Burada kırınım katsayısı

$$D(\theta) = \frac{\sqrt{1 + \sin \alpha_0} \sqrt{1 + \cos \theta}}{\cos \theta + \sin \alpha_0}$$

denklemleri ile verilebilir.  $\beta_0 = \frac{\pi}{2} - \alpha_0$  ifadesi denklemlerde yerine konup, gerekli trigonometrik özdeşlikler kullanılırsa,

$$D(\theta) = \frac{1}{\cos\left(\frac{\theta + \beta_0}{2}\right)} + \frac{1}{\cos\left(\frac{\theta - \beta_0}{2}\right)}$$

eşitliği elde edilebilir.



Şekil 4.3 Dönel Hiperboloidal yüzeyin köşe kırınımı geometrisi

Kırınım katsayısında  $\theta$  yerine  $\beta$  yazılırsa

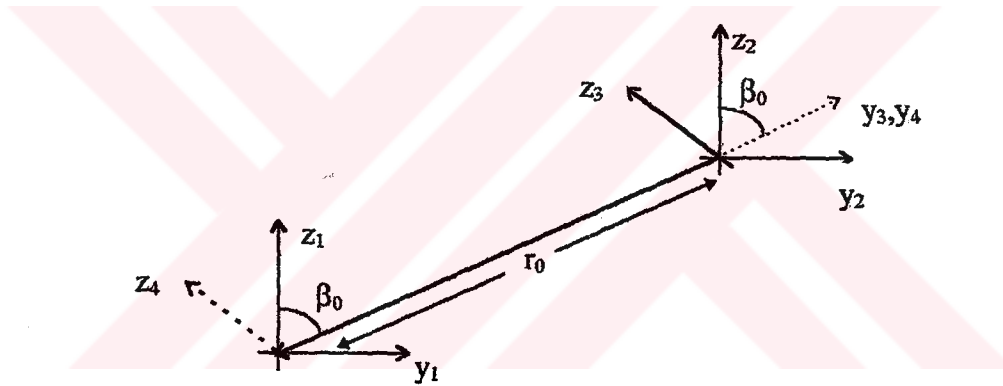
$$D(\beta) = e^{j\frac{\pi}{4}} \left[ \frac{1}{\cos\left(\frac{\beta + \beta_0}{2}\right)} + \frac{1}{\cos\left(\frac{\beta - \beta_0}{2}\right)} \right] \quad 4.8$$

ifadesi bulunabilir.

Şekil 4.3 deki geometri kullanılarak

$$\begin{aligned} y_2 &= y \sin \theta_d + z \cos \theta_d \\ z_2 &= -y \cos \theta_d + z \sin \theta_d \end{aligned} \quad 4.9$$

ifadeleri elde edilebilir.



Şekil 4.4 Eksenlerin Ötelenmesi

$(y_2, z_2)$  ve  $(y_3, z_3)$  koordinat sistemleri arasında

$$\begin{aligned} y_3 &= y_2 \cos \beta_0 - z_2 \sin \beta_0 \\ z_3 &= y_2 \sin \beta_0 + z_2 \cos \beta_0 \end{aligned} \quad 4.10$$

bağıntıları Şekil 4.4'ten yazılabilir.  $(y_1, z_1)$  ve  $(y_4, z_4)$  koordinatları arasında

$$\begin{aligned} y_4 &= y_2 \cos \beta_0 - z_2 \sin \beta_0 \\ z_4 &= y_2 \sin \beta_0 + z_2 \cos \beta_0 + r_0 \end{aligned} \quad 4.11$$

eşitlikleri elde edilebilir.  $(y_3, z_3)$ ,  $(y_4, z_4)$  ün  $r_0$  kadar ötelenmiş bir ifadesidir. Buna göre

$$y_3 = y_4$$

$$z_3 = y_4 - r_0$$

bağıntıları yazılabilir. Bu denklemler birleştirilirse

$$y_1 = y_2 + r_0 \sin \beta_0$$

$$z_1 = z_2 + r_0 \cos \beta_0$$

denklemleri bulunabilir. Bu denklemler ve 4.11 birleştirilirse

$$y_1 = y \sin \theta_d + z \cos \theta_d + r_0 \sin \beta_0$$

$$z_1 = -y \cos \theta_d + z \sin \theta_d + r_0 \cos \beta_0 \quad 4.12$$

ifadeleri elde edilebilir. Küresel koordinatlara geçilirse

$$r_1 \sin \theta_1 = r \cos(\theta - \theta_d) + r_0 \sin \beta_0$$

$$r_1 \cos \theta_1 = -r \sin(\theta - \theta_d) + r_0 \cos \beta_0 \quad 4.13$$

denklemleri yazılabilir. Böylece  $\beta$  açısı

$$\beta = \arctg \left( \frac{r \cos(\theta - \theta_d) + r_0 \sin \beta_0}{-r \sin(\theta - \theta_d) + r_0 \cos \beta_0} \right)$$

şeklinde bulunabilir. Bu ifade difraksiyon katsayısında yerine konursa

$$D(\theta) = e^{j\frac{\pi}{4}} \left[ \frac{1}{\cos \left[ \frac{\text{Arctg} \left( \frac{r \cos(\theta - \theta_d) + r_0 \sin \beta_0}{-r \sin(\theta - \theta_d) + r_0 \cos \beta_0} \right) + \beta_0}{2} \right]} + \frac{1}{\cos \left[ \frac{\text{Arctg} \left( \frac{r \cos(\theta - \theta_d) + r_0 \sin \beta_0}{-r \sin(\theta - \theta_d) + r_0 \cos \beta_0} \right) - \beta_0}{2} \right]} \right]$$

elde edilebilir. Neticede alan ifadesi

$$U(r, \theta) = BD(\theta) \frac{e^{jkr_1}}{\sqrt{kr_1}} \quad 4.14$$

olarak yazılabilir.

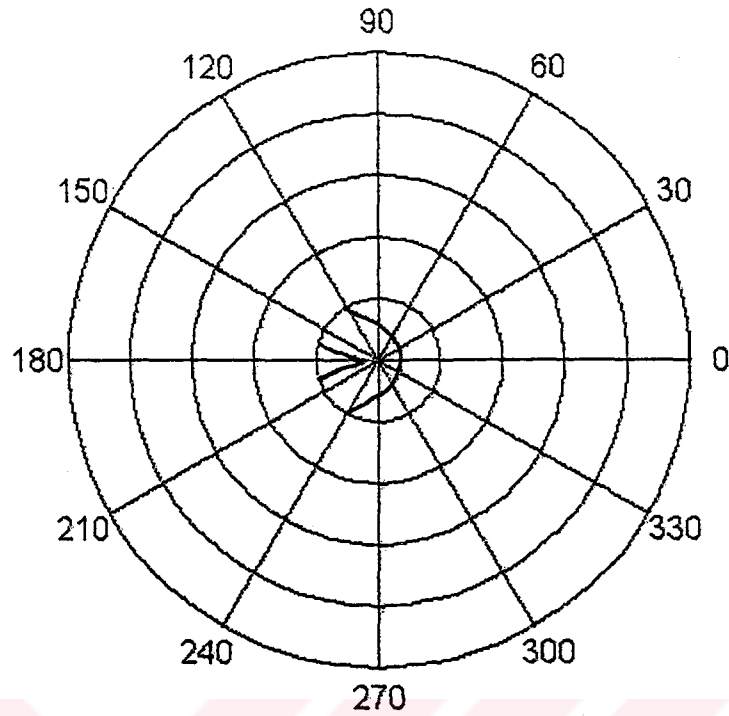
Uzak alanda, köşe koordinatının açısı yaklaşık olarak  $-(\theta - \theta_d)$ 'ye eşittir. Burada kırınım katsayısı

$$D(\theta) \sim e^{j\frac{\pi}{4}} \left[ \frac{1}{\cos \left( \frac{\theta - \theta_d - \beta_0}{2} \right)} + \frac{1}{\cos \left( \frac{\theta - \theta_d + \beta_0}{2} \right)} \right] \quad 4.15$$

şeklinde yazılabilir. MATLAB simülasyonu için kırınım katsayısı normalize edilerek mutlak değeri alınabilir. Böylece program yazılımı

```
t=0:.01:2.*pi;
a = cos((t-θd-βc)/2);
b = cos((t-θd+βc)/2);
polar(t,abs((1/a)+(1/b)));
```

şeklinde ifade edilebilir.



Şekil 4.5 Polar ışıma diagramı

Kırınım katsayısının uniform bir ifadesi

$$D(\theta) \sim F \left[ \sqrt{2kr} \cos\left(\frac{-\theta - \theta_d - \beta_0}{2}\right) \right] + \text{sgn} \left[ \cos\left(\frac{-\theta - \theta_d - \beta_0}{2}\right) \right] F \left[ \sqrt{2kr} \cos\left(\frac{-\theta - \theta_d - \beta_0}{2}\right) \right] \quad 4.16$$

ile verilebilir. Bu ifade yansıma ve gölge sınırlarında sonludur.

## 5. SONUÇ

Cassegrain beslemeli reflektör antende,  $TE_{11}$  modunda uyarılmış olan dairesel kesitli transmisyon borusunun bulunduğu ana reflektördeki koordinat sistemi, parabolün odağına taşınmıştır. Transmisyon borusundan ışyan alanın genliğine koordinat dönüşümü yapılmış, fazında ise Poisson Integral dönüşümü uygulanmıştır. Hiperbolden yansıyan alan yüzey akımı dağılımı yöntemi ile bulunmuş ve magnetik alanın  $\phi$  bileşeninin  $|\cos\theta|$  şeklinde bir ana kulak verdiği görülmüştür.

Ana reflektörden yansıyan alanın hesabında yüzey akımı dağılımı ve açıklık yöntemleri kullanılmış, neticede yansıyan alanın her iki metod içinde tek bir ana kulak verdiği görülmüştür.

Hiperboloid reflektörün köşesindeki kırınan alan hesaplanmış ve polar ışınım diagramı çizdirilmiştir. Ana reflektörün köşesindeki kırınan alan ise ihmal edilmiştir.





## TARTIŞMA VE SONUÇLAR

Reflektör anten sistemlerinde, besleme olarak dairesel kesitli transmisyon borusu kullanılabilir. Bu transmisyon borusu  $TE_{11}$  modunda uyarılmış ve dairesel açıklığından ışılan uzak alan hesaplanmıştır. Bu alanın ifadesi, birinci derece Bessel fonksiyonları cinsinden elde edilmiştir. Elektrik alanın  $\phi$  bileşeninin polar koordinatlardaki ışım diyagramı hiçbir yan kulağa sahip değildir.  $\theta$  bileşeninde bir çift yan kulak bulunmaktadır. Bu kulakların şiddeti, dairesel açıklığın yarıçapı  $a$ , dalga boyunun yanında büyük seçilerek, azaltılabilir. Işıyan ana kulağın demet genişliği

$$J_1(ka \sin \theta_d) = 0 \quad 1.1$$

denkleminde yararlanılarak ve birinci derece Bessel fonksiyonunun ilk sıfırının 1,84 olduğu göz önüne alınarak

$$\theta_d = \arcsin \frac{1,84}{ka} \quad 1.2$$

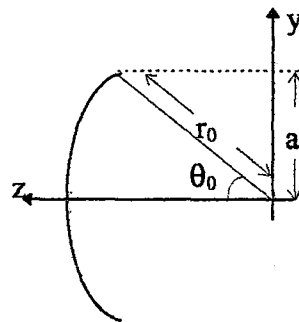
eşitliği ile hesap edilebilir. Bu denklemden, dairesel açıklığın yarıçapı  $a$ 'nın arttırıldığı zaman, demet genişliğinin azalacağı görülebilir. Transmisyon borusu koordinat sisteminin orijininin dışına çıkarılırsa, uzak alan ifadesinde koordinat dönüşümü yapılması gerekmektedir. Elde edilen ifade polar koordinatlarda  $r = r(r, \theta)$  cinsinden kapalı bir denklem olduğundan, ışım diyagramı çizdirilememiştir. Faz teriminde ise Poisson İntegral Dönüşümü kullanılmış ve faz fonksiyonu  $e^{jkr_0 \sin(\theta - \theta_0)}$  şeklinde öteleme ve dönme terimleri cinsinden ifade edilebilmiştir.

Transmisyon borusu, offset beslemede, ilk olarak paraboloidal reflektörün odağında döndürülmüştür. Dönme, ya beslemenin alan fonksiyonunda, yada reflektörün

denkleminde koordinat dönüşümü olarak ifade edilebilir. y-z düzleminde dönme yapıldığı için koordinat dönüşümünde  $\phi$ 'ye göre simetri bozulmuştur. Bu nedenle denklemler düzlemde yazılmış ve transmiyon borusu çizgisel kaynak gibi düşünülmüştür. Reflektörden yansıma da düzlemde olacağından, ışıma integrali hesaplanırken  $\phi'$  katında Delta-Dirac distribüsyonu kullanılmıştır. Paraboloidal yüzeyden yansıyan alan elde edilebilmiş ve polar koordinatlarda ışıma diagramı çizdirilmiştir. Uzak alan hesaplanmış olduğundan, polar koordinatlarda ana kulak  $\theta = \pi$  yönünde ve z eksenine paraleldir.

Besleme olarak kullanılan dairesel kesitli transmiyon borusu, paraboloidal reflektörün odağının dışına çıkarılırsa, ışıma diagramı şeklini koruyacaktır. Paraboloidal yüzey beslemenin uzak alanında bulunduğu için koordinat dönüşümlerinde  $\|\vec{r}_0\|$  öteleme miktarı,  $\|\vec{r}\|$  yer vektörü şiddetinin yanında ihmal edilebilir. Reflektörden yansıyan alan kapalı integral biçiminde elde edilebilir ve seriye açılarak polar koordinatlarda çizdirilebilir. Sonuçta elde edilen ışıma diagramı yansıma teoreminin gerçekleştirmekte ve ana kulak beklediği gibi z eksenine paraleldir. Öteleme, ışıma integralinin faz terimine  $e^{jkr_0 \sin(\theta - \theta_0)}$  şeklinde girmektedir.

Cassegrain beslemeli antende hiperboloidal yüzeyden yansıyan alana iki ayrı yöntemle hesaplanmış ve ışıma integralleri tek katlı olarak elde edilmiştir. Bu ışıma integralleri doğrudan hesap edilememektedir. Ancak uygun serilere açılarak, nümerik metodlar ile çizdirilmiş ve yansıma teoremine uydukları görülmüştür. Işıma diagramları Şekil 1.1'deki  $a$ ,  $\theta_0$  ve  $r_0$ 'a bağlı olarak farklı biçimlerde elde edilebilir.



Şekil 1.1 Ana reflektör olan paraboloidal reflektörün tasarım parametreleri

Paraboloidal reflektörün denklemleri kullanılarak

$$r_0 = \frac{2f}{1 + \cos\theta_0} \quad \text{ve} \quad a = r_0 \cdot \sin\theta_0 \quad 1.3$$

yazılabilir. Işıma integralleri ve 1.3 denklemleri kullanılarak Cassegrain anten tasarımı yapılabilir.

Köşe kırınımları hesap edilirken, hiperboloidal ve paraboloidal yüzeylerin köşeleri yarı sonsuz düzlem gibi düşünülebilir. Bu köşe noktasına gelen ışın, kaynak alanında, köşe koordinatları kullanılarak ifade edilebilir. Köşe kırınımı terimi yansıma ve gölge sınırlarında sonsuz büyük değerler almaktadır. Bu sebeple kırınımın uniform ifadesi hesaplanmış ve Fresnel İntegrali şeklinde bulunmuştur. Uzak alan için, köşe kırınımindaki öteleme terimi ihmal edilmekte ve odaktaki koordinat sistemi için sadece dönme sözkonusu olmaktadır. Köşe kırınımı terimi reflektörden ışyan alana yan kulak olarak etki etmektedir.

Sonuçta yüzey akımı dağılımı ve açıklık yöntemleri ile bulunan ışım integrallerinin yansıma teoremine uyduğu görülmüştür.

## EKLERİ

## EK 1. DAİRESEL KESİTLİ TRANSMİSYON BORUSUNUN AĞZINDAN İŞIYAN ALAN

Dairesel kesitli ve kayıpsız bir transmisyon borusu,  $TE_{11}$  modunda uyarıldığı zaman, içinde oluşan elektrik ve magnetik alan bileşenleri

$$E_{\rho} = \frac{j\omega\gamma}{(1,84)^2} \cdot \frac{a^2}{\rho} \cdot J_1\left(\frac{1,84}{a} \cdot \rho\right) \cdot \sin\phi \cdot e^{-j\beta z}$$

$$E_{\phi} = \frac{j\omega\gamma a^2}{(1,84)^2} \cdot \frac{dJ_1\left(\frac{1,84}{a} \cdot \rho\right)}{d\rho} \cdot \cos\phi \cdot e^{-j\beta z}$$

$$E_z = 0$$

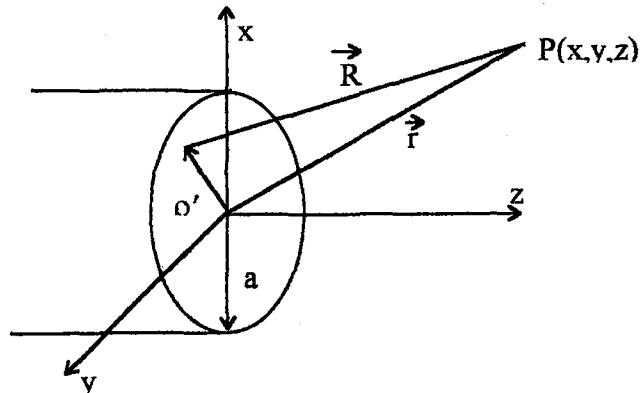
$$H_{\rho} = -\frac{j\beta a^2}{(1,84)^2} \cdot \frac{dJ_1\left(\frac{1,84}{a} \cdot \rho\right)}{d\rho} \cdot \cos\phi \cdot e^{-j\beta z}$$

$$H_{\phi} = \frac{j\beta}{(1,84)^2} \cdot \frac{a^2}{\rho} \cdot J_1\left(\frac{1,84}{a} \cdot \rho\right) \cdot \sin\phi \cdot e^{-j\beta z}$$

$$H_z = J_1\left(\frac{1,84}{a} \cdot \rho\right) \cdot \cos\phi \cdot e^{-j\beta z}$$

1.1

şeklinde bulunabilir. [ 6 ]



Şekil 1.1 Dairesel Kesitli Transmisyon Borusu Geometrisi

Koordinat eksenleri Şekil 1.1'deki gibi alınarak  $z = 0$ 'da transmisyon borusunun açıklığındaki alanın teğetsel bileşenleri;

$$\begin{aligned} \vec{H}_a &= \frac{j\beta a^2}{(1,84)^2} \cdot \left[ \frac{dJ_1\left(\frac{1,84}{a} \cdot \rho\right)}{d\rho} \cdot \cos\phi \cdot \vec{e}_\rho - \frac{J_1\left(\frac{1,84}{a} \cdot \rho\right)}{\rho} \cdot \sin\phi \cdot \vec{e}_\phi \right] \\ \vec{E}_a &= \frac{j\beta \gamma a^2}{(1,84)^2} \cdot \left[ \frac{J_1\left(\frac{1,84}{a} \cdot \rho\right)}{\rho} \cdot \sin\phi \cdot \vec{e}_\rho + \frac{dJ_1\left(\frac{1,84}{a} \cdot \rho\right)}{d\rho} \cdot \cos\phi \cdot \vec{e}_\phi \right] \end{aligned} \quad 1.2$$

denklemleri ile verilebilir. Bu açıklıktaki alan ifadeleri bilindiğine göre, buradan ışıyan alan, elektrik ve manyetik Hertz vektörlerinin integral ifadeleri kullanılarak hesaplanabilir. Bu amaçla Şekil 1.1'deki geometriden yararlanılabilir. Kaynak bölgesi transmisyon borusunun dairesel açıklığı olduğundan, integraller  $\rho$ 've  $\phi$ 'ye göre alınacaktır. Ayrıca, Hertz vektörlerine ait skaler Helmholtz denklemleri, kartezyen koordinatlarda geçerli olduğundan, Hertz vektörünün  $\vec{e}_\rho$  ve  $\vec{e}_\phi$  bileşenleri skaler Helmholtz denklemini sağlamaz. Bu nedenle Hertz vektörlerinin integral ifadeleri kartezyen koordinatlarda olmalıdır.

$$\begin{aligned} \vec{e}_\rho &= \cos\phi \cdot \vec{e}_x + \sin\phi \cdot \vec{e}_y \\ \vec{e}_\phi &= -\sin\phi \cdot \vec{e}_x + \cos\phi \cdot \vec{e}_y \end{aligned}$$

birim vektör dönüşüm formülleri ve

$$\begin{aligned} \frac{2}{kx} J_1(kx) &= J_0(kx) + J_2(kx) \\ \frac{2}{k} J_1'(kx) &= J_0(kx) - J_2(kx) \end{aligned}$$

Bessel fonksiyonları için rekürans bağıntıları, 1.2 ifadelerinde kullanılarak;

$$\begin{aligned}\vec{H}_a &= -\frac{j\beta a^2}{2 \cdot (1,84)^2} \cdot \left[ \vec{e}_x \cdot \left[ J_0\left(\frac{1,84}{a} \cdot \rho\right) - J_2\left(\frac{1,84}{a} \cdot \rho\right) \cdot \cos 2\phi \right] - \vec{e}_y \cdot J_2\left(\frac{1,84}{a} \cdot \rho\right) \cdot \sin 2\phi \right] \\ \vec{E}_a &= \frac{j\omega\mu a^2}{2 \cdot (1,84)^2} \cdot \left[ \vec{e}_x \cdot J_2\left(\frac{1,84}{a} \cdot \rho\right) \cdot \sin 2\phi + \vec{e}_y \cdot \left[ J_0\left(\frac{1,84}{a} \cdot \rho\right) - J_2\left(\frac{1,84}{a} \cdot \rho\right) \cdot \cos 2\phi \right] \right]\end{aligned}\quad 1.3$$

eşitlikleri elde edilebilir.

Dairesel kesitli transmisyon borusunun açıklığından ışılan uzak alanı bulmak için 1.3 formülleri, elektrik ve manyetik Hertz vektörlerinin integral ifadelerinde yerine konulmalıdır.

$$\begin{aligned}\vec{\Pi}_e &\sim \frac{1}{4\pi j\omega\epsilon} \cdot \frac{e^{-jkr}}{r} \iint_{S_2} \left[ \vec{n} \times \vec{H}_a \right] \cdot e^{jkr' \vec{e}_r \cdot \vec{e}_r'} \cdot dS' \\ \vec{\Pi}_m &\sim \frac{1}{4\pi j\omega\mu} \cdot \frac{e^{-jkr}}{r} \iint_{S_2} \left[ \vec{n} \times \vec{E}_a \right] \cdot e^{jkr' \vec{e}_r \cdot \vec{e}_r'} \cdot dS'\end{aligned}$$

Şekil 1.1'deki geometriden görülebileceği üzere  $r'$ , borunun açıklığındaki  $\rho'$ 'ne tekabül eder. Dolayısı ile  $\vec{e}_r'$  birim vektörü de  $\vec{e}_\rho'$  olur.  $\vec{n}$  normal vektörü ise  $\vec{e}_z$ 'dir. Böylece integraller;

$$\begin{aligned}\vec{\Pi}_e &\sim \frac{-\beta a^2}{8\pi\omega\epsilon(1,84)^2} \cdot \frac{e^{-jkr}}{r} \int_{\rho'=0}^a \int_{\phi'=0}^{2\pi} \left[ J_2\left(\frac{1,84}{a} \rho'\right) \sin 2\phi' \cdot \vec{e}_x + \left( J_0\left(\frac{1,84}{a} \rho'\right) - J_2\left(\frac{1,84}{a} \rho'\right) \cos 2\phi' \right) \cdot \vec{e}_y \right] \cdot e^{jkr' \sin\theta \cos(\phi-\phi')} \rho' d\rho' d\phi' \\ \vec{\Pi}_m &\sim \frac{a^2}{8\pi(1,84)^2} \cdot \frac{e^{-jkr}}{r} \int_{\rho'=0}^a \int_{\phi'=0}^{2\pi} \left[ \left( J_0\left(\frac{1,84}{a} \rho'\right) - J_2\left(\frac{1,84}{a} \rho'\right) \cos 2\phi' \right) \cdot \vec{e}_x - J_2\left(\frac{1,84}{a} \rho'\right) \sin 2\phi' \cdot \vec{e}_y \right] \cdot e^{jkr' \sin\theta \cos(\phi-\phi')} \rho' d\rho' d\phi'\end{aligned}$$

şeklinde elde edilebilir. Bu ifadelerden görülebileceği üzere, integrallerin  $\phi'$  katları kolayca hesaplanabilir.[3]

$$u = \frac{1,84}{a} \rho'$$

olmak üzere

$$\begin{aligned}\vec{\Pi}_e &\sim \frac{-\beta a^4}{4\omega\epsilon(1,84)^2} \frac{e^{-jkr}}{r} \int_0^{1,84} -\vec{e}_x \left[ J_2(u)J_2\left(k\frac{a}{1,84}u\sin\theta\right)\sin 2\phi \right] \\ &\quad + \vec{e}_y \left[ J_0(u)J_0\left(k\frac{a}{1,84}u\sin\theta\right) + J_2(u)J_2\left(k\frac{a}{1,84}u\sin\theta\right)\cos 2\phi \right] u du \\ \vec{\Pi}_m &\sim \frac{a^4}{4(1,84)^2} \frac{e^{-jkr}}{r} \int_0^{1,84} \vec{e}_x \left[ J_0(u)J_0\left(k\frac{a}{1,84}u\sin\theta\right) + J_2(u)J_2\left(k\frac{a}{1,84}u\sin\theta\right)\cos 2\phi \right] \\ &\quad \vec{e}_y \left[ J_2(u)J_2\left(k\frac{a}{1,84}u\sin\theta\right)\sin 2\phi \right] u du\end{aligned}$$

bu integralleri hesaplayabilmek için aşağıda verilen Lommel formülü [7] kullanılabilir.

$$(k_1^2 - k_2^2) \int_0^1 x J_n(k_1 x) J_n(k_2 x) dx = k_2 J_n(k_1 x) J_n(k_1 x) - k_1 J_{n-1}(k_1) J_{n-1}(k_1)$$

Sonuçta  $v = ka \sin\theta$  olmak üzere, elektrik ve manyetik Hertz vektörlerinin  $\theta$  ve  $\phi$  bileşenleri aşağıdaki şekilde bulunur.

$$\vec{\Pi}_{e\theta} \sim \frac{\beta a^4}{2\omega\epsilon(1,84)^2} \frac{e^{-jkr}}{r} \frac{J_0(1,84)}{[(1,84)^2 - u^2]} J_1(u) \left[ u - \frac{(1,84)^2}{u} \right] \cos\theta \sin\phi$$

$$\vec{\Pi}_{e\phi} \sim \frac{\beta a^4}{2\omega\epsilon} \frac{e^{-jkr}}{r} \frac{J_0(1,84)}{[(1,84)^2 - u^2]} J_1'(u) \cos\phi$$

$$\vec{\Pi}_{m\theta} \sim \frac{a^4}{2} \frac{e^{-jkr}}{r} \frac{J_0(1,84)}{[(1,84)^2 - u^2]} J_1'(u) \cos\theta \cos\phi$$

$$\vec{\Pi}_{m\phi} \sim \frac{a^4}{2(1,84)^2} \frac{e^{-jkr}}{r} \frac{J_0(1,84)}{[(1,84)^2 - u^2]} J_1(u) \left[ u - \frac{(1,84)^2}{u} \right] \sin\phi$$

Bu yaklaşık bağıntılar, aşağıdaki ifadelerde yerlerine konarak, elektrik ve manyetik alanların  $\theta$  ve  $\phi$  bileşenleri

$$E_{\theta} = k^2 \left[ \Pi_{e\theta} + Z_0 \Pi_{m\phi} \right]$$

$$E_{\phi} = k^2 \left[ \Pi_{e\phi} - Z_0 \Pi_{m\theta} \right]$$

$$H_{\phi} = \frac{E_{\theta}}{Z_0}$$

$$H_{\theta} = -\frac{E_{\phi}}{Z_0}$$

bulunabilir.

Böylece transmisyon borusunun açıklığından ışılan alanlar

$$E_{\theta} = -\frac{a^4 \omega \mu}{2(1,84)^2} \frac{e^{-jkr}}{r} J_0(1,84) \frac{J_1(u)}{u} \sin \phi (\beta \cos \theta + k)$$

$$E_{\phi} = -\frac{a^4 \omega \mu}{2} \frac{e^{-jkr}}{r} \frac{J_0(1,84)}{[(1,84)^2 - u^2]} \frac{dJ_1(u)}{du} \cos \phi (\beta + k \cos \theta) \quad 1.4$$

$$H_{\theta} = \frac{ka^4}{2} \frac{e^{-jkr}}{r} \frac{J_0(1,84)}{[(1,84)^2 - u^2]} \frac{dJ_1(u)}{du} \cos \phi (\beta + k \cos \theta)$$

$$H_{\phi} = -\frac{ka^4}{2(1,84)^2} \frac{e^{-jkr}}{r} J_0(1,84) \frac{J_1(u)}{u} \sin \phi (\beta \cos \theta + k)$$

şeklinde ifade edilebilir.

1.4 eşitliklerinden görülebileceği üzere, ışınım diagramının şeklinde etkili olan tek parametre, transmisyon borusunun dairesel açıklığının yarıçapı  $a$ 'dır.  $ka = 1,5 \cdot \pi$  için  $E_{\theta}$  ve  $E_{\phi}$  alanlarının polar ışınım diagramları aşağıda verilmiştir.

Dairesel kesitli transmisyon borusundan ışılan alan  $E_{\theta}$  bileşeni için program yazımı

```
t = 0:.01:2.*pi;
```

```
polar(t,abs((besselj(1,4*a.*sin(t))./(k.*a.*sin(t))).*(beta.*cos(t)+4)));
```



ve  $E_\phi$  bileşeni için

$$t = 0:0.01:2.*\pi;$$

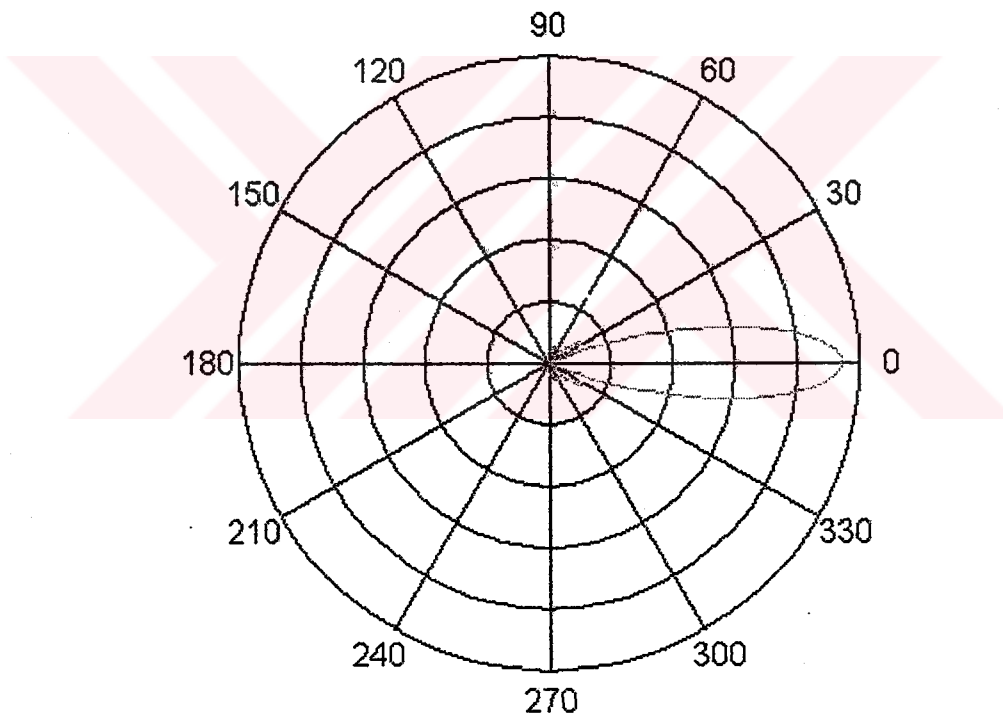
$$a = \text{besselj}(0,\text{abs}(4.*a.*\sin(t)))-\text{besselj}(1,\text{abs}(4.*a.*\sin(t)))./(k*a.*\sin(t));$$

$$b = (1,84.^2)-((4.*a.*\sin(t)).^2);$$

$$e = (\beta+k.*\cos(t));$$

$$\text{polar}(t,\text{abs}(a.*c/b));$$

şeklinde ifade edilebilir. Burada  $\beta = k\sqrt{1-\left(\frac{1,84}{ka}\right)^2}$  olarak alınabilir.



Şekil 1.2  $|E_0|$ 'nin polar ışıma diagramı

## EK 2. KÖŞE KIRINIMI

Mükemmel bir iletkenin bir yüzeyde sınır koşullarından

$$\vec{n} \times \vec{E}_1 \Big|_s = 0$$

$$\vec{n} \times \vec{H}_1 \Big|_s = \vec{J}_s(z)$$

denklemleri elde edilebilir. Yüzeğe gelen alan ifadesi

$$U(y, z) = e^{jk(y \cos \alpha_0 + z \sin \alpha_0)}$$

olmak üzere

$$\frac{\partial u(+0, z)}{\partial y} - \frac{\partial u(-0, z)}{\partial y} = 0 \quad z > 0$$

$$\frac{\partial u(0, z)}{\partial y} - \frac{\partial u_i(0, z)}{\partial y} = 0 \quad z > 0$$

$$u(+0, z) - u(-0, z) = \vec{J}_s(z) \quad z > 0$$

2.1

Reflektörün köşesinde

$$\nabla^2 u + k^2 u = 0$$

Helmutz denklemi geçerlidir.  $u(y, z)$  fonksiyonunun  $y$ 'ye göre Fourier dönüşümünün olduğu varsayılırsa

$$u(y, z) = \frac{1}{2\pi} \int_{-\infty}^{+\infty} U(y, v) e^{jvz} dv \quad 2.2$$

ifadesi yazılabilir. Bu dönüşüm kullanılarak Helmutz denklemi yazılırsa

$$\frac{1}{2\pi} \int_{-\infty}^{+\infty} \left[ \frac{d^2 U(y, v)}{dy^2} + (k^2 - v^2) U(y, v) \right] e^{jvz} dv \quad 2.3$$

bulunabilir. Bu integralin sifira eşit olması için, parantez içindeki ifadenin sıfır olması gereklidir.

$$\frac{d^2 U(y, v)}{dy^2} + (k^2 - v^2) \cdot U(y, v) = 0$$

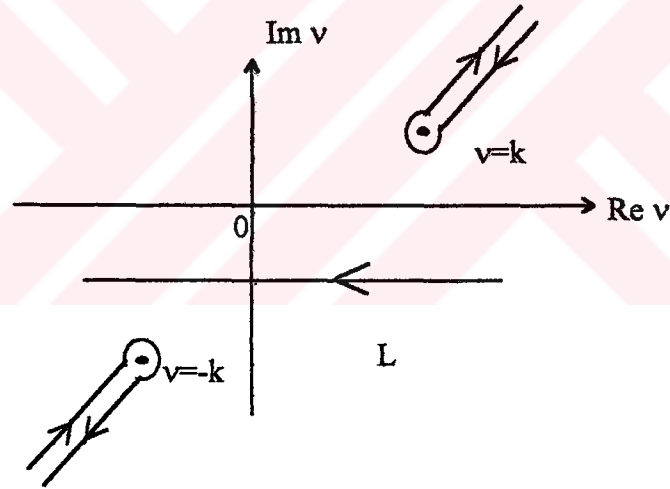
Bu denklem  $y$ 'ye göre çözülrse

$$K(v) = \sqrt{k^2 - v^2}$$

olmak üzere

$$u(y, z) = \frac{1}{2\pi} \int_{-\infty}^{+\infty} [A(v)e^{iK(v)y} + B(v)e^{-iK(v)y}] \cdot e^{jvz} \cdot dv \quad 2.4$$

elde edilebilir.



Şekil 2.1  $v$ -kompleks düzlemi

Şekil 1.2'den görülebileceği gibi  $y \rightarrow \mp\infty$  için  $e^{\mp jk(v)y} \rightarrow 0$  olur. Buna göre  $U(x, y)$  integral denklemi iki bölge için iki ayrı denkleme ayrılabilir.

$$u_1(y, z) = \frac{1}{2\pi} \int_L A(v) e^{jK(v)y} \cdot e^{jvz} \cdot dv \quad , y > 0$$

$$u_2(y, z) = \frac{1}{2\pi} \int_{-\infty}^{+\infty} B(v) e^{-jK(v)y} \cdot e^{jvz} \cdot dv \quad , y < 0 \quad 2.5$$

1.3 denklemini kullanılırsa

$$A(v) = -B(v)$$

bulunabilir. Yine 2.1 sınır koşullarının kullanılması ile

$$2jK(v)A(v) = \frac{k \cos \alpha_0}{v - k \sin \alpha_0} - \int_0^{\infty} \frac{\partial U_s(y, z)}{\partial y} \Big|_{y=0} e^{-jvz} dz$$

$$2A(v) = \int_0^{\infty} J_s(z) e^{-jvz} dz \quad 2.6$$

denklemleri elde edilebilir. Burada

$$\xi^+(v) = \int_0^{\infty} J_s(z) \cdot e^{-jvz} \cdot dz$$

$$\xi^-(v) = \int_0^{\infty} \frac{\partial U_s(y, z)}{\partial y} \Big|_{y=0} \cdot e^{-jvz} \cdot dz$$

eşitlikleri 2.6 denklemlerinde kullanılırsa

$$2jK(v)A(v) = \frac{k \cos \alpha_0}{v - k \sin \alpha_0} - \int_0^{\infty} \frac{\partial U_s(y, z)}{\partial y} \Big|_{y=0} \cdot e^{-jvz} \cdot dz$$

$$2A(v) = \xi^+(v)$$

yazılabilir. Bu iki eşitlik birleştirilirse

$$jK(v)\Gamma^+(v) = \frac{k \cos \alpha_0}{v - k \sin \alpha_0} - \xi^-(v)$$

denklemini elde edilebilir. Bu ifade görülebileceği gibi standart Wiener-Hoppf denklemi formundadır. Bu eşitlik aşağıdaki şekilde yazılabilir.

$$\xi^+(v) + \frac{1}{jK(v)} \cdot \xi^-(v) = \frac{k \cos \alpha_0}{j(v - k \sin \alpha_0) \cdot K(v)}$$

Yukarıdaki denklemde  $G(v)$  fonksiyonu

$$G(v) = \frac{1}{K(v)} = \frac{1}{\sqrt{k+v} \cdot \sqrt{k-v}}$$

şeklindedir. Burada

$$G^+(v) = \sqrt{k+v}$$

ve

$$G^-(v) = \frac{1}{\sqrt{k-v}}$$

olarak yazılabilir. Neticede

$$\sqrt{k+v} \cdot \xi^+(v) + \frac{\xi^-(v)}{j \cdot \sqrt{k-v}} = \frac{k \cos \alpha_0}{j(v - k \sin \alpha_0) \cdot \sqrt{k-v}}$$

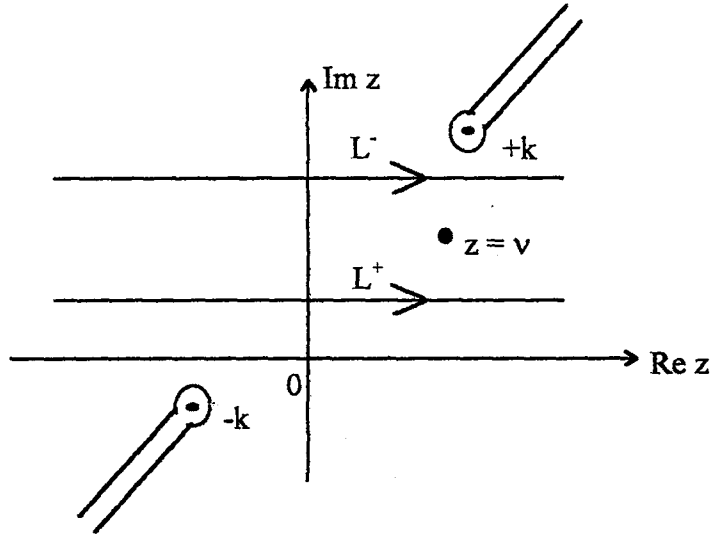
denklemini elde edilebilir. Bu ifadede  $H(v) \cdot G^+(v)$  fonksiyonu

$$H(v) \cdot G^+(v) = \frac{k \cos \alpha_0}{j(v - k \sin \alpha_0) \cdot \sqrt{k-v}}$$

olarak yazılabilir. Wiener-Hoppf tekniği kullanılırken

$$H(v) \cdot G^+(v) = g^+(v) - g^-(v)$$

denklemini oluşturulmalıdır. Bu amaçla şekil 1.3'teki geometri kullanılabilir.



Şekil 2.2 Kompleks z düzlemi

Böylece  $g^+(v)$  ve  $g^-(v)$  fonksiyonları

$$g^+(v) = \frac{-1}{2\pi j} \int_{L^+} \frac{k \cos \alpha_0}{j(z - k \sin \alpha_0) \sqrt{k-z} z-v} dz$$

$$= \frac{jk \cos \alpha_0}{\sqrt{k - k \sin \alpha_0} (v - k \sin \alpha_0)}$$

2.7

ve

$$g^-(v) = \frac{-1}{2\pi j} \int_{L^-} \frac{k \cos \alpha_0}{j(z - k \sin \alpha_0) \sqrt{k-z} z-v} dz$$

$$= \frac{jk \cos \alpha_0 [\sqrt{k-v} - \sqrt{k - k \sin \alpha_0}]}{\sqrt{k-v} \sqrt{k - k \sin \alpha_0} (v - k \sin \alpha_0)}$$

2.8

integralleri ile hesaplanabilir. Wiener-Hoppf integral denklemi

$$\Gamma^+(v) \cdot G^+(v) - g^+(v) + \Gamma^-(v) \cdot G^-(v) + g^-(v) = 0$$

ve

$$\Gamma^+(v) = \frac{g^+(v)}{G^+(v)}$$

şeklinde yazılabilir. Buradan hareketle

$$\xi^+(\nu) = \frac{jk \cos \alpha_0}{\sqrt{k - k \sin \alpha_0} (\nu - k \sin \alpha_0) \sqrt{k + \nu}}$$

bulunabilir. 1.5 denklemden

$$A(\nu) = \frac{\xi^+(\nu)}{2} = \frac{jk \cos \alpha_0}{2\sqrt{k - k \sin \alpha_0} (\nu - k \sin \alpha_0) \sqrt{k + \nu}}$$

elde edilebilir.  $A(\nu)$  fonksiyonunun 1.4 deklemlerinde kullanılması ile

$$u_1(y, z) = \frac{1}{2\pi} \int_L \frac{jk \cos \alpha_0 e^{jk(\nu)y} e^{j\nu z}}{2\sqrt{k - k \sin \alpha_0} (\nu - k \sin \alpha_0) \sqrt{k + \nu}} d\nu \quad , y > 0 \quad 2.9$$

ve

$$u_2(y, z) = \frac{1}{2\pi} \int_L \frac{jk \cos \alpha_0 e^{-jk(\nu)y} e^{j\nu z}}{2\sqrt{k - k \sin \alpha_0} (\nu - k \sin \alpha_0) \sqrt{k + \nu}} d\nu \quad , y < 0 \quad 2.10$$

bulunabilir. Bu denklemler  $y > 0$  ve  $y < 0$  bölgelerinde alan potansiyelinin nasıl değiştiğini göstermektedir. Fiziksel olarak anlamlı sonuçlar elde etmek için

$$z = r \cos \theta$$

$$y = r \sin \theta$$

$$\nu = -k \cos t$$

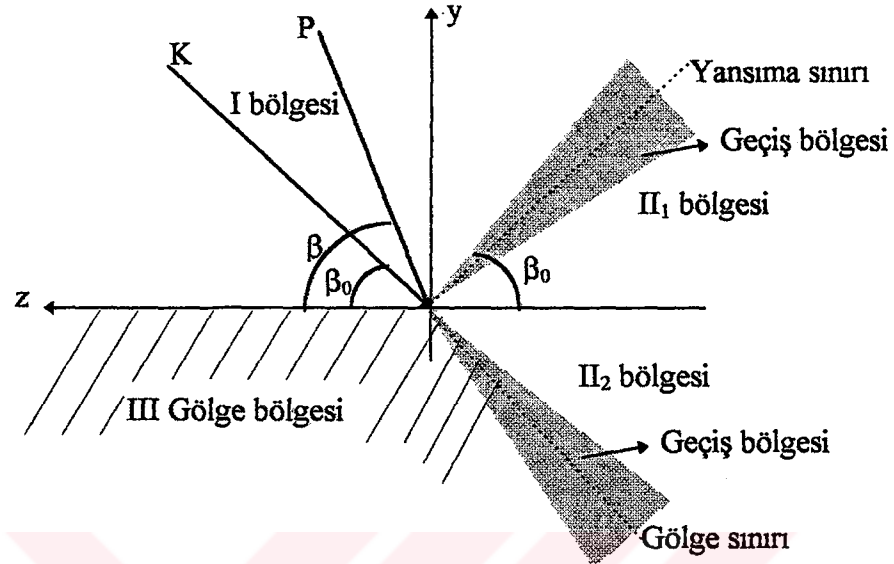
dönüşümler uygulanabilir. Böylece

$$u_1(r, \theta) = \frac{-j \cos \alpha_0}{4\pi \sqrt{1 - \sin \alpha_0}} \int_r \frac{e^{-jkr \cos(\theta-t)}}{\sqrt{1 - \cos t} (\cos t + \sin \alpha_0)} \sin t dt \quad 2.11$$

ve

$$u_2(r, \theta) = \frac{-j \cos \alpha_0}{4\pi \sqrt{1 - \sin \alpha_0}} \int_{\Gamma} \frac{e^{-jkr \cos(\theta+t)}}{\sqrt{1 - \cos t} (\cos t + \sin \alpha_0)} \sin t dt \quad 2.12$$

denklemleri elde edilebilir.



Şekil 2.3 Kırınımın geometrisi

### ALANLARIN ANALİZİ

1.7 integralleri, en dik inişli integrasyon çevresi yöntemi ile aşağıdaki şekilde bölgelere ayrılarak incelenebilir.

$$\text{I. bölge; } 0 < \theta < \frac{\pi}{2} + \alpha_0$$

$$\text{II. bölge; } \frac{\pi}{2} + \alpha_0 < \theta < \pi \quad \text{II}_1 \text{ bölgesi}$$

$$\pi < \theta < \frac{3\pi}{2} - \alpha_0 \quad \text{II}_2 \text{ bölgesi}$$

$$\text{III. bölge; } \frac{3\pi}{2} - \alpha_0 < \theta < 2\pi$$

Şekil 1.4'te de görülen geçiş bölgelerinde, integrallerin çözümleri geçersiz olup, asimptotlar vermektedir. Bu bölgelerde çözüm başka dönüşüm metodları ile bulunabilir. Faz fonksiyonu



$$\psi(t) = \cos(\theta - t)$$

olmak üzere

$$\left. \frac{d\psi}{dt} \right|_{t=t_0} = 0$$

denkleminde,  $t_0$  semer noktası  $\theta$  olarak bulunabilir.

$$\psi(t) = \psi(t_0)$$

denkleminde en dik inişli integrasyon çevresinin denklemi elde edilebilir.

$$t = t_r + jt_s$$

olmak üzere

$$\cos(\theta - t_r) \cdot \text{Ch}(t_s) = 1$$

ifadesi bulunabilir. 1.7 integrallerinde,  $t=0$ 'da bir dallanma noktası ve  $t = \frac{\pi}{2} + \alpha_0$ 'da bir kutup mevcuttur. 1.8 ifadesi kullanılarak, en dik inişli integrasyon çerçevesi aşağıdaki şekilde çizilebilir.

Yansıma sınırında, elde edilmiş olan kırınım katsayısı sonsuz büyük değerler vermektedir. 1.15 denklemi trigonometrik dönüşümlerle

$$u(r, \theta) = \frac{1}{8\pi j} \int_{\Gamma} \left[ \frac{1}{\cos\left(\frac{t - \beta_0}{2}\right)} + \frac{1}{\cos\left(\frac{t + \beta_0}{2}\right)} \right] e^{-jkr \cos(t - \theta)} dt \quad 2.13$$

şekline getirilebilir. Burada  $\beta_0 = \frac{\pi}{2} - \alpha_0$  dir. İntegral içindeki toplamın ilk terimi gözönüne alınarak, bu terimde  $t - \theta = \alpha$  dönüşümü yapılırsa

$$\int_{\Gamma(\theta)} \frac{e^{-jkr \cos \alpha}}{\cos\left(\frac{\alpha + \theta - \beta_0}{2}\right)} d\alpha$$

ifadesi elde edilebilir. Bu integral  $\alpha$  değişkeninin işareti değiştirilerek

$$\int_{\Gamma(\theta)} \frac{e^{-jkr \cos \alpha}}{\cos\left(\frac{\alpha - \theta + \beta_0}{2}\right)} d\alpha$$

şeklinde yazılabilir. Bu iki integral toplanıp ikiye bölünürse

$$2 \cos\left(\frac{\beta_0 - \theta}{2}\right) \int \frac{\cos\frac{\alpha}{2}}{\cos\alpha + \cos(\beta_0 - \theta)} e^{-jkr \cos \alpha} d\alpha$$

integrali bulunabilirler. Burada  $\omega = \sqrt{2} e^{j\frac{\pi}{4}} \sin\frac{\alpha}{2}$  dönüşümü ile

$$2\sqrt{2} \cos\left(\frac{\beta_0 - \theta}{2}\right) e^{-j\frac{\pi}{4}} e^{-jkr} \int \frac{e^{-\omega^2 kr}}{2 \cos^2\left(\frac{\beta_0 - \theta}{2}\right) - j\omega^2} j d\omega$$

ifadesi elde edilebilir. Bu integral Fresnel fonksiyonunu göstermektedir ve

$$b \sim \sqrt{2} \cos\left(\frac{\beta_0 - \theta}{2}\right)$$

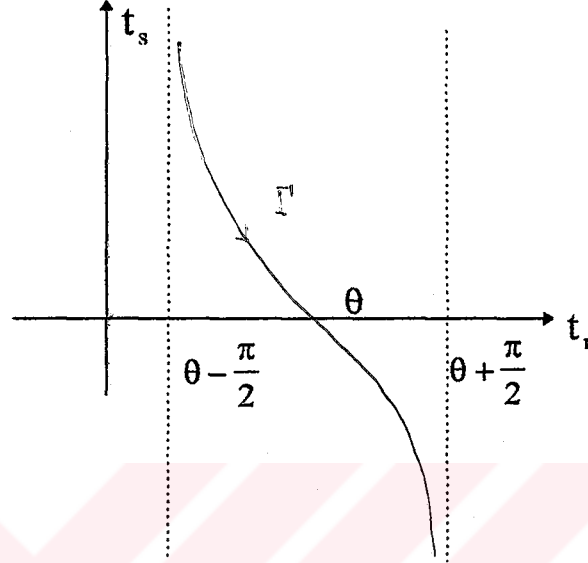
olmak üzere

$$\int_{-\infty}^{\infty} \frac{e^{-xt^2}}{t^2 + jb^2} dt = \frac{2\sqrt{\pi}}{b} \begin{cases} F(b\sqrt{x}) & , -\frac{3\pi}{4} < \frac{\beta_0 - \theta}{2} < \frac{\pi}{4} \\ -F(b\sqrt{x}) & , \frac{\pi}{4} < \frac{\beta_0 - \theta}{2} < \frac{5\pi}{4} \end{cases}$$

ifadelerine eşittir. 1.17 integralindeki ikinci toplam için de aynı işlemler yapılırsa  $0 < \theta < 2\pi$  bölgesinde kırınım katsayısı

$$D(r, \theta) = -\frac{e^{-j\frac{\pi}{4}}}{\sqrt{\pi}} e^{-jkr} \left\{ F \left[ \sqrt{2kr} \cos\left(\frac{\theta - \beta_0}{2}\right) \right] + \operatorname{sgn} \left[ \cos\left(\frac{\theta + \beta_0}{2}\right) \right] F \left[ \sqrt{2kr} \left| \cos\left(\frac{\theta + \beta_0}{2}\right) \right| \right] \right\}$$

şeklinde yazılabilir.



Şekil 2.4 En dik inişli integrasyon çevresi

Birinci bölgede  $\theta$  açısı  $0$ 'dan  $\frac{\pi}{2} + \alpha_0$ 'a kadar değişmektedir.  $y$ ' nin sıfırdan büyük olduğu bölge için 1.7'deki ilk integral kullanılabilir. Kutup noktaları

$$\cos t = -\sin \alpha_0$$

denkleminin çözümü ile  $t = \frac{\pi}{2} + \alpha_0$  ve  $t = \frac{3\pi}{2} - \alpha_0$  olarak bulunabilir. Birinci bölgede

$\theta$  semer noktası  $0$ 'dan  $\frac{\pi}{2} + \alpha_0$ 'a kadar değişecektir. Böylece  $\theta$ 'nın kutbun üzerinden atlayacağı görülebilir. Bu nedenle 1.7'deki ilk denklemin çözümü hem kutup, hem de semer noktasındaki en dik inişli integrasyon çevresi hesaba katılarak yapılabilir.

2.14

$$u(r, \theta) = \frac{1}{2} e^{-jkr \sin(\theta - \alpha_0)} - \frac{e^{j\frac{\pi}{4}} \cos \alpha_0 \sin \theta}{2\sqrt{2\pi} \sqrt{1 - \sin \alpha_0} \sqrt{1 - \cos \theta} (\cos \theta + \sin \alpha_0) \sqrt{kr}} e^{-jkr} \quad 2.15$$

ifadesi bulunabilir. Burada birinci terin yansıyan alanı, ikinci terin ise saçılan alanı vermektedir.

İkinci bölgede, 1.7'nin ilk denklemi  $\Pi_1$  ve ikinci denklemi de  $\Pi_2$  bölgesi için kullanılabilir. Bölgesinde kutup olmadığından, sadece semer noktasında en dik inişli integrasyon çevresi hesabı yapılır.  $\Pi_2$  bölgesinde ise buna ilaveten  $\frac{3\pi}{2} - \alpha_0$  noktasındaki kutupta hesaba katılabilir.

$$\alpha_0 + \frac{\pi}{2} < \theta < \pi$$

$$u(r, \theta) \sim -\frac{e^{j\frac{\pi}{4}} \cos \alpha_0 \sin \theta}{2\sqrt{2\pi} \sqrt{1 - \sin \alpha_0} \sqrt{1 - \cos \theta} (\cos \theta + \sin \alpha_0)} \frac{e^{-jkr}}{\sqrt{kr}} \quad 2.16$$

ve

$$\pi < \theta < \frac{3\pi}{2} - \alpha_0 \text{ için}$$

$$u(r, \theta) \sim \frac{1}{2} e^{-jkr \cos(\theta - \alpha_0)} + \frac{e^{j\frac{\pi}{4}} \cos \alpha_0 \sin \theta}{2\sqrt{2\pi} \sqrt{1 - \sin \alpha_0} \sqrt{1 - \cos \theta} (\cos \theta + \sin \alpha_0)} \frac{e^{-jkr}}{\sqrt{kr}} \quad 2.17$$

ifadeleri elde edilebilir. Üçüncü bölgede ise sadece semer noktasında integral hesabı yapılabilir. Böylece

$$u(r, \theta) \sim \frac{e^{j\frac{\pi}{4}} \cdot \cos \alpha_0 \sin \theta}{2 \cdot \sqrt{2\pi} \cdot \sqrt{1 - \sin \alpha_0} \cdot \sqrt{1 - \cos \theta} \cdot (\cos \theta + \sin \alpha_0)} \frac{e^{-jkr}}{\sqrt{kr}} \quad 2.18$$

ifadesi yazılabilir.

## KAYNAKLAR

- [ 1 ] Bayrakçı, H.E. "İleri Anten Teorisi", Doktora ders notları, Fen Bilimleri Enstitüsü, 1995
- [ 2 ] Bayrakçı, H.E. "Optik gibi Saçılmada İntegral Dönüşümleri", Doktora ders notları, Fen Bilimleri Enstitüsü, 1995
- [ 3 ] Bayrakçı, H.E. "Antenlerin Teorisi ve Tekniği", Güneş Yayınevi, 1992, pp. 292-299
- [ 4 ] Bayrakçı, H.E. "Analog, Sayısal ve Optik Uydu İletişim Sistemleri", Neta Elektronik Cihazlar A.Ş. 1993, pp 32,33,143,154
- [ 5 ] Bayrakçı, H.E., "Lineer Sistemlerin Mühendislik Matematiği", Çağlayan Kitabevi, 1991.
- [ 6 ] Bayrakçı, H.E. "Elektromagnetik Dalga Teorisi", Birsen Yayınevi, 1988, pp 120
- [ 7 ] Bladel, V., Electromagnetic Fields, McGraw-Hill Book Co., 1964
- [ 8 ] Clarke, R.H., Brown, J., Diffraction Theory and Antennas, John Wiley and Sons, Newyork, 1980, pp. 217-219
- [ 9 ] Collin R.E, Zucker I.J., "Antenna Theory. Part 2", Mac Graw Hill, 1969
- [ 10 ] Collin R.E., "Antennas and Radiowave Propagation", part. I, Hc Grow Hill Brok Co, 1985
- [ 11 ] Mitra, R. "Numerical Asymptotic Techniques in Eletromagnetics", Springer. Verlag NewYork Heidelberg, Berlin, 1975, pp. 217-255
- [ 12 ] Noble, B., "Methods Based on the Wiener-Hopf Technique for the Solution of Partial Differantial Equations", Pergamon Press, 1958
- [ 13 ] Şafak M. "High Frequency Scottering From Foccus Fed Paraboloid Met Syposium Processing", Since 1980, pp 280, 317
- [ 14 ] Uzgören, G. Büyükaksoy, A., "Kırınımın Geometrik Teorisinde Birinci Mertebeden Kanonik Problemler", Yıldız Üniversitesi Yayınları, 1987

## TEŐEKKÜR

Bu tez alıőmamda benden her tűrlű yardımlarımı esirgemeyen Hocam  
Prof. Dr. H.Ergun BAYRAKI'ya TEŐEKKÜR'lerimi sunarım



## ÖZGEÇMİŞ

1971 yılında İstanbul'da doğdu. İlk öğrenimini 1982 yılında Bursa Atatürk İlkokulu'nda tamamladı. 1989 yılında Bursa Anadolu Lisesi'nden mezun oldu. 1993 yılında İstanbul Teknik Üniversitesi, Elektrik-Elektronik Fakültesi, Elektronik ve Haberleşme Bölümü'nde lisans eğitimini tamamladı. Halen Uludağ Üniversitesi, Mühendislik-Mimarlık Fakültesi, Elektronik Mühendisliği Bölümü'nde yüksek lisans eğitimine devam etmektedir.

